

Российская Академия Наук
Уфимский Институт Математики

на правах рукописи

Адлер Всеволод Эдуардович

ДИСКРЕТНЫЕ СИММЕТРИИ
НЕЛИНЕЙНЫХ ЦЕПОЧЕК

01.01.02 (дифференциальные уравнения)

Диссертация на соискание ученой степени
кандидата физико-математических наук

Научный руководитель
доктор физико-математических наук
профессор А.Б. Шабат

Уфа – 1994

Данный текст является перепечаткой. Все изменения перечислены ниже:

1. В оригинале было 126 стр. набранных на ChiWriter'e. При переводе на \TeX слегка изменились формат страницы и начертание отдельных формул. Это касается, почти исключительно, лишь шрифтов и размеров. Примеры наиболее существенных отклонений: дроби типа $\frac{3 z_x z_{xx}^2}{2 z_x^2 + 1}$ теперь пишутся, как в (3.18), $\frac{3z_x z_{xx}^2}{2(z_x^2 + 1)}$; в двух-трех случаях однострочная формула разбита на две или наоборот; в системе (1.5), (1.6) удалена общая фигурная скобка (в \TeX 'е нумерованные формулы трудно скобковать).

2. В оригинале нумерация описывалась фразой:

Нумерация утверждений, формул и рисунков своя в каждом разделе; при ссылках на другие разделы используется запись типа "Теорема 1.1", "формула (3.14)".

В данной версии всегда используется нумерация через точку, и потому вторая часть фразы удалена (стр. 5). Кроме того, ликвидированы сокращения вида [33–36]. Все это сделано для того, чтобы можно было использовать \LaTeX . Заодно добавлены обратные ссылки на литературу.

3. Как водится, исправлено несколько коварно вкравшихся опечаток. Не считая орфографических погрешностей, это:

с. 14: [45,64] \rightarrow [39,45]

с. 16: $\tilde{\alpha}_{k\pm 1} = \alpha_{k\pm 1} \pm \alpha_k \rightarrow \tilde{\alpha}_{k\pm 1} = \alpha_{k\pm 1} + \alpha_k$

с. 19, (4.5): $\Psi \rightarrow \psi$

с. 20: Леммой 8 \rightarrow Леммой 4.2

с. 28: потенциала (13) состоит \rightarrow потенциала (5.14) состоит

с. 30: и действуя на них операторами (1) \rightarrow и действуя на них операторами A

с. 30: перейти от f_j к переменным (3.7) \rightarrow перейти от f_j к переменным

с. 58: теорем 3 и 4 \rightarrow теорем 15.1 и 15.2

с. 59: $q_{xy} = \text{sh } q \rightarrow q_{xy} = \text{sh } 2q$

с. 80 (формула, следующая за (23.5): $(2\alpha_2 + s) \rightarrow (2\alpha_2 - s)$

4. Рисунки 11.1, 13.1, 15.1, иллюстрирующие итерации отображений (численный счет) временно отсутствуют.

5. Добавлено данное пояснение.

© В.Э. Адлер, 1994, 2001

Оглавление

Введение	4
1 Одевающая цепочка	8
1 Преобразование Дарбу	8
2 Автопреобразования одевающей цепочки	11
3 Преобразования Бэклунда для уравнений типа KdV. I	14
4 Спектральные свойства одевающей цепочки	18
5 Удаление собственных значений	22
2 Уравнения Пенлеве P_4 и P_5	29
6 Спектральная теория 4-го и 5-го трансцендентов Пенлеве	29
7 Групповые свойства P_4	30
8 Рациональные решения P_4	33
9 Случай центров	36
10 Групповые свойства P_5	39
3 Принцип нелинейной суперпозиции как интегрируемое отображение	41
11 Интегрируемость по Лиувиллю	41
12 Преобразование Абеля	44
13 Перекройки многоугольника	47
4 Примеры цепочек и их автопреобразований	50
14 Общая схема	50
15 Оператор Дирака	52
16 Преобразования Бэклунда для уравнений типа KdV. II	58
17 О многополевых нелинейных системах Шредингера	62
18 Модель Ландау-Лифшица и другие примеры	67
5 Трансформационные свойства уравнений Пенлеве	72
19 Калибровочные преобразования	72
20 Второе уравнение Пенлеве	73
21 Вырождение третьего уравнения Пенлеве	75
22 Третье и вырожденное пятое уравнения Пенлеве	76
23 Шестое уравнение Пенлеве	79
Литература	82

Введение

В диссертации изучаются дискретные автопреобразования нелинейных интегрируемых цепочек. Простейшим примером служат преобразования

$$B_k : \begin{cases} \tilde{f}_k &= f_k + \frac{\beta_k - \beta_{k-1}}{f_k + f_{k-1}}, & \tilde{\beta}_k &= \beta_{k-1}, \\ \tilde{f}_{k-1} &= f_{k-1} - \frac{\beta_k - \beta_{k-1}}{f_k + f_{k-1}}, & \tilde{\beta}_{k-1} &= \beta_k, \\ \tilde{f}_j &= f_j, & \tilde{\beta}_j &= \beta_j, & j &\neq k, k-1, \end{cases} \quad (0.1)$$

действующие на бесконечном наборе переменных f_j и параметров β_j цепочки

$$f'_{j+1} + f'_j = f_{j+1}^2 - f_j^2 + \beta_{j+1} - \beta_j, \quad j \in \mathbb{Z}. \quad (0.2)$$

Эта цепочка задает последовательность преобразований Дарбу ([13], см. также [12, 22, 25, 38, 45]) для операторов Шредингера $-D^2 + u_j$, где $u_j = f_j^2 - f'_j + \beta_j$, а формула (0.1) задает принцип нелинейной суперпозиции для этих преобразований. Известно, что преобразование Дарбу (0.2) является x -частью преобразования Бэклунда для модифицированного уравнения Кортевега – де Вриза

$$f_t = f_{xxx} - 6(f^2 + \beta)f_x \quad (0.3)$$

интегрируемого методом обратной задачи. Преобразования (0.1) позволяют размножать точные решения цепочки (0.2) и одновременно уравнения (0.3). Это применение принципа нелинейной суперпозиции давно известно [24, 28, 33, 38]. В диссертации развиваются две новые точки зрения на этот объект.

Во-первых, преобразования типа (0.1) приводят к дискретным отображениям, которые представляют самостоятельный интерес и активно изучаются в последнее время [7, 29, 31, 32, 43, 44]. Можно проверить, что в группе B , порожденной B_j , выполняются тождества

$$B_j^2 = (B_j B_{j+1})^3 = (B_i B_j)^2 = 1, \quad i \neq j \pm 1, \quad (0.4)$$

то есть B изоморфна группе финитных перестановок бесконечного числа элементов. Преобразования (0.1) задают нелинейное действие этой группы в пространстве переменных f_j, β_j , то есть своего рода дискретную динамическую систему. В [41] показано, что при наложении условия периодичности

$$f_{j+N} = f_j, \quad \beta_{j+N} = \beta_j \quad (0.5)$$

эта система является интегрируемой в смысле дискретной версии теоремы Лиувилля, принадлежащей Веселову [43]. Известно [39, 64], что система (0.2), (0.5) определяет конечнозонные решения уравнения mKdV. В [45] показано, что она эквивалентна уравнению Лакса-Новикова или системе Дубровина, которые впервые были использованы для описания конечнозонных потенциалов [53, 58]. Таким образом, в периодическом случае преобразования (0.1), цепочка (0.2) и уравнение (0.3) представляют три разных уровня дискретизации одного и того же объекта — прямолинейной динамики на якобиане гиперэллиптической кривой.

Итак, с одной стороны, наличие у уравнения (0.3) нетривиальной дискретной симметрии позволяет строить его точные решения, а с другой стороны, наличие у преобразований (0.1) непрерывных симметрий приводит к интегрируемости соответствующего дискретного отображения.

Вторая точка зрения на преобразования (0.1) основана на связи между нелинейными цепочками и уравнениями Пенлеве, обнаруженной недавно в работах Шабата, Веселова и автора [3, 41, 45]. Эта связь доставляет целое новое семейство точнорешаемых спектральных задач, с потенциалами и волновыми функциями, выражающимися через трансценденты Пенлеве. Например, накладывая на цепочку (0.2) ослабленное условие периодичности

$$f_{j+3} = f_j, \quad \beta_{j+3} = \beta_j + 2, \quad (0.6)$$

получаем, что $y = f_1 - x$ удовлетворяет четвертому уравнению Пенлеве (P_4)

$$y'' = \frac{(y')^2}{2y} + \frac{3}{2}y^3 + 4xy^2 + 2(x^2 - a)y + \frac{b}{y}$$

где $2a = \beta_2 - 2\beta_1 + \beta_0$, $2b = -(\beta_3 - \beta_2)^2$. Если соответствующий оператор Шредингера $-D^2 + u_1$ регулярен, то его спектр состоит из трех арифметических прогрессий $\beta_j + 2n$, $j = 1, 2, 3$, $n \geq 0$. При этом преобразования (0.1) приводят к дифференциальной подстановке, переводящей P_4 с одним набором параметров в P_4 с новыми параметрами. Такие автоподстановки уравнений Пенлеве известны под названием преобразований Бэклунда или Шлезингера (чтобы избежать путаницы, в диссертации используется второй термин) и изучались многими авторами, см. напр. [1, 5, 17, 18, 30, 47, 48, 49, 50, 51, 54, 55]. Они сводят интегрирование уравнения к случаю, когда параметры лежат в некоторой фундаментальной области, а также позволяют размножать точные решения.

Остальные уравнения Пенлеве (кроме первого) также имеют представления в виде периодически замкнутой цепочки преобразований Дарбу для подходящего дифференциального оператора, причем принцип нелинейной суперпозиции порождает преобразования Шлезингера и для этих уравнений. Преимущество такого представления состоит в более простой и симметричной записи как самих уравнений Пенлеве, так и их автопреобразований, что облегчает получение некоторых важных результатов. Кроме того, этот подход непосредственно обобщается на системы более высоких порядков, приводящие к высшим аналогам уравнений Пенлеве, и облегчает изучение групповых свойств преобразований Шлезингера. Например, из тождеств (0.4) сразу видим, что дискретная группа P_4 содержит аффинную группу Вейля \tilde{A}_2 — результат, полученный ранее в работе [30].

Следует отметить, что, в отличие от рассмотренного выше случая периодического замыкания (0.5), дискретное отображение, возникающее после наложения условия (0.6), по-видимому неинтегрируемо. Его можно считать разностным аналогом 4-го уравнения Пенлеве (о различных способах дискретизации уравнений Пенлеве см. напр. [20, 21]).

Диссертация состоит из 23 разделов, объединенных в 5 глав. Нумерация утверждений, формул и рисунков своя в каждом разделе. В первой главе рассматривается преобразование Дарбу для оператора Шредингера, приводящее к цепочке (0.2). На этом наиболее простом примере подробно разбирается общая схема, применяемая далее к другим операторам. Разделы

1, 2, 4 включают в себя разложение преобразования Дарбу на элементарные, вывод принципа нелинейной суперпозиции, вронскианную технику. В 3-м разделе рассматриваются эволюционные уравнения, связанные с оператором Шредингера. Они связаны последовательностью дифференциальных подстановок типа преобразования Миуры, которые легко получить из замен переменных в цепочке (0.2). О возможности строить преобразования Миуры при помощи цепочечных замен см. напр. [65]. Раздел 5 содержит один новый способ построения точнорешаемых операторов Шредингера, обобщающий классический метод Крама [12] (Теорема 5.1).

Вторая глава посвящена разработке теории 4-го и 5-го уравнений Пенлеве на основе цепочки (0.2). Хотя большая часть результатов, касающихся этих уравнений, известна (в основном из работ Громака и Лукашевича, см. для ссылок [51]), мы воспроизводим их с целью продемонстрировать удобство цепочечного аппарата. Раздел 6 содержит краткое изложение подхода к P_4 , P_5 и их высшим аналогам из работы [45]. В разделах 7, 10 показано, как преобразования (0.1) приводят к преобразованиям Шлезингера для этих уравнений. В разделах 8, 9 изучаются рациональные решения P_4 . Для одного из двух классов рациональных решений с помощью результатов разделов 4, 5 удается выяснить, при каких значениях параметров эти решения регулярны на вещественной оси (Теорема 9.2).

В третьей главе рассматривается дискретное отображение B , возникающее из преобразований (0.1) после наложения условия периодичности (0.5). Цель первого раздела этой главы — показать, что оно интегрируемо в смысле работ [7, 43] (Теорема 11.1). В разделе 12 динамика исследуется более детально. Показано, что преобразование Абеля, линеаризующее систему Дубровина, линеаризует также и соответствие B , которое оказывается эквивалентным N -значному сдвигу на многообразии Якоби. В разделе 13 устанавливается связь рассматриваемого соответствия с задачей о перекройках многоугольника, которая впервые вызвала интерес автора к данной теме [41].

В четвертую главу включены по возможности разнообразные примеры интегрируемых цепочек, порожденных преобразованиями Дарбу для различных дифференциальных операторов, как скалярных, так и матричных. Как и для оператора Шредингера, для них выводятся принципы нелинейной суперпозиции, позволяющие строить точные решения ассоциированных уравнений в частных производных и, с другой стороны, дающие новые примеры интегрируемых отображений. Общая схема изложена в разделе 14. В разделе 15 более подробно разобран важный случай оператора Дирака, с которым связана нелинейная система Шредингера. В работах [19, 36, 56] изучались многополевые обобщения этой системы, а в работе [37] соответствующие им цепочки преобразований Бэклунда. В разделе 17 показано, что принцип нелинейной суперпозиции также допускает многополевое обобщение. Раздел 18 содержит примеры цепочек, отвечающих операторам второго порядка типа оператора Дирака. Среди ассоциированных систем — модели магнетика Гейзенберга и Ландау-Лифшица. Результаты этого раздела были получены совместно с Р.И. Ямиловым в [4].

В пятой главе приводятся цепочечные представления для уравнений P_2 , P_3 , P_6 и вырожденного случая P_5 , пропущенного ранее. В разделе 19 описана модификация общей схемы, необходимость которой вызвана тем, что в случае матричных операторов приходится более явно учитывать калибро-

вочные преобразования. Уравнение P_2 представлено при помощи преобразования Дарбу для скалярного дифференциального оператора 3-го порядка (раздел 20), а остальные — при помощи преобразований Дарбу для оператора Дирака (разделы 21, 22, 23). Использование принципа нелинейной суперпозиции позволяет вывести преобразования Шлезингера и исследовать их групповые свойства и для этих уравнений Пенлеве.

1 Одевающая цепочка

В первой главе рассматриваются преобразование Дарбу и одевающая цепочка для оператора Шредингера. На этом наиболее простом примере подробно разбирается общая схема, применяемая далее к другим операторам. Разделы 1, 2 включают в себя разложение преобразования Дарбу на элементарные и вывод принципа нелинейной суперпозиции. В 3-м разделе рассматриваются эволюционные уравнения, связанные с одевающей цепочкой и показывается, как ее автопреобразования позволяют строить многосолитонные решения mKdV. Раздел 4 содержит стандартную вронскианную технику, необходимую для дальнейшего. В 5-м разделе приводится один новый способ построения точнорешаемых операторов Шредингера, обобщающий классический метод Крама.

1 Преобразование Дарбу

Рассмотрим уравнение Шредингера с аналитическим потенциалом $u(x)$

$$\psi'' + (\lambda - u)\psi = 0 \quad (1.1)$$

или, в матричном виде,

$$\Psi' = U\Psi \quad (1.2)$$

где

$$\Psi = \begin{pmatrix} \psi \\ \psi' \end{pmatrix}, \quad U = \begin{pmatrix} 0 & 1 \\ u - \lambda & 0 \end{pmatrix}.$$

Потенциалы \bar{u}, u называются связанными преобразованием Дарбу, если существует аналитическая по x и полиномиальная по λ матрица

$$W = \begin{pmatrix} a & b \\ c & d \end{pmatrix},$$

удовлетворяющая уравнению

$$W' = \bar{U}W - WU, \quad (1.3)$$

где $\bar{U} = U(\bar{u})$. Расписывая это уравнение поэлементно, получаем систему

$$\begin{aligned} a' &= c - (u - \lambda)b, & b' &= d - a, \\ c' &= (\bar{u} - \lambda)a - (u - \lambda)d, & d' &= (\bar{u} - \lambda)b - c. \end{aligned} \quad (1.4)$$

При $b = 0$ легко получаем, что $W = \text{const } I$, где I единичная матрица. В этом случае преобразование Дарбу тривиально: $\bar{U} = U$.

Считая $b \neq 0$ и введя обозначения

$$\tau = \text{tr } W = a + d, \quad \delta = \det W = ad - bc,$$

находим, что система (1.4) эквивалентна системе

$$2bb'' - b'^2 + 2(2\lambda - u - \bar{u})b^2 = 4\delta - \tau^2, \quad (1.5)$$

$$\tau' = (\bar{u} - u)b, \quad (1.6)$$

причем δ есть константа, а элементы a, d, c выражаются через b, τ, δ по формулам

$$2a = \tau - b', \quad 2d = \tau + b', \quad c^2 = (\tau^2 - 4\delta - b'^2)/(4b). \quad (1.7)$$

Легко показать, что при любых аналитических потенциалах \bar{u}, u система (1.5), (1.6) имеет формальное решение в виде рядов Лорана по λ . Таким образом, если не накладывать условия полиномиальности, то любые 2 потенциала окажутся связанными некоторым преобразованием Дарбу и это понятие потеряет смысл.

Простейший нетривиальный случай преобразования Дарбу соответствует $b = 1$. Система (1.5), (1.6) принимает вид

$$4\lambda - 2(\bar{u} + u) = 4\delta - \tau^2, \quad \tau' = \bar{u} - u.$$

Положив $\tau = 2f$, $\delta = \lambda - \beta$ получаем отсюда

$$\bar{u} = u + 2f', \quad (1.8)$$

$$u = f^2 - f' + \beta. \quad (1.9)$$

Последняя формула определяет так называемое преобразование Миуры. Чтобы применить преобразование Дарбу к заданному потенциалу u , следует найти f из уравнения (1.9), после чего потенциал \bar{u} строится по формуле (1.8). Легко убедиться, что интегрирование уравнения (1.9) эквивалентно решению уравнения (1.1) при $\lambda = \beta$. Поэтому на первый взгляд преобразование Дарбу не может быть особенно полезным при изучении уравнения (1.1). Существуют, тем не менее, достаточно широкие и весьма важные классы потенциалов, к построению и исследованию которых преобразование Дарбу применяется с большим успехом. Некоторые из них будут рассматриваться в последующих разделах.

Очевидно, композиция двух преобразований Дарбу (1.3) и $\bar{W}' = \bar{U}\bar{W} - \bar{W}\bar{U}$ есть преобразование Дарбу между потенциалами \bar{u}, u . Таким образом, можно строить сложные преобразования Дарбу, как композицию элементарных преобразований (1.8), (1.9). Это приводит к так называемой одевающей цепочке, то есть бесконечной системе ОДУ

$$f'_{j+1} + f'_j = f_{j+1}^2 - f_j^2 + \beta_{j+1} - \beta_j, \quad j \in \mathbb{Z}. \quad (1.10)$$

Изучению ее свойств посвящена большая часть настоящей главы. Из формул (1.7) находим, что представление нулевой кривизны

$$W'_j = U_{j+1}W_j - W_jU_j \quad (1.11)$$

для этой цепочки задается матрицами

$$W_j = \begin{pmatrix} f_j & 1 \\ f_j^2 + \beta_j - \lambda & f_j \end{pmatrix}. \quad (1.12)$$

По каждому решению цепочки (1.10) строится последовательность потенциалов

$$u_j = f_j^2 - f'_j + \beta_j, \quad j \in \mathbb{Z} \quad (1.13)$$

в которой каждые два соседних члена связаны элементарным преобразованием Дарбу (1.8), (1.9). Потенциалы u_{j+N} и u_j связаны преобразованием Дарбу с матрицей $W = W_{j+N-1} \dots W_j$.

Имеет место обратное утверждение: оказывается, что любое преобразование Дарбу представимо в виде композиции элементарных. Прежде, чем доказывать это, сделаем следующее замечание. Пусть матрица W задает преобразование Дарбу (1.3). Тогда ее определитель не зависит от x , $\det W = (\lambda - \beta_N) \dots (\lambda - \beta_0)$, где нули β_j могут быть и кратными. Если при некотором j имеем $W(\beta_j, x) \equiv 0$, то, в силу полиномиальности, W делится на $\lambda - \beta_j$ и ее можно сократить на этот скалярный множитель. Итак, не теряя общности можно считать, что

$$\text{rank } W(\beta_j) = 1. \quad (1.14)$$

(Разумеется при некоторых $x = x_0$ не исключается и возможность полного вырождения $W(\beta_j, x_0) = 0$, но в силу аналитичности W такие точки образуют дискретное множество.) В дальнейшем мы всегда предполагаем условие (1.14) выполненным. Это избавляет нас от тривиальных последовательностей преобразований Дарбу типа $W(\beta, -f)W(\beta, f)$. Докажем следующую лемму.

Лемма 1.1. Пусть W задает нетривиальное преобразование Дарбу (1.3) и $\det W(\beta_0) = 0$. Тогда

1) существует единственное разложение

$$W = \widetilde{W}W_0, \quad (1.15)$$

где матрица \widetilde{W} полиномиальна по λ , а W_0 — матрица вида (1.12).

2) При этом f_0 и $u_0 = u$ связаны формулой вида (1.13).

Доказательство. Покажем, что

$$b(\beta_0, x) \not\equiv 0. \quad (1.16)$$

Действительно, в противном случае из равенства $\det W(\beta_0) = 0$ следует $a(\beta_0, x) \equiv 0$ или $d(\beta_0, x) \equiv 0$, откуда при помощи формул (1.4) легко получаем, что все элементы W равны 0, что противоречит предположению (1.14). Рассмотрим одномерное пространство $K(x) = \ker W(\beta_0, x)$. В силу (1.16) оно не может быть натянуто на вектор $(0, 1)^\top$ и, следовательно, содержит вектор вида $(1, -f_0)^\top$. Определив отсюда f_0 и вместе с тем матрицу W_0 , рассмотрим матрицу $\widetilde{W} = WW_0^{-1}$. Имеем

$$\begin{aligned} \widetilde{W} &= \begin{pmatrix} \widetilde{a} & \widetilde{b} \\ \widetilde{c} & \widetilde{d} \end{pmatrix} = \frac{1}{\beta_0 - \lambda} \begin{pmatrix} a & b \\ c & d \end{pmatrix} \begin{pmatrix} -f_0 & 1 \\ f_0^2 + \beta_0 - \lambda & -f_0 \end{pmatrix} = \\ &= \frac{1}{\beta_0 - \lambda} \begin{pmatrix} (\beta_0 - \lambda)b - f_0(a - bf_0) & a - bf_0 \\ (\beta_0 - \lambda)d - f_0(c - df_0) & c - df_0 \end{pmatrix} \end{aligned}$$

В силу определения f_0 полиномы $a - bf_0$, $c - df_0$ делятся на $\lambda - \beta_0$, следовательно матрица \widetilde{W} полиномиальна. Однозначность разложения (1.15) очевидна из построения.

Перейдем к доказательству второй части утверждения. Из формулы (1.15) имеем

$$\begin{aligned} b &= \tilde{a} + \tilde{b}f_0, & d &= \tilde{c} + \tilde{d}f_0, \\ a &= bf_0 + \tilde{b}(\beta_0 - \lambda), & \tilde{c} &= df_0 + d(\beta_0 - \lambda). \end{aligned}$$

Подставляя эти выражения в равенство $a' = c - (u - \lambda)b$ из системы (1.4), находим

$$(f'_0 - f_0^2 + u - \lambda)b = (\lambda - \beta_0)(\tilde{b}' - \tilde{d} - \tilde{b}f_0).$$

Полагая $\lambda = \beta_0$ и учитывая (1.16), получаем требуемую формулу. \blacksquare

Теперь мы можем доказать сформулированное выше утверждение.

Теорема 1.2. *Любое нетривиальное преобразование Дарбу (1.3) есть композиция элементарных преобразований (1.8), (1.9).*

Доказательство. Рассмотрим разложение (1.15) и определим потенциал u_1 по формуле $u_1 = u_0 + 2f'_0$. Тогда потенциалы u_0 и u_1 связаны преобразованием Дарбу (1.8), (1.9), что равносильно матричному равенству $W'_0 = U_1W_0 - W_0U_0$. Отсюда и из равенства (1.3) следует, что \tilde{W} также задает преобразование Дарбу: $\tilde{W}' = \tilde{U}\tilde{W} - \tilde{W}U_1$. При этом $\deg \det \tilde{W} = \deg \det W - 1$. Таким образом, через несколько шагов мы придем к матрице \tilde{W} с определителем, не зависящим от λ . Исходя из формул (1.5), (1.6), легко показать, что при $\delta = \text{const}$ преобразование Дарбу тривиально, откуда получаем утверждение теоремы. \blacksquare

Замечание. Разложение $W = W_N \dots W_0$, получаемое по приведенной схеме, не единственно, так как зависит от способа нумерации нулей $\det W$. Характер этой неоднозначности будет выяснен в следующем разделе.

2 Автопреобразования одевающей цепочки

Введем в рассмотрение преобразования B_k , $k \in \mathbb{Z}$, определяемые по формулам

$$B_k : \begin{cases} \tilde{f}_k &= f_k + \frac{\beta_k - \beta_{k-1}}{f_k + f_{k-1}}, & \tilde{\beta}_k &= \beta_{k-1}, \\ \tilde{f}_{k-1} &= f_{k-1} - \frac{\beta_k - \beta_{k-1}}{f_k + f_{k-1}}, & \tilde{\beta}_{k-1} &= \beta_k, \\ \tilde{f}_j &= f_j, & \tilde{\beta}_j &= \beta_j, & j &\neq k, k-1, \end{cases} \quad (2.1)$$

и действующие на бесконечном наборе переменных f_j и параметров β_j , $j \in \mathbb{Z}$. Эти преобразования обладают рядом замечательных свойств, в основе которых лежит следующее легко проверяемое утверждение.

Лемма 2.1. *Формула (2.1) задает единственное отличное от тождественного решение системы уравнений*

$$\tilde{W}_k \tilde{W}_{k-1} = W_k W_{k-1}, \quad \tilde{W}_j = W_j, \quad j \neq k, k-1, \quad (2.2)$$

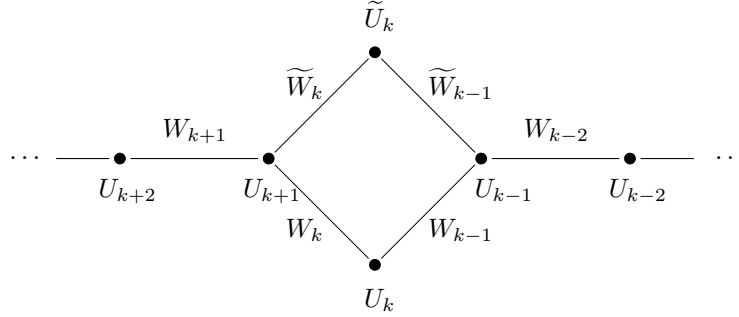
где W_j матрицы вида (1.12), $\tilde{W}_j = W_j(\tilde{f}_j, \tilde{\beta}_j)$. \blacksquare

Наиболее важным для теории уравнения Шредингера является следующее свойство преобразований B_k .

Теорема 2.2. *Преобразования (2.1) действуют на множестве одевающих цепочек (1.10).*

Доказательство. Утверждение можно легко проверить и непосредственно, но более содержательным является следующее рассуждение. Пусть переменные f_j удовлетворяют цепочке (1.10), тогда матрицы $\dots, W_{k+1}, W = W_k W_{k-1}, W_{k-2}, \dots$ задают некоторую последовательность преобразований Дарбу. Повторяя доказательство Теоремы 1.2, получаем, что матрицы $\widetilde{W}_k, \widetilde{W}_{k-1}$ нового разложения $W = \widetilde{W}_k \widetilde{W}_{k-1}$ также задают преобразования Дарбу и, следовательно, приводят к цепочке вида (1.10). ■

Формулы (2.2) отражают коммутативность двух преобразований Дарбу (1.8), (1.9), что может быть выражено диаграммой



на которой нижнему обходу вершин отвечает исходная цепочка, а верхнему — преобразованная. По существу преобразования (2.1) эквивалентны так называемому принципу нелинейной суперпозиции преобразований Бэклунда для mKdV, который в более привычной форме будет выписан в следующем разделе.

Перейдем к изучению групповых свойств преобразований (2.1). Пользуясь единственностью разложения (1.15), легко доказать следующее утверждение.

Утверждение 2.3. *Пусть матрица W задает преобразование Дарбу (1.3) и $\det W = (\lambda - \beta_N) \dots (\lambda - \beta_1)$. Каждой перестановке $\sigma \in S_N$ соответствует единственное разложение матрицы W на матрицы вида (1.12), такое, что*

$$W = W_N \dots W_1, \quad \det W_j = \lambda - \beta_{\sigma(j)}. \quad \blacksquare$$

Отсюда сразу получаем

Следствие 2.4. *Код группы B , порожденной преобразованиями $B_j, j \in \mathbb{Z}$, задается тождествами*

$$B_j^2 = (B_j B_{j+1})^3 = (B_i B_j)^2 = 1, \quad i \neq j \pm 1. \quad (2.3)$$

Иными словами, B есть группа Кокстера с графом



Доказательство. Так как преобразования B_j действуют на параметрах β_j как перестановки, то очевидно, что преобразования, действующие на β_j тождественно, порождены B_j^2 , $(B_j B_{j+1})^3$, $(B_i B_j)^2$, $i \neq j \pm 1$. Из Утверждения 2.3 следует, что эти преобразования тождественны и на переменных f . ■

Кроме того, из Утверждения 2.3 следует, что рассмотрение преобразований типа

$$T: \quad \widetilde{W}_k \dots \widetilde{W}_{k-p} = W_k \dots W_{k-p}, \quad \widetilde{W}_j = W_j, \quad j \neq k, \dots, k-p,$$

обобщающих (2.2), не дает ничего нового: все такие преобразования есть композиция преобразований (2.2). Действительно, сравнивая определители, видим, что T действует на β_j как некоторая перестановка. Рассматривая композицию T с преобразованием из группы B , соответствующим обратной перестановке, получаем в силу Утверждения 2.3 тождественное преобразование.

Замечание. При точном определении группы B могут встретиться некоторые затруднения, связанные с бесконечным числом образующих. Ограничиться только финитными преобразованиями нельзя, так как, например, преобразования вида

$$\dots B_{k-2N} B_{k-N} B_k B_{k+N} B_{k+2N} \dots, \quad N > 1 \quad (2.4)$$

вполне корректно определены и будут нами в дальнейшем использоваться. Другой пример: преобразование

$$\dots B_{k-2} B_{k-1} B_k$$

определено корректно, но не имеет обратного.

На множестве цепочек (1.10) действует также ряд других преобразований, порождающих, вместе с B_j , некоторую группу G . Прежде всего, это масштабные преобразования

$$T_q: \quad \widetilde{f}_j(x) = q f_j(qx), \quad \widetilde{\beta}_j = q^2 \beta_j, \quad (2.5)$$

образующие однопараметрическую группу. Далее, это сдвиг

$$S: \quad \widetilde{f}_j = f_{j+1}, \quad \widetilde{\beta}_j = \beta_{j+1}, \quad (2.6)$$

и отражения

$$R_k: \quad \widetilde{f}_j = -f_{k-j}, \quad \widetilde{\beta}_j = \beta_{k-j}, \quad k \in \mathbb{Z}. \quad (2.7)$$

Наконец, сюда надо добавить калибровочное преобразование, отвечающее за выбор начала координат на оси λ :

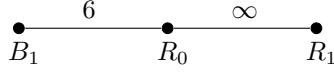
$$K_\alpha: \quad \widetilde{f}_j = f_j, \quad \widetilde{\beta}_j = \beta_j - \alpha \quad (2.8)$$

(ср. со случаем оператора Дирака, гл. 5).

Легко проверяются следующие тождества:

$$\begin{aligned} R_j^2 &= 1, & R_i R_j &= S^{i-j}, & B_{j+1} &= S^{-1} B_j S, \\ B_i R_j &= R_j B_{j-i+1}, & T_q K_\alpha &= K_{q^2 \alpha} T_q. \end{aligned} \quad (2.9)$$

Очевидно также, что преобразования T_q и K_α коммутируют с остальными. Подгруппа чисто дискретных преобразований, порожденная B_j, S, R_j , является группой Кокстера с тремя образующими B_1, R_0, R_1 и графом



Следует отметить, что многие важные примеры операторов Шредингера связаны с решениями одевающей цепочки, инвариантными относительно какого-либо элемента из группы G . Так, требование инвариантности относительно отражения R_0 приводит к граничному условию $f_0 = 0$ и многосолитонным потенциалам. Решения, инвариантные относительно сдвига S^N , характеризуют конечнозонные потенциалы [39, 45]. Комбинация сдвига S^N и калибровочного преобразования приводит к трансцендентам Пенлеве и их обобщениям [3, 41, 45], а комбинация S и растяжения (2.5) — к знаменитой функции Шабата [34].

При наложении на цепочку (1.10) какого-либо граничного условия группа преобразований, естественно, сужается. Очевидно, требование инвариантности цепочки относительно некоторого элемента $g \in G$ оставляет в качестве допустимых преобразования, коммутирующие с данным. Например, в важном случае $g = S^N$ группа B сужается до подгруппы, порожденной преобразованиями (2.4) и изоморфной группе Кокстера A_{N-1} . Чтобы не усложнять обозначений, группы преобразований рассматриваемых далее редуцированных цепочек также обозначаются через G .

3 Преобразования Бэклунда для уравнений типа KdV. I

Другая форма записи преобразования Дарбу получается, если из соотношений (1.8), (1.9) исключить не u , а f . Введя новые переменные v_j по формулам

$$2v'_j = u_j, \quad v_{j+1} - v_j = f_j, \quad j \in \mathbb{Z}, \quad (3.1)$$

получим цепочку

$$v'_{j+1} + v'_j = (v_{j+1} - v_j)^2 + \beta_j. \quad (3.2)$$

Она задает преобразования Бэклунда для потенцированного уравнения KdV

$$v_t = v_{xxx} - 6v_x^2 \quad (3.3)$$

найденные впервые Уолквистом и Эстабруком [38]. Преобразования (2.1) легко переписываются в новых переменных и принимают вид

$$B_k : \begin{cases} \tilde{v}_k = v_k - \frac{\beta_k - \beta_{k-1}}{v_{k+1} - v_{k-1}}, & \tilde{v}_j = v_j, \quad j \neq k, \\ \tilde{\beta}_k = \beta_{k-1}, \quad \tilde{\beta}_{k-1} = \beta_k, \quad \tilde{\beta}_j = \beta_j, & j \neq k, k-1. \end{cases} \quad (3.4)$$

Переписав формулу для \tilde{v}_k в виде

$$v_{k+1} = v_{k-1} - \frac{\beta_k - \beta_{k-1}}{\tilde{v}_k - v_k} \quad (3.5)$$

узнаем в ней хорошо известную формулу нелинейной суперпозиции преобразований Бэклунда (см. [25, 38], а также [9, 15, 28, 33]). Она позволяет

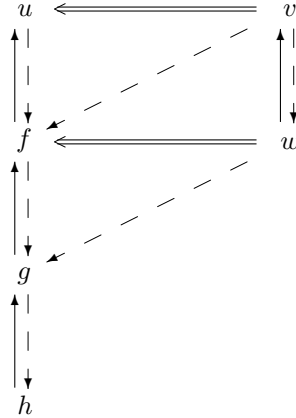


Рис. 3.1: Уравнения, связанные с KdV

по потенциалу v_{k-1} и двум потенциалам v_k, \tilde{v}_k , связанным с ним преобразованием Бэклунда, чисто алгебраически строить результат двукратного применения преобразования Бэклунда — потенциал v_{k+1} .

Сама цепочка (1.10) задает преобразования Бэклунда между уравнениями mKdV

$$f_t = f_{xxx} - 6(f^2 + \beta)f_x, \quad (3.6)$$

различающимися параметрами $\beta = \beta_j$ и связанными с уравнением (3.3) при помощи преобразования Миуры (1.9) и потенцирования:

$$2v' = f^2 - f' + \beta.$$

Простая цепочечная замена (3.1), эквивалентная этому преобразованию, иллюстрирует общую схему из работ Ямилова [40, 65]. Легко выписать еще несколько цепочек, связанных с (1.10) и (3.2) аналогичным образом. Эти связи схематически изображены на рис. 3.1, где двойные стрелки соответствуют потенцированиям, пунктирные — цепочечным заменам, а простые — получающимся в результате их обращения дифференциальным подстановкам типа Миуры. Например, преобразования $v \rightarrow u$, $v \rightarrow f$ задаются формулой (3.1), а преобразование $f \rightarrow u$ формулой (1.9). Его обращение приводит к формуле

$$2(f_j^2 + \beta_j) = u_{j+1} + u_j.$$

В результате этих замен переписываются не только сами цепочки, но также соответствующие им эволюционные уравнения и формулы нелинейной суперпозиции. Они приведены ниже, причем для краткости в записи преобразований B_k выписаны только фактически преобразуемые переменные. Действие B_k на параметры β_j во всех случаях состоит в перестановке β_{k-1} и β_k , поэтому мы его также опускаем. Удобно ввести параметры

$$\alpha_j = \beta_j - \beta_{j-1}, \quad (3.7)$$

для которых, очевидно, имеем

$$\tilde{\alpha}_{k\pm 1} = \alpha_{k\pm 1} + \alpha_k, \quad \tilde{\alpha}_k = -\alpha_k.$$

На переменную u получаем уравнение KdV

$$u_t = u_{xxx} - 6uu_x, \quad (3.8)$$

цепочка принимает вид

$$u'_{j+1} + u'_j = (u_{j+1} - u_j) \sqrt{2(u_{j+1} + u_j) - 4\beta_j}, \quad (3.9)$$

а преобразование B_k определяется формулой

$$\tilde{u}_k = u_k + \frac{2\alpha_k(u_{k+1} - u_{k-1})}{(\sqrt{u_{k+1} + u_k - 2\beta_k} + \sqrt{u_k + u_{k-1} - 2\beta_{k-1}})^2}. \quad (3.10)$$

Замены $v \rightarrow w$, $w \rightarrow v$, $w \rightarrow f$ задаются соответственно формулами

$$w_j = v_{j+1} + v_j, \quad 2v = w - \sqrt{w' - \beta}, \quad f^2 + \beta = w',$$

причем для переменных w_j имеем

$$\begin{aligned} w_t &= w_{xxx} - \frac{3w_{xx}^2}{4(w_x - \beta)} - 3w_x^2, \\ \sqrt{w'_{j+1} - \beta_{j+1}} + \sqrt{w'_j - \beta_j} &= w_{j+1} - w_j, \\ \tilde{w}_k &= w_k - \frac{\alpha_k}{w_k - w_{k-1}}, \quad \tilde{w}_{k-1} = w_{k-1} - \frac{\alpha_k}{w_k - w_{k-1}} \end{aligned}$$

Замены $w \rightarrow g$, $f \rightarrow g$, $g \rightarrow f$ задаются соответственно формулами

$$g_{j+1} = w_{j+1} - w_j, \quad g_{j+1} = f_{j+1} + f_j, \quad 2f = g + (g' - \alpha)/g.$$

На переменные g_j получаем

$$g_t = g_{xxx} - 3\frac{g_x g_{xx}}{g} + \frac{3g_x^3}{2g^2} - \frac{3}{2} \left(g^2 + \frac{\alpha^2}{g^2} + 2\beta + 2\beta_{-1} \right) g_x, \quad (3.11)$$

$$(g_{j+1}g_j)' = g_{j+1}g_j(g_{j+1} - g_j) + \alpha_{j+1}g_j + \alpha_jg_{j+1}, \quad (3.12)$$

$$\tilde{g}_{k\pm 1} = g_{k\pm 1} \pm \frac{\alpha_k}{g_k}. \quad (3.13)$$

Наконец, замены $g \rightarrow h$, $h \rightarrow g$ задаются формулами

$$h_j = g_{j+1}g_j, \quad 2g_j = (R_j - h'_j)/(h_j - \alpha_{j+1})$$

и на переменные h_j получаем

$$h_t = h_{xxx} - \frac{3h_x(h_{xx} + 2\dot{P})^2}{2(h_x^2 + 4P)} + 6(2h - \beta_1 + \beta - \beta_{-1})h_x, \quad (3.14)$$

$$(R_{j+1} + h'_{j+1})(R_j + h'_j) = 4h_{j+1}(h_{j+1} + \alpha_{j+1})(h_j + \alpha_j), \quad (3.15)$$

$$\begin{aligned} \tilde{h}_{k+1} &= h_{k+1} \left(1 + \frac{\alpha_k}{h_k} \right), & \tilde{h}_k &= h_k + \alpha_k, \\ \tilde{h}_{k-1} &= h_{k-1} - \alpha_k, & \tilde{h}_{k-2} &= h_{k-2} \left(1 - \frac{\alpha_k}{h_{k-1}} \right), \end{aligned} \quad (3.16)$$

где

$$R_j^2 = h_j'^2 + 4P_j(h_j), \quad P_j(h_j) = h_j(h_j + \alpha_j)(h_j - \alpha_{j+1}).$$

Уравнение (3.11) после замены $g = \exp(\varphi)$ переходит в так называемое экспоненциальное уравнение Калоджеро–Дегаспериса

$$\varphi_t = \varphi_{xxx} - \frac{1}{2}\varphi_x^3 - \frac{3}{2}(e^{2\varphi} + \alpha^2 e^{-2\varphi} + 2\beta + 2\beta_{-1})\varphi_x, \quad (3.17)$$

а уравнение (3.14) в результате замены

$$h = H(z), \quad \dot{H}^2 = 4P(H)$$

и переобозначения

$$\wp = F + (\alpha_1 + \alpha)^2/F + 2(\alpha_1 - \alpha)/3, \quad F = H - \alpha_1\alpha/H - \alpha_1 + \alpha$$

переходит в эллиптическое уравнение Калоджеро–Дегаспериса

$$z_t = z_{xxx} - \frac{3z_x z_{xx}^2}{2(z_x^2 + 1)} - \frac{3}{2}\wp(z)z_x(z_x^2 + 1) - 2(\beta_1 + \beta + \beta_{-1})z_x, \quad (3.18)$$

$$\wp^2 = 4(\wp + \frac{4}{3}(\alpha_1 - \alpha))(\wp + \frac{4}{3}(\alpha_1 + 2\alpha))(\wp - \frac{4}{3}(2\alpha_1 + \alpha)).$$

Эти уравнения рассматривались в [8], см. также [9], стр. 58 русского перевода. Последовательность дифференциальных подстановок, связывающих уравнения (3.8), (3.6), (3.17), (3.18) приводилась в [60].

В заключение этого раздела покажем, как преобразование (2.1) позволяет строить точные решения уравнения mKdV. Полагая $f_0 = \beta_0 = 0$, легко находим решение-кинк

$$f_1 = -\gamma_1 \operatorname{th}(\gamma_1 x + \gamma_1^3 t + c_1), \quad \gamma_1^2 = -\beta_1.$$

Предположим, что результат k -кратного преобразования Бэклунда уже найден в виде

$$f_k = F_k(x, t; \beta_1, c_1, \dots, \beta_{k-1}, c_{k-1}, \beta_k, c_k).$$

Разрешив формулу для преобразования B_{k+1} относительно переменных f_{k+1}, \tilde{f}_{k+1} :

$$f_{k+1} = -f_k + \frac{\beta_{k+1} - \beta_k}{f_k - \tilde{f}_k}, \quad \tilde{f}_{k+1} = -\tilde{f}_k + \frac{\beta_{k+1} - \beta_k}{f_k - \tilde{f}_k}$$

находим, что

$$F_{k+1}(x, t; \beta_1, c_1, \dots, \beta_k, c_k, \beta_{k+1}, c_{k+1}) = -F_k + \frac{\beta_{k+1} - \beta_k}{F_k - \tilde{F}_k}$$

где $\tilde{F}_k = F_k(x, t; \beta_1, c_1, \dots, \beta_{k-1}, c_{k-1}, \beta_{k+1}, c_{k+1})$. Используя вронскианную технику, развитую в следующем разделе, можно показать, что при выборе

$$0 > \beta_1 > \beta_2 > \dots > \beta_k > \dots, \quad \operatorname{Im} c_{2j+1} = 0, \quad \operatorname{Im} c_{2j} = \pi i/2$$

все построенные таким образом решения будут гладкими на вещественной оси (ср. [63]).

4 Спектральные свойства одевающей цепочки

Значение преобразований Дарбу для спектральной теории операторов Шредингера очевидно из следующих его свойств.

Теорема 4.1. Пусть матрица W задает преобразование Дарбу (1.3) между потенциалами \bar{u} и u . Тогда

1) Если Ψ есть решение уравнения (1.2), то $\bar{\Psi} = W\Psi$ удовлетворяет уравнению (1.2) с потенциалом \bar{u} , то есть $\bar{\Psi}' = \bar{U}\bar{\Psi}$.

2) Если $\Psi = (\psi, \psi')^\top \in \ker W|_{\lambda=\beta_0}$, то Ψ есть решение уравнения (1.2) при $\lambda = \beta_0$.

Доказательство. 1) Первое утверждение очевидно. 2) Из (1.3) при $\lambda = \beta_0$ получаем $W'\Psi + WU\Psi = 0$, откуда $W(\Psi' - U\Psi) = 0$. В силу предположения (1.14) отсюда следует $\Psi' - U\Psi = \mu\Psi$. Однако из структуры матрицы U видно, что левая часть последнего равенства имеет вид $(0, *)^\top$, следовательно $\mu = 0$. ■

На приведенной теореме основано множество методов построения точно решаемых операторов Шредингера. Чтобы как-то описать это множество, воспользуемся тем, что, согласно Теореме 1.2, любое преобразование Дарбу эквивалентно отрезку одевающей цепочки. В этом разделе мы ограничимся рассмотрением половины цепочки, считая, что индекс j в формулах (1.10), (1.13) принимает только неотрицательные значения. Удобно выделить 3 основных метода, применяемых, как правило, в сочетании друг с другом.

1) Диагональный метод позволяет по известному решению f_j одевающей цепочки (1.10) для каждого потенциала u_j из последовательности (1.13) и каждого собственного числа $\lambda = \beta_i$, $i \geq j$, построить волновую функцию $\psi_{j,i}$, то есть решение уравнения

$$\psi_{j,i}'' + (\beta_i - u_j)\psi_{j,i} = 0.$$

В начале процесса нам известны функции, соответствующие диагонали $i = j$ (см. рис. 4.1), так как, согласно свойству 2) Теоремы 4.1, достаточно положить

$$\psi_{j,j} = \exp\left(-\int_{x_0}^x f_j dx\right). \quad (4.1)$$

Свойство 1) позволяет найти остальные ψ -функции по формуле

$$\Psi_{j,i} = W_j^{-1}(\beta_i)\Psi_{j+1,i}, \quad i > j. \quad (4.2)$$

Часто вместо матричных операторов W_j^{-1} и W_j удобно рассматривать соответственно операторы рождения и уничтожения

$$A_j^+ = -D + f_j, \quad A_j = D + f_j. \quad (4.3)$$

В терминах этих операторов преобразование Дарбу определяется, как переход от одного оператора Шредингера $L = -D^2 + u$ к другому по формулам

$$L_j = A_j^+ A_j + \beta_j, \quad L_{j+1} = A_j A_j^+ + \beta_j. \quad (4.4)$$

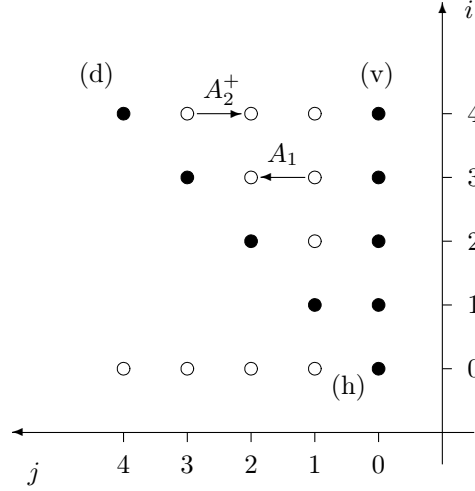


Рис. 4.1: На плоскости (j, i) черными кружками изображены ψ -функции, которые необходимо знать на начальном этапе диагонального (d), вертикального (v) и горизонтального (h) методов. Светлыми кружками обозначены ψ -функции, которые строятся в результате применения этих методов.

С использованием операторов рождения формула (4.2) примет вид

$$\psi_{j,i} = A_j^+(\psi_{j+1,i}), \quad i > j. \quad (4.5)$$

Данный метод позволяет, в сочетании с горизонтальным методом (см. ниже), для каждого потенциала найти столько волновых функций, сколько в цепочке различных параметров β_j .

2) Вертикальный метод является обратным к диагональному. Он позволяет построить решение одевающей цепочки по известным волновым функциям $\psi_{0,i}$ одного потенциала u_0 (см. рис. 4.1). Этот метод замечателен тем, что дает явную формулу, выражающую потенциалы (1.13) через известные $\psi_{0,i}$.

Обозначим через $\langle y_0, \dots, y_n \rangle = \det \left((y_j^{(s)})_0^n \right)$ вронскиан произвольных гладких функций y_j . Имеет место следующая лемма.

Лемма 4.2. Пусть $y_0 \neq 0$, $A = D - y_0'/y_0$. Тогда

$$\langle y_0, \dots, y_n \rangle = y_0 \langle A(y_1), \dots, A(y_n) \rangle. \quad (4.6)$$

Доказательство. Рассматривая обе части формулы (4.6) как линейные дифференциальные операторы, действующие на y_n , находим, что ядра этих операторов совпадают, откуда следует, что они отличаются на скалярный множитель. Сравнение коэффициентов при $y_n^{(n)}$ приводит к равенству $\langle y_0, \dots, y_{n-1} \rangle = y_0 \langle A(y_1), \dots, A(y_{n-1}) \rangle$, что позволяет доказать утверждение по индукции. ■

Переход от потенциала u_j к u_{j+1} осуществляется при помощи преобразования Дарбу с матрицей W_j вида (1.12), где, согласно свойству 2) Теоремы 4.1, следует выбрать

$$f_j = -\psi'_{j,j}/\psi_{j,j}. \quad (4.7)$$

При этом, согласно свойству 1), $\psi_{j+1,i}$ определяются по формуле

$$\psi_{j+1,i} = \psi'_{j,i} + f_j \psi_{j,i} = A_j(\psi_{j,i}), \quad i > j. \quad (4.8)$$

(Чтобы получить $\psi_{j+1,j}$, следует применять A_j к ψ -функции, дополнительной к $\psi_{j,j}$, см. следующий метод.) Пользуясь Леммой 4.2, легко доказать формулы

$$\begin{aligned} \langle \psi_{0,0}, \dots, \psi_{0,j} \rangle &= \psi_{0,0} \dots \psi_{0,j}, \\ \langle \psi_{0,0}, \dots, \psi_{0,j}, \psi_{0,i} \rangle &= \psi_{0,0} \dots \psi_{0,j} \psi_{j+1,i}, \quad i > j. \end{aligned}$$

Введем обозначения

$$\Delta_{j+1} = \langle \psi_{0,0}, \dots, \psi_{0,j} \rangle, \quad \Delta_0 = 1, \quad (4.9)$$

$$\Delta_{j+1}(y) = \langle \psi_{0,0}, \dots, \psi_{0,j}, y \rangle, \quad \Delta_0(y) = y, \quad (4.10)$$

где y произвольная функция. Для волновых функций потенциала u_j имеем явные формулы

$$\psi_{j,i} = \Delta_j(\psi_{0,i})/\Delta_j, \quad i \geq j, \quad (4.11)$$

выражающие их через волновые функции потенциала u_0 . В частности, для функций f_j из (4.7) получаем

$$f_j = -D(\ln(\Delta_{j+1}/\Delta_j)). \quad (4.12)$$

Для потенциала u_j имеем, согласно (1.8),

$$u_j = u_0 + 2f'_0 + \dots + 2f'_{j-1},$$

следовательно

$$u_j = u_0 - 2D^2(\ln(\Delta_j)). \quad (4.13)$$

Формулы (4.7), (4.8) позволяют построить отрезок одевающей цепочки длиной, равной числу изначально известных функций $\psi_{0,i}$. Чтобы продолжить цепочку дальше, можно использовать следующий метод.

3) Горизонтальный метод похож на предыдущий, но отличается от него тем, что требует для своего осуществления всего лишь одну волновую функцию $\psi_{0,0}$ для потенциала u_0 . Цепочка, построенная по этому методу, не содержит параметров, так как все β_j равны β_0 .

Переход от потенциала u_j к u_{j+1} основан на попеременном применении свойств 1) и 2) Теоремы 4.1 и происходит по следующей схеме. Сначала по решению ψ_j находим, пользуясь свойством 2), $f_j = -\psi'_j/\psi_j$ и операторы A_j^+ , A_j . Сразу воспользоваться свойством 1) нельзя, так как $A_j(\psi_j) = 0$ ($W_j(\beta_0)\Psi_j = 0$ на матричном языке), поэтому необходимо найти второе линейно независимое решение φ уравнения (1.1) по формуле

$$\varphi = \psi \int_{x_0}^x \psi^{-2} dx. \quad (4.14)$$

Далее, применяя A_j и снова пользуясь формулой (4.14), строим фундаментальную систему решений

$$\psi_{j+1} = \psi_j^{-1}, \quad \varphi_{j+1} = \psi_j^{-1} \int_{x_0}^x \psi_j^2 dx$$

для уравнения Шредингера с потенциалом $u_{j+1} = u_j + 2f'_j$. Найденные ψ -функции можно изобразить на следующей диаграмме:

$$\begin{array}{ccc} \psi_j^{-1} \int_{x_0}^x \psi_j^2 dx = \varphi_{j+1} \bullet & \xrightarrow{A_j^+} & \bullet \psi_j \\ & \searrow A_j^+ & \swarrow A_j \\ & 0 & \\ \psi_j^{-1} = \psi_{j+1} \bullet & \xleftarrow{A_j} & \bullet \varphi_j = \psi_j \int_{x_0}^x \psi_j^{-2} dx \end{array}$$

Заметим, что повторение описанной процедуры приводит к преобразованию Дарбу с матрицей $W_j^+ = W_j(-f_j)$ и возвращает нас к исходному потенциалу u_j . Поэтому для получения нетривиального результата на следующем шаге следует использовать линейную комбинацию $c\psi_{j+1} + \varphi_{j+1}$. При этом получаем

$$u_{j+2} = u_j + 2f'_j + 2f'_{j+1} = u_j - 2D \left(\psi_j^2 \left(c + \int_{x_0}^x \psi_j^2 dx \right)^{-1} \right).$$

При помощи описанного метода в работе [2] были построены рациональные решения уравнения KdV. Однако для построения точно решаемых потенциалов он малоприменим, поскольку все происходит на одном и том же спектральном уровне $\lambda = \beta_0$. Тем не менее этот метод существенно усиливает предыдущие, позволяя продолжить процесс построения ψ -функций и соответствующих им потенциалов за границы треугольной области на рис. 4.1.

В заключение этого раздела рассмотрим вопрос о действии преобразований (2.1) на функции $\psi_{0,i}$. Из схемы построения одевающей цепочки вертикальным методом, то есть по формулам (4.12) видно, что результат не является единственным, так как зависит от нумерации волновых функций. Имеет место простое утверждение.

Утверждение 4.3. *Перенумерация волновых функций $\psi_{0,k} \leftrightarrow \psi_{0,k-1}$ приводит в терминах f_j , построенных по формулам (4.12), к преобразованию (2.1).*

Доказательство. Легко видеть, что при перестановке $\psi_{0,k}$ и $\psi_{0,k-1}$ выполняются равенства $\tilde{\Delta}_j = \pm \Delta_j$, $j \neq k$, откуда $\tilde{f}_j = f_j$ при $j \neq k, k-1$. Таким образом, при $j < k-1$ операторы A_j не меняются и, следовательно, ψ -функции, построенные по формуле (4.8) при $j \leq k-1$ преобразуются по правилу

$$\tilde{\psi}_{j,k-1} = \psi_{j,k}, \quad \tilde{\psi}_{j,k} = \psi_{j,k-1}.$$

Обозначим для краткости $\psi_{k-1,k-1} = y$, $\psi_{k-1,k} = p$, $w = yp' - y'p$. Выбирая в качестве основного набора ψ -функций вместо $\psi_{0,i}$ функции $\psi_{k-1,i}$ получаем, согласно (4.12),

$$f_{k-1} = -y'/y, \quad f_k = y'/y - w'/w.$$

После преобразования имеем $\tilde{y} = p$, $\tilde{p} = y$, $\tilde{w} = -w$ и

$$\tilde{f}_{k-1} = -p'/p, \quad \tilde{f}_k = p'/p - w'/w.$$

Учитывая равенство $w' = (\beta_{k-1} - \beta_k)yp$, легко получаем отсюда формулы (2.1). ■

5 Удаление собственных значений

До сих пор все выкладки носили формально-алгебраический характер. Более тонких рассуждений требует выяснение условий, при которых потенциалы, построенные из данного при помощи преобразований Дарбу, обладают нужными аналитическими свойствами, а функции (4.11) являются собственными функциями некоторой краевой задачи. Рассмотрим, например, потенциал $u = u_0 \in C^\infty(a, b)$ на конечном отрезке в виде ямы с асимптотической

$$u(x) \sim \alpha/(x-a)^2, \quad x \rightarrow a, \quad u(x) \sim \beta/(x-b)^2, \quad x \rightarrow b, \quad (5.1)$$

где $\alpha, \beta > 0$, и дополним уравнение (1.1) граничными условиями

$$\psi(a) = \psi(b) = 0. \quad (5.2)$$

Пусть $\lambda_0 < \lambda_1 < \dots$ собственные значения рассматриваемой краевой задачи, а φ_m собственная функция, отвечающая λ_m . В настоящем разделе, как и в работе Крама [12], в качестве исходных волновых функций используются только собственные функции. Положив $\psi_{0,j} = \varphi_{m_j}$ и пользуясь формулой (4.13), получим потенциал

$$\tilde{u} = u - 2D^2(\ln\langle \varphi_{m_0}, \dots, \varphi_{m_{n-1}} \rangle), \quad (5.3)$$

который, вообще говоря, может иметь особенность внутри (a, b) . Возникает вопрос, как следует выбирать m_j , чтобы потенциал \tilde{u} также представлял собой потенциальную яму на (a, b) , а функции (4.11) были его собственными. В [12, 14] показано, что если выбирать собственные функции подряд, начиная с нулевой, то есть $m_j = j$, то потенциал (5.3) будет регулярным. При этом функция $\tilde{\psi}_{n+s}$ построенная по формуле (4.10) будет его s -й собственной функцией, то есть спектр \tilde{u} получается из спектра u удалением собственных значений $\lambda_0, \dots, \lambda_{n-1}$. Оказывается, однако, что такой выбор далеко не единствен. Наша цель в этом разделе — доказать следующую основную теорему.

Теорема 5.1. *Пусть номера m_0, \dots, m_{n-1} , расположенные в порядке возрастания, образуют несколько отрезков натурального ряда*

$$0, \dots, M'_0; M_1, \dots, M'_1; \dots; M_s, \dots, M'_s, \quad M'_j < M_{j+1} - 1,$$

(первого отрезка может и не быть). Для регулярности потенциала (5.3) необходимо и достаточно, чтобы все отрезки M_j, \dots, M'_j , кроме отрезка $0, \dots, M'_0$, состояли из четного числа членов. При этом спектр \tilde{u} совпадает со спектром u , в котором вычеркнуты собственные значения $\lambda_{m_0}, \dots, \lambda_{m_{n-1}}$. ■

По индукции легко доказывается, что все функции f_j , построенные по формуле (4.7), имеют асимптотику вида

$$f(x) \sim \gamma/(x-a), \quad x \rightarrow a, \quad f(x) \sim \delta/(x-b), \quad x \rightarrow b, \quad (5.4)$$

потенциалы u_j асимптотику вида (5.1), а функции (4.11) удовлетворяют условию (5.2) и, кроме того, условию

$$\psi'(a) = \psi'(b) = 0. \quad (5.5)$$

Поэтому нужно выяснить лишь, при каких условиях потенциалы u_j будут регулярными в интервале (a, b) . Так как собственная функция основного состояния φ_0 не имеет нулей между a и b , то очевидно, что выбор $\psi_{0,0} = \varphi_0$ приведет к регулярному потенциалу

$$u_1 = u_0 - 2D^2(\ln \varphi_0). \quad (5.6)$$

Как мы увидим дальше, спектр u_1 получается из спектра u вычеркиванием λ_0 , откуда сразу следует, что все потенциалы

$$u_n = u_0 - 2D^2(\ln \langle \varphi_0, \dots, \varphi_{n-1} \rangle),$$

введенные в работе [12], регулярны. Это наблюдение еще не исчерпывает все возможности, которые, как видно из следующей леммы, можно расширить, отказавшись от требования, чтобы регулярными были все промежуточные потенциалы (4.13).

Лемма 5.2. *Функция $w = \varphi_m \varphi'_n - \varphi'_m \varphi_n$, $m < n$, сохраняет знак на (a, b) если и только если $n = m + 1$.*

Доказательство. Имеем

$$w' = \delta \varphi_m \varphi_n, \quad w'' = \delta(\varphi_m \varphi'_n + \varphi'_m \varphi_n), \quad \delta = \lambda_m - \lambda_n.$$

Пусть $x_1 < \dots < x_m$ нули φ_m , а $y_1 < \dots < y_n$ нули φ_n в интервале (a, b) . Очевидно

$$w'(x_i) = w'(y_j) = 0, \quad (5.7)$$

$$w''(x_i) = -\delta w(x_i), \quad (5.8)$$

$$w''(y_j) = \delta w(y_j). \quad (5.8)$$

Пусть сначала $n > m + 1$. Тогда найдутся 2 соседних нуля y_k, y_{k+1} функции φ_n , между которыми нет нулей φ_m , так что они одновременно будут соседними нулями w' . Так как нули w' , очевидно, простые, то $w''(y_k)$ и $w''(y_{k+1})$ имеют разные знаки. Из (5.8) видим, что w обращается в ноль на (y_k, y_{k+1}) .

Пусть теперь $n = m + 1$. Тогда нули x_i и y_j функции w' распределяются следующим образом:

$$y_1 < x_1 < y_2 < \dots < x_m < y_{m+1}.$$

Учитывая (5.7), (5.8), находим, что знак w во всех точках x_i, y_j один и тот же. Отсюда следует, что w не меняет знака на отрезке $[y_1, y_{m+1}]$, так как в противном случае w' имела бы кроме x_i и y_j еще и другие нули. При $x < y_1$ функция w' сохраняет знак, следовательно w монотонна и, так как $w(a) = 0$, то w не обращается в 0. Аналогично показывается, что w сохраняет знак и при $x > y_{m+1}$. ■

Теперь ясно, что выбор $\psi_{0,0} = \varphi_m$, $\psi_{0,1} = \varphi_{m+1}$ также приводит к регулярному потенциалу

$$u_2 = u_0 - 2D^2(\ln\langle\varphi_m, \varphi_{m+1}\rangle), \quad (5.9)$$

хотя промежуточный потенциал u_1 , вообще говоря, будет иметь особенность внутри интервала (a, b) .

Лемма 5.3. *Спектры потенциалов (5.6) и (5.9) совпадают со спектром потенциала u_0 , в котором вычеркнуты, соответственно, члены λ_0 и λ_m , λ_{m+1} .*

Доказательство. Учитывая формулы (5.4), (5.5) и действуя на собственные функции потенциалов (5.6) или (5.9) оператором A_0^+ , (соответственно $A_0^+ A_1^+$), убеждаемся, что новых собственных значений не добавляется. Аналогично, действуя операторами A_0 и $A_1 A_0$ на собственные функции потенциала q , получаем, что при $\lambda \neq \lambda_0$, (соответственно $\lambda \neq \lambda_m, \lambda_{m+1}$) собственные значения сохраняются.

Покажем, что спектр потенциала (5.6) не содержит λ_0 . Действительно, согласно формуле (4.11) потенциал u_1 имеет собственную функцию $\psi_{1,1} = \langle\varphi_0, \varphi_1\rangle/\varphi_0$, отвечающую собственному значению λ_1 . В силу Леммы 5.2 она не имеет нулей, следовательно λ_1 — наименьшее собственное значение u_1 .

Покажем теперь, что λ_m и λ_{m+1} не являются собственными значениями потенциала (5.9). Для этого рассмотрим потенциал u_2 , построенный при помощи функций φ_{m-1}, φ_m и потенциал u_4 , построенный при помощи собственных функций $\tilde{\varphi}_{2,m+1}, \tilde{\varphi}_{2,m+2}$ потенциала \tilde{u}_2 . Они регулярны, так как получаются в результате двукратного применения формулы (5.9). С другой стороны, u_4 можно построить и по собственным функциям $\varphi_{2,m-1}, \varphi_{2,m+2}$ потенциала u_2 . В силу Леммы 5.2 отсюда вытекает, что эти функции отвечают соседним собственным значениям u_2 , то есть между λ_{m-1} и λ_{m+2} собственных значений нет. ■

Теперь мы можем доказать основную теорему.

Доказательство. Достаточность) Очевидно, что если m_j удовлетворяют условию теоремы, то потенциал \tilde{u} можно построить за несколько шагов вида (5.6) или (5.9). Это обеспечивает его регулярность и доказывает утверждение о спектре.

Необходимость) Допустим, что m_j не удовлетворяют условию теоремы, но потенциал \tilde{u} регулярен. Пусть отрезок M_l, \dots, M'_l самый правый в натуральном ряду, состоящий из нечетного числа членов. Будем строить новые регулярные потенциалы по формуле (5.6), начиная с \tilde{u} . Через несколько шагов все отрезки левее M_l, \dots, M'_l сольются в один, и мы придем к потенциалу \tilde{u} , построенному по функциям φ_m с номерами

$$0, \dots, M'_{l-1}; M_l, \dots, M'_l; M_{l+1}, \dots, M'_{l+1}; \dots$$

Потенциал \hat{u} , построенный по этим же функциям, кроме $\varphi_{M'_l}$, удовлетворяет условию теоремы и, по доказанному, регулярен. Так как $\tilde{\varphi}_{M'_l}$ не есть его основное состояние, то потенциал

$$\bar{u} = \hat{u} - 2D^2(\ln \tilde{\varphi}_{M'_l}),$$

не может быть регулярным. Полученное противоречие завершает доказательство. ■

Так как введенные выше потенциалы имеют особенности на концах отрезка (a, b) , то полнота системы их собственных функций нуждается в обосновании. Очевидно, для этого достаточно, чтобы полнота имела место для исходного потенциала u и потенциалов (5.6), (5.9), после чего утверждение получается по индукции. Индуктивный переход к потенциалу (5.6) обоснован в работе [12]; мы воспроизведем его, так как для потенциала (5.9) доказательство основано на той же идее, хотя технически немного сложнее.

Утверждение 5.4. Пусть система собственных функций φ_j потенциала u полна в $L^2(a, b)$, тогда собственные функции $\tilde{\varphi}_j$ потенциала (5.6) или (5.9) также образуют полную систему.

Доказательство. Пусть $f \in L^2(a, b)$, а g гладкая функция на (a, b) , такая что $\|f - g\|^2 < \varepsilon$ и $g(x) = 0$ при $a < x < a + \delta$, $b - \delta < x < b$. Очевидно, достаточно показать, что g можно приблизить отрезком ряда $\sum_0^\infty C_s \tilde{\varphi}_s$ с произвольной точностью.

Случай потенциала (5.6). Пусть

$$h = -A_0^+ g = g' + \varphi_0' g / \varphi_0, \quad \varphi_0 h = (\varphi_0 g)'$$

Очевидно, $\int_a^b \varphi_0 h d\xi = \varphi_0 g|_a^b = 0$, поэтому приближение h функциями φ_j имеет вид $h = \sum_1^N c_s \varphi_s + \eta$, $\|\eta\|^2 < \varepsilon$. Так как

$$(\varphi_i \varphi_j' - \varphi_i' \varphi_j)' = (\lambda_i - \lambda_j) \varphi_i \varphi_j,$$

то

$$\int_a^x \varphi_0 \varphi_s d\xi = \frac{1}{\lambda_0 - \lambda_s} (\varphi_0 \varphi_s' - \varphi_0' \varphi_s) = \frac{1}{\lambda_0 - \lambda_s} \varphi_0 \tilde{\varphi}_s,$$

где $\tilde{\varphi}_s = A_0 \varphi_s$, $s \neq 0$, есть собственные функции потенциала u_1 . Следовательно

$$\varphi_0 g = \int_a^x \varphi_0 h d\xi = \sum_1^N c_s \int_a^x \varphi_0 \varphi_s d\xi + \int_a^x \varphi_0 \eta d\xi = \sum_1^N C_s \tilde{\varphi}_s + \zeta,$$

где $C_s = c_s / (\lambda_0 - \lambda_s)$,

$$\zeta = \frac{1}{\varphi_0} \int_a^x \varphi_0 \eta d\xi = -\frac{1}{\varphi_0} \int_x^b \varphi_0 \eta d\xi. \quad (5.10)$$

В силу соотношений (5.4) выполняются оценки

$$\int_a^x \varphi_0^2 d\xi = o(\varphi_0^2), \quad x \rightarrow a, \quad \int_x^b \varphi_0^2 d\xi = o(\varphi_0^2), \quad x \rightarrow b. \quad (5.11)$$

(Действительно, $2 \lim_{x \rightarrow a} \int_a^x \varphi_0^2 d\xi / \varphi_0^2 = \lim_{x \rightarrow a} \varphi_0 / \varphi_0' = \lim_{x \rightarrow a} 1/f_0 = 0$.) Пользуясь неравенством Шварца, из (5.10) и (5.11) получаем

$$\zeta < M \int_a^b \eta^2 d\xi < M\varepsilon \Rightarrow \int_a^b \zeta^2 d\xi < \widetilde{M}\varepsilon,$$

и индуктивный переход в этом случае обоснован.

Случай потенциала (5.9). Рассмотрим оператор

$$\begin{aligned} A &= A_{m+1}A_m = \left(D - \left(\ln \frac{w}{\varphi_m}\right)'\right) \left(D - (\ln \varphi_m)'\right) = \\ &= \left(D - \left(\ln \frac{w}{\varphi_{m+1}}\right)'\right) \left(D - (\ln \varphi_{m+1})'\right), \end{aligned}$$

где $w = \langle \varphi_m, \varphi_{m+1} \rangle$. Пусть $h = A^+(g)$. Имеем

$$\varphi_m h = \left(\frac{\varphi_m^2}{w} \left(\frac{w}{\varphi_m} g\right)'\right)', \quad \varphi_{m+1} h = \left(\frac{\varphi_{m+1}^2}{w} \left(\frac{w}{\varphi_{m+1}} g\right)'\right)',$$

откуда

$$\begin{aligned} P &= \int_a^x \varphi_m h d\xi = \varphi_m g' + \left(\varphi_m \frac{w'}{w} - \varphi_m'\right)g, \\ Q &= \int_a^x \varphi_{m+1} h d\xi = \varphi_{m+1} g' + \left(\varphi_{m+1} \frac{w'}{w} - \varphi_{m+1}'\right)g. \end{aligned}$$

Из последних двух равенств находим

$$wg = \varphi_{m+1}P - \varphi_m Q. \quad (5.12)$$

Рассмотрим приближение h функциями φ_j :

$$h = \sum_{\substack{s=0 \\ s \neq m, m+1}}^n c_s \varphi_s + \eta, \quad \|\eta\|^2 < \varepsilon.$$

Для P получаем формулу

$$P = \sum c_s \int_a^x \varphi_m \varphi_s d\xi + \int_a^x \varphi_m \eta d\xi = \sum \frac{c_s}{\lambda_m - \lambda_s} (\varphi_m \varphi_s' - \varphi_m' \varphi_s) + \int_a^x \varphi_m \eta d\xi$$

и аналогично

$$Q = \sum \frac{c_s}{\lambda_{m+1} - \lambda_s} (\varphi_{m+1} \varphi_s' - \varphi_{m+1}' \varphi_s) + \int_a^x \varphi_{m+1} \eta d\xi.$$

Нетрудно убедиться, что собственные функции $\tilde{\varphi}_s = A\varphi_s$, $s \neq m, m+1$, потенциала (5.9) равны

$$\tilde{\varphi}_s = ((\lambda_m \varphi_m \varphi_{m+1}' - \lambda_{m+1} \varphi_m' \varphi_{m+1})/w - \lambda_s) \varphi_s - \frac{w'}{w} \varphi_s'.$$

С учетом этой формулы, подстановка выражений для P и Q в формулу (5.12) дает

$$g = \sum_{\substack{s=0 \\ s \neq m, m+1}}^N C_s \tilde{\varphi}_s + \zeta,$$

где $C_s = c_s / (\lambda_m - \lambda_s)(\lambda_{m+1} - \lambda_s)$,

$$\zeta = \left(\varphi_{m+1} \int_a^x \varphi_m \eta d\xi - \varphi_m \int_a^x \varphi_{m+1} \eta d\xi \right) / w.$$

Нормируем функции φ_j так, что $\varphi_j = (x-a)^p + O((x-a)^{p+1})$, $x \rightarrow a$ (где p зависит от a в формуле (5.4)), тогда $w = O((x-a)^{2p+1})$. Перепишав формулу для ζ в виде

$$\zeta = \frac{1}{2w} \left((\varphi_{m+1} - \varphi_m) \int_a^x (\varphi_{m+1} + \varphi_m) \eta d\xi - (\varphi_{m+1} + \varphi_m) \int_a^x (\varphi_{m+1} - \varphi_m) \eta d\xi \right),$$

имеем при $x \rightarrow a$ оценку

$$\begin{aligned} \zeta^2 &< \frac{1}{2w^2} \left((\varphi_{m+1} - \varphi_m)^2 \int_a^x (\varphi_{m+1} + \varphi_m)^2 d\xi + \right. \\ &\quad \left. + (\varphi_{m+1} + \varphi_m)^2 \int_a^x (\varphi_{m+1} - \varphi_m)^2 d\xi \right) \int_a^b \eta^2 d\xi = O(x-a)\varepsilon. \end{aligned}$$

Аналогичная оценка выполняется при $x \rightarrow b$, следовательно

$$\zeta^2 < M\varepsilon, \quad \int_a^b \zeta^2 d\xi < \tilde{M}\varepsilon,$$

и утверждение доказано. ■

Для примера выясним, что можно получить, начиная с бесконечной прямоугольной ямы, то есть потенциала $u_0 = 0$ при $x \in (a, b) = (0, 2\pi)$. Легко убедиться, что Лемма 5.2 верна и в этом случае, хотя формула (5.4) и не выполняется. Удаление основного состояния по формуле (5.6) приводит к простейшему из потенциалов Пешля-Теллера [62], с. 102

$$u_1 = 2 / \sin^2 x.$$

Формула (5.9) приводит к потенциалу

$$u_2 = -2D^2 (\ln(\sin(2m+1)x - (2m+1)\sin x)).$$

Оба эти потенциала имеют асимптотику (5.4), следовательно процесс построения потенциалов можно продолжать дальше. Так мы получаем семейство потенциальных ям вида

$$u = -2D^2 (\ln(\sin(m_0+1)x, \sin(m_1+1)x, \dots, \sin(m_{n-1}+1)x)),$$

где m_j — целые неотрицательные числа, удовлетворяющие условию Теоремы 5.1. Спектр потенциала u состоит из последовательности $1, \dots, m^2, \dots$, из которой удалены члены $(m_j + 1)^2$.

Доказанные выше утверждения практически без изменений переносятся на случаи оси и полуоси, в предположении, что $u(x) \rightarrow +\infty$, $x \rightarrow \infty$. Рассмотрим второй классический пример — гармонический осциллятор с потенциалом $u_0 = \frac{1}{4}x^2 - \frac{1}{2}$ и собственными функциями $\varphi_m = \exp(-\frac{x^2}{4})H_m(\frac{x}{\sqrt{2}})$, где

$$H_m(x) = \exp(x^2)(-D)^m \exp(-x^2) \quad (5.13)$$

полиномы Эрмита. Новые потенциалы имеют вид

$$u = \frac{1}{4}x^2 + n - \frac{1}{2} - 2D^2 \left(\ln \langle H_{m_0}(x/\sqrt{2}), \dots, H_{m_{n-1}}(x/\sqrt{2}) \rangle \right), \quad (5.14)$$

где числа m_j должны удовлетворять условию Теоремы 5.1. Спектр потенциала (5.14) состоит из последовательности $0, 1, 2, 3, \dots$, из которой вычеркнуты члены m_j . Как отмечено в [12], применение формулы (5.6) (то есть выбор $m_j = j$) приводит лишь к прибавлению константы и не дает ничего нового. Таким образом, все нетривиальные потенциалы получаются в данном случае при помощи формулы (5.9). Простейший пример — потенциал

$$\begin{aligned} u &= \frac{1}{4}x^2 + \frac{3}{2} - 2D^2 (\ln \langle H_1(x/\sqrt{2}), H_2(x/\sqrt{2}) \rangle) = \\ &= \frac{1}{4}x^2 + \frac{3}{2} + \frac{4}{x^2 + 1} - \frac{8}{(x^2 + 1)^2}, \end{aligned}$$

недавно подробно изучавшийся в работе [52].

Очевидное решение цепочки (1.10) $f_j = x/2$, $\beta_j = j$ отвечает выбору собственных функций гармонического осциллятора подряд: $\psi_{0,j} = \varphi_j$. Применяя преобразования (2.1), мы можем произвольно менять их порядок и, следовательно, находить потенциалы (5.14) чисто алгебраическим путем.

2 Уравнения Пенлеве P_4 и P_5

Эта глава посвящена разработке теории 4-го и 5-го уравнений Пенлеве на основе одевающей цепочки. Хотя полученные результаты, касающиеся этих уравнений, в основном уже известны из работ Громака и Лукашевича, мы воспроизводим их с целью продемонстрировать удобство цепочечного аппарата. В разделе 6 кратко излагается подход к P_4 , P_5 и их высшим аналогам из работы [45]. В разделах 7, 10 показано, как автопреобразования цепочки приводят к преобразованиям Шлезингера для этих уравнений. В разделах 8, 9 изучаются рациональные решения P_4 . При помощи результатов разделов 4, 5 удается выяснить, при каких значениях параметров эти решения регулярны на вещественной оси.

6 Спектральная теория 4-го и 5-го трансцендентов Пенлеве

В этом разделе воспроизводится подход Веселова и Шабата [45], позволивший установить новый любопытный класс точно решаемых операторов Шредингера $-D^2 + u$ со спектром вида

$$m\alpha, \beta_1 + m\alpha, \dots, \beta_{N-1} + m\alpha, \quad m = 0, 1, 2, \dots, \quad \alpha > 0.$$

Как и для гармонического осциллятора ($N = 1$, $u = x^2$), в общем случае построение собственных функций осуществляется при помощи операторов рождения–уничтожения (4.3), но при $N \geq 3$ требует, вообще говоря, введения некоторой трансцендентной функции. На одевающую цепочку (1.10) накладывается требование инвариантности относительно комбинации $S^N K_\alpha$ сдвига и калибровочного преобразования, что приводит к условию периодического замыкания

$$f_{j+N} = f_j, \quad \beta_{j+N} = \beta_j + \alpha. \quad (6.1)$$

При этом цепочка (1.10) сводится к динамической системе

$$f'_j + f'_{j-1} = f_j^2 - f_{j-1}^2 + \alpha_j, \quad j \in \mathbb{Z}_N \quad (6.2)$$

где обозначено $\alpha_j = \beta_j - \beta_{j-1}$. При $N = 3, 4$ эта система эквивалентна уравнениям Пенлеве P_4 и P_5 соответственно [41, 45]. С каждым ее решением связан набор операторов Шредингера $L_j = -D^2 + u_j$, где

$$u_j = f_j^2 - f'_j, \quad (6.3)$$

причем операторы A_{j-1}, A_j^+ переводят волновые функции оператора L_j в волновые функции операторов L_{j-1}, L_{j+1} соответственно. При помощи (4.4) легко показать, что оператор $\widehat{A}_j = A_{j+N-1} \dots A_j$ удовлетворяет уравнению

$$[\widehat{A}_j, L_j] = \alpha \widehat{A}_j \quad (6.4)$$

(ср. [16]). Используя в качестве затравочных волновые функции

$$\varphi_j = \exp\left(-\int f_j dx\right),$$

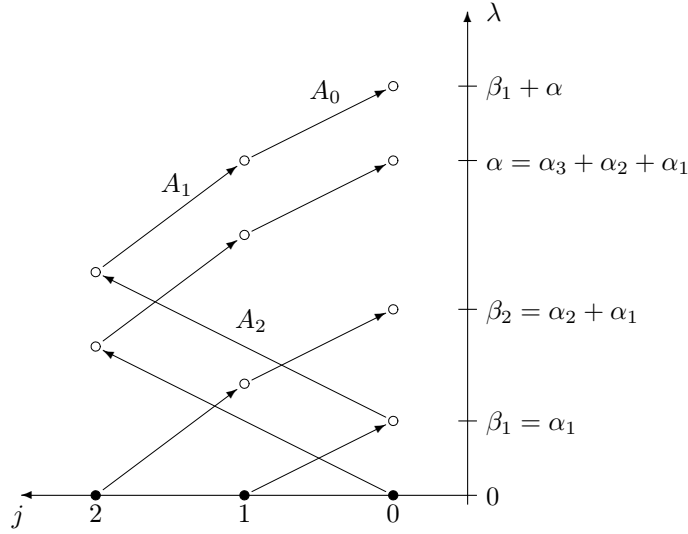


Рис. 6.1: Начало процесса построения ψ -функций операторов L_0, L_1, L_2 . На оси λ отмечены собственные значения L_0 .

и действуя на них операторами A , можно построить волновые функции для всего спектра. Очевидно, приведенная схема является примером применения диагонального метода из раздела 4, с тем лишь отличием, что, как видно из сравнения формул (1.13) и (6.3), потенциалы u_j отнормированы сдвигом на константу так, чтобы волновые функции φ_j соответствовали собственному значению $\lambda = 0$. С учетом этого различия и условия периодичности рис. 4.1 следует заменить на рис. 6.1, где для наглядности взято $N = 3$ и предполагается, что все $\alpha_j > 0$.

Поскольку сам потенциал u_j также выражается через f_j , его аналитические свойства а priori не известны. Поэтому для обоснования метода необходимо выяснить, при каких условиях построенный потенциал будет регулярным, а φ_j — его собственной функцией. В разделе 9 эта задача решается для весьма специального, но достаточно интересного класса рациональных решений P_4 , приводящих к потенциалам вида (5.14).

Связь между системой (6.2) при $N = 3, 4$ и уравнениями P_4 и P_5 устанавливается соответственно в разделах 7 и 10. Понятно, что не теряя общности можно положить

$$\sum f_j = \alpha x/2. \quad (6.5)$$

Кроме того, масштабное преобразование (2.5) позволяет превратить параметр $\alpha = \alpha_1 + \dots + \alpha_N$ в произвольную отличную от 0 константу.

7 Групповые свойства P_4

Рассмотрим сначала случай $N = 3$. Удобно перейти от f_j к переменным

$$g_j = f_j + f_{j-1} = \alpha x/2 - f_{j+1}. \quad (7.1)$$

При этом система (6.2), (6.5) принимает вид

$$g'_j = g_j(g_{j+1} - g_{j-1}) + \alpha_j, \quad j \in \mathbb{Z}_3, \quad (7.2)$$

$$g_0 + g_1 + g_2 = \alpha x, \quad \alpha > 0. \quad (7.3)$$

Полагая

$$y(x) = -qg_0(qx), \quad q = \sqrt{2/\alpha}, \quad (7.4)$$

и исключая лишние переменные, находим, что y удовлетворяет P_4

$$y'' = \frac{(y')^2}{2y} + \frac{3}{2}y^3 + 4xy^2 + 2(x^2 - a)y + \frac{b}{y} \quad (7.5)$$

где

$$a = \frac{\alpha_2 - \alpha_1}{\alpha}, \quad b = -2\frac{\alpha_0^2}{\alpha^2} \quad (7.6)$$

Перейдем теперь к изучению дискретной группы G , действующей на множестве систем вида (7.2), (7.3). Прежде всего, в нее входят преобразования B_j (3.13) (строго говоря, их комбинации (2.4)). Сдвиг (2.6) приводит к преобразованию

$$S: \quad \tilde{g}_j = g_{j+1}, \quad \alpha_j = \alpha_{j+1}. \quad (7.7)$$

Отражения (2.7) меняют знак параметра α , поэтому, чтобы сохранить нормировку (7.3), приходится рассматривать их комбинацию с масштабным преобразованием. Преобразование $X_k = T_{-i}R_{2k-1}$ имеет вид

$$X_k: \quad \begin{cases} \tilde{g}_k(x) = ig_k(-ix), & \tilde{g}_{k\pm 1}(x) = ig_{k\mp 1}(-ix), \\ \tilde{\alpha}_k = \alpha_k, & \tilde{\alpha}_{k\pm 1} = \alpha_{k\mp 1}. \end{cases} \quad (7.8)$$

Легко проверяется, что подгруппа G , порожденная X_j , конечна, а подгруппа, порожденная B_j , изоморфна бесконечной группе Кокстера \tilde{A}_2 .

Ясно, что перечисленные преобразования можно переписать и в терминах уравнения (7.5). Например, S и B_1 дают соответственно дифференциальные подстановки

$$\tilde{y} = -\frac{y' + y^2 + 2xy + 2\alpha_0/\alpha}{2y}, \quad (7.9)$$

$$\tilde{y} = y + \frac{4\alpha_1 y/\alpha}{y' + y^2 + 2xy + 2\alpha_0/\alpha}$$

из одного P_4 в другое. (При этом коэффициенты a и b пересчитываются согласно соотношениям (7.6).) Подстановка (7.9) впервые была найдена в работе [54].

Важно отметить, что соответствие между множеством уравнений P_4 и множеством систем (7.2), (7.3) не является взаимно-однозначным: данному уравнению P_4 соответствует, вообще говоря, 2 системы, различающиеся выбором знака в формуле $\alpha_0 = \pm\alpha\sqrt{-b/2}$. Эти 2 системы связаны преобразованием B_0 , которое на уравнении (7.5) действует тождественно. Данное явление называется “склеивкой параметров” [51] и встречается также при рассмотрении других уравнений Пенлеве. Благодаря этому наблюдению при построении решений P_4 можно ограничиться подстановкой (7.9) и заменой $\tilde{y}(x) = iy(-ix)$, эквивалентной преобразованию X_0 . Несмотря на

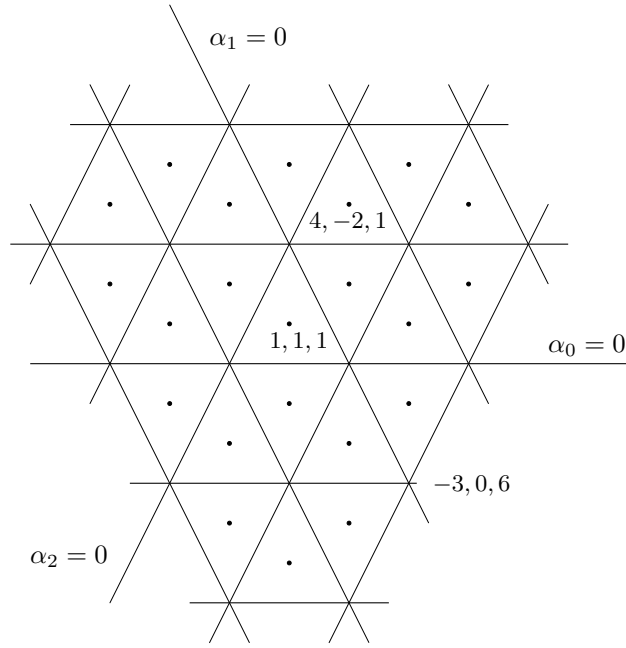


Рис. 7.1: Плоскость параметров и барицентрические координаты центров и вершин ячеек $\Delta_{l,m,n}$

то, что систем (7.2), по сравнению с уравнениями (7.5), в 2 раза больше, удобнее работать именно с ними, благодаря более простому виду как их самих, так и их дискретных преобразований. В пользу этого выбора говорит также наличие у системы (7.2) высших аналогов — систем (6.2) при $N > 3$.

Рассмотрим действие G на α_j . Прямые $\alpha_j = 0$ высекают на плоскости $\sum \operatorname{Re} \alpha_j = \alpha$ фундаментальную область $\Delta_{1,1,1}$ подгруппы \tilde{A}_2 , а их образы разбивают плоскость на треугольники $\Delta_{l,m,n}$ где $\frac{\alpha}{3}(l, m, n)$ — координаты центра треугольника, $l + m + n = 3$, $l \equiv m \equiv n \not\equiv 0 \pmod{3}$. Действие B_k есть отражение относительно прямой $\alpha_k = 0$, S — поворот на $2\pi/3$, X_k — отражение, переводящее прямые $\alpha_{k+1} = 0$, $\alpha_{k-1} = 0$ друг в друга. Очевидно, что все преобразования из G действуют на множестве треугольников $\Delta_{l,m,n}$. В качестве фундаментальной области всей группы G можно взять какой-либо из 6 треугольников, высекаемых медианами треугольника $\Delta_{1,1,1}$. Иными словами, зная решения системы (7.2), (7.3) в области

$$0 \leq \operatorname{Re} \alpha_0 \leq \operatorname{Re} \alpha_1 \leq \operatorname{Re} \alpha_2,$$

можно построить решения при любых α_j .

При $\alpha_0 = 0$ система (7.2), (7.3) обладает 1-параметрическим семейством решений, которые выражаются через функции Эрмита. Действительно, считая для удобства $\alpha = 2$ и полагая $g_0 = 0$, $g_2 = 2x - g_1$, находим, что $g_1 = y'/y$, где y удовлетворяет уравнению Эрмита

$$y'' - 2xy' - \alpha_1 y = 0.$$

Применяя преобразования из G , убеждаемся, что при значениях параметров, соответствующих прямым на рис. 7.1, система (7.2), (7.3) имеет частные решения, выражающиеся через функции Эрмита. В частности, узлам треугольной решетки соответствуют полиномы Эрмита и рациональные g_j . Оказывается, что, кроме того, рациональные решения существуют и для параметров, отвечающих центрам треугольных ячеек. Рациональные решения P_4 и условия, при которых они существуют, изучались в работах [5, 50, 51, 54]. В следующих двух разделах мы воспроизведем эти результаты в терминах системы (7.2), (7.3).

8 Рациональные решения P_4

При некоторых значениях параметров α_j система (7.2), (7.3) обладает рациональными решениями, например

$$g_j = \alpha x/3, \quad \alpha_j = \alpha/3, \quad j = 0, 1, 2, \quad (8.1)$$

$$g_0 = \alpha x, \quad g_1 = g_2 = 0, \quad \alpha_0 = \alpha, \quad \alpha_1 = \alpha_2 = 0. \quad (8.2)$$

Оказывается, что все рациональные решения получаются из этих двух под действием группы G . Для доказательства потребуются две легко проверяемые леммы, описывающие структуру решения в окрестности особых точек.

Лемма 8.1. *Лорановское разложение решения системы (7.2), (7.3) в окрестности полюса имеет вид*

$$g_l = -\alpha_l(x - x_0) + \dots, \quad g_{l\pm 1} = \pm(x - x_0)^{-1} + \frac{\alpha x_0}{2} + \dots, \quad (8.3)$$

где $l = 0, 1$ или 2 . ■

Следствие 8.2. *Любое рациональное решение системы (7.2), (7.3) и потенциалы u_j , связанные с ним по формулам (7.1), (6.3) имеют вид*

$$g_j = P_j + \frac{Q'_{j-1}}{Q_{j-1}} - \frac{Q'_{j+1}}{Q_{j+1}}, \quad (8.4)$$

$$u_j = R_j - 2D^2(\ln Q_j), \quad (8.5)$$

где P_j, Q_j, R_j некоторые полиномы, причем Q_j попарно взаимно просты и не имеют кратных нулей. ■

Если учесть, что уравнение P_4 не имеет конечных существенно особых точек, то очевидно также, что формулы (8.4), (8.5) верны для произвольного решения, с заменой полиномов на целые функции.

Лемма 8.3. *При любых α_j система (7.2), (7.3) допускает ровно 4 формальных решения в окрестности бесконечности. Одно из них имеет вид*

$$g_j = \alpha x/3 + (\alpha_{j+1} - \alpha_{j-1})/(\alpha x) + \\ + (\alpha_j \alpha_{j+1} - 2\alpha_{j+1} \alpha_{j-1} + \alpha_{j-1} \alpha_j - 4\alpha_j^2 + 2\alpha_{j+1}^2 + 2\alpha_{j-1}^2)/(\alpha x)^3 + \dots \quad (8.6)$$

где $j = 0, 1, 2$, а три других имеют вид

$$\begin{cases} g_{l-1} = -\alpha_{l-1}/(\alpha x) + \alpha_{l-1}(2\alpha_{l-1} + \alpha_l - \alpha_{l+1})/(\alpha x)^3 + \dots \\ g_l = \alpha x + (\alpha_{l-1} - \alpha_{l+1})/(\alpha x) + \dots \\ g_{l+1} = \alpha_{l+1}/(\alpha x) + \alpha_{l+1}(2\alpha_{l+1} + \alpha_l - \alpha_{l-1})/(\alpha x)^3 + \dots \end{cases} \quad (8.7)$$

где $l = 0, 1$ или 2 , причем в каждом из 4 случаев все коэффициенты определяются однозначно. \blacksquare

Пусть g_0, g_1, g_2 — рациональное решение системы (7.2), (7.3). Тогда g_j разложимы в окрестности бесконечности в ряд Лорана и следовательно совпадают с одним из разложений (8.6) или (8.7). Для получения ограничений на коэффициенты α_j , необходимых для существования рационального решения, воспользуемся формулами

$$\operatorname{res}_{\infty} g_j = \deg Q_{j+1} - \deg Q_{j-1}, \quad (8.8)$$

$$\deg Q_j = \frac{1}{2} \operatorname{res}_{\infty} \int u_j dx,$$

вытекающими из формул (8.4), (8.5). Пользуясь формулами (7.1), (6.3), последнюю формулу можно переписать в виде

$$\deg Q_j = -\operatorname{res}_{\infty} \int g_{j-1} g_{j+1} dx. \quad (8.9)$$

Теперь мы можем доказать теорему о существовании и единственности рациональных решений.

Теорема 8.4. Система (7.2), (7.3) имеет рациональное решение если и только если

$$\alpha_j = \frac{\alpha}{3} n_j, \quad n_j \in \mathbb{Z}, \quad n_0 + n_1 + n_2 = 3, \quad n_0 \equiv n_1 \equiv n_2 \pmod{3} \quad (8.10)$$

(т.е. $(\alpha_0, \alpha_1, \alpha_2)$ лежит либо в центре, либо на вершине одного из треугольников $\Delta_{l,m,n}$), причем это решение единственно.

Доказательство. 1) *Достаточность.* Действуя группой G на решения (8.1), (8.2) можно получить решения для всех таких α_j . Действительно, G транзитивно действует на множествах центров и вершин треугольников $\Delta_{l,m,n}$.

2) *Необходимость.* Пусть g_j рациональное решение. Из формулы (8.8) видим, что коэффициенты при x^{-1} в разложениях (8.6), (8.7) должны быть целыми. Отсюда легко показать, что во всех четырех случаях должно выполняться условие (8.10).

3) *Единственность.* Для центров треугольников, то есть точек вида $\alpha_j = \frac{\alpha}{3} n_j$, $n_0 \equiv n_1 \equiv n_2 \not\equiv 0 \pmod{3}$, единственность очевидна, так как разложения вида (8.7) в силу (8.8) невозможны.

Рассмотрим точки $\alpha_j = \alpha n_j$, $n_j \in \mathbb{Z}$. Так как преобразования из G рациональны, доказательство сводится к случаю $\alpha_0 = \alpha$, $\alpha_1 = \alpha_2 = 0$. Здесь кроме решения (8.2), соответствующего разложению (8.7) при $l = 0$, имеется еще 3 формальных решения.

Разложение (8.7) при $l = 1$ дает

$$g_1 = \alpha x + \frac{1}{x} + \dots, \quad g_2 = 0.$$

Допустив, что оно представляет рациональное решение, получаем $Q_0 = 0$ и, пользуясь формулой (8.8), приходим к противоречию:

$$-1 = \operatorname{res}_{\infty} g_1 = \deg Q_2 \geq 0.$$

Аналогично, при $l = 2$ имеем

$$g_2 = \alpha x - \frac{1}{x} + \dots, \quad g_1 = 0,$$

откуда $Q_0 = 0$ и $1 = \operatorname{res} g_2 = -\deg Q_1 \leq 0$ — противоречие.

Рассмотрим, наконец, разложение (8.6). Имеем

$$g_0 = \frac{\alpha}{3}x - \frac{4}{\alpha x^3} + \dots, \quad g_1 = \frac{\alpha}{3}x - \frac{1}{x} + \frac{2}{\alpha x^3} + \dots,$$

откуда

$$\deg Q_2 = -\operatorname{res}_{\infty} \int g_0 g_1 dx = -\frac{2}{3}.$$

Полученное противоречие завершает доказательство. ■

Замечание. Возникает вопрос, какие решения соответствуют формальным разложениям (8.6), (8.7) в общем случае. Допустим, что какой-то из рядов сходится в окрестности бесконечности. Тогда все особые точки g_j лежат в ограниченной области и, так как P_4 не имеет существенно особых точек, то их конечное число. Следовательно, мы получаем рациональное решение. Итак, значения α_j (8.10) — единственные случаи, когда ряды (8.6) или (8.7) сходятся.

Следствие 8.5. *Уравнение P_4 имеет рациональное решение если и только если его параметры a и b удовлетворяют условию*

$$b = -\frac{2}{9}(3a + 6t + s)^2, \quad a, t \in \mathbb{Z}, \quad s = 1, 3. \quad \blacksquare$$

Вопрос о числе полюсов рациональных решений, очевидно, сводится к определению степеней полиномов Q_j . Сначала рассмотрим вершины треугольников. Имеет место

Теорема 8.6. *Пусть g_j рациональное решение, отвечающее набору*

$$\alpha_j = \alpha n_j, \quad n_0 + n_1 + n_2 = 1, \quad n_j \in \mathbb{Z}.$$

Определим номер l из условия

$$n_l = \min\{n_j : |n_j| = \max\{|n_j|\}\}. \quad (8.11)$$

Тогда полиномы P_j из разложения (8.4) есть

$$P_l = \alpha x, \quad P_{l \pm 1} = 0, \quad (8.12)$$

а полиномы Q_j имеют степени

$$\deg Q_l = n_{l-1}n_{l+1}, \quad \deg Q_{l \pm 1} = n_{l-1}n_{l+1} - n_{l \mp 1}. \quad (8.13)$$

Доказательство. Вычисляя g_j по формуле (8.7) и подставляя в формулу (8.9), получаем (8.13). Формула (8.12) следует непосредственно из (8.7). Осталось определить, чему равно l , то есть какое из трех разложений (8.7) представляет истинное решение. Это легко сделать из условия $\deg Q_j \geq 0$, при этом получаем (8.11). ■

Для центров треугольников аналогично доказывается

Теорема 8.7. Пусть g_j рациональное решение, отвечающее набору

$$\alpha_j = \frac{\alpha}{3}n_j, \quad n_0 + n_1 + n_2 = 3, \quad n_0 \equiv n_1 \equiv n_2 \not\equiv 0 \pmod{3}.$$

Тогда полиномы P_j из разложения (8.4) есть

$$P_j = \frac{\alpha}{3}x, \quad (8.14)$$

а полиномы Q_j имеют степени

$$\deg Q_j = \frac{1}{9}(n_{j-1}^2 + n_{j-1}n_{j+1} + n_{j+1}^2 - 3). \quad \blacksquare \quad (8.15)$$

Рассмотрим теперь отдельно рациональные решения соответствующие центрам треугольников $\Delta_{l,m,n}$.

9 Случай центров

В этом пункте мы для удобства полагаем $\alpha = 3$. Рассмотрим рациональные решения при

$$\alpha_j = n_j \in \mathbb{Z}, \quad n_0 + n_1 + n_2 = 3, \quad n_0 \equiv n_1 \equiv n_2 \not\equiv 0 \pmod{3}. \quad (9.1)$$

Преобразования B_k позволяют в принципе построить все такие решения, стартуя с решения (8.1), но эти преобразования удобны, в основном, лишь для численного счета. Для теоретического же исследования удобнее переписать преобразования B_k в терминах представления (8.4). Согласно Следствию 8.2 и Теореме 8.7, g_j имеют вид

$$g_j = x + Q'_{j-1}/Q_{j-1} - Q'_{j+1}/Q_{j+1}$$

где Q_j попарно взаимно простые полиномы без кратных нулей. Мы нормируем их, положив коэффициент при старшем члене равным 1. Кроме того, из Леммы 8.1 следует, что если $Q_l(x_0) = 0$, то $g_l(x_0) = 0$, откуда видно, что g_j можно записать также в виде

$$g_j = \frac{Y_j Q_j}{Q_{j-1} Q_{j+1}},$$

где полином Y_j взаимно прост с Q_1, Q_2, Q_3 . Рассмотрим преобразование B_k . Так как $\tilde{g}_k = g_k$, то $\tilde{Q}_{k\pm 1} = Q_{k\pm 1}$, а \tilde{Q}_k определим из соотношений

$$\begin{aligned} \tilde{g}_{k+1} = g_{k+1} + \frac{\alpha_k}{g_k} &\Rightarrow \frac{\tilde{Q}'_k}{\tilde{Q}_k} = \frac{Q'_k}{Q_k} + \frac{n_k Q_{k-1} Q_{k+1}}{Y_k Q_k} \Rightarrow \\ &\Rightarrow (\tilde{Q}'_k Q_k - \tilde{Q}_k Q'_k) Y_k = n_k Q_{k-1} Q_{k+1} \tilde{Q}_k. \end{aligned}$$

Так как полиномы Y_k и $Q_{k-1}Q_{k+1}$ взаимно просты, то $Q_{k-1}Q_{k+1}$ делит $\tilde{Q}'_k Q_k - \tilde{Q}_k Q'_k$. Пользуясь формулой (8.15), легко показать, что

$$\deg \tilde{Q}_k = \deg Q_k + nk, \quad \deg Q_{k-1} + \deg Q_{k+1} = 2 \deg Q_k + n_k - 1,$$

откуда получаем

$$\tilde{Q}'_k Q_k - \tilde{Q}_k Q'_k = n_k Q_{k-1} Q_{k+1}, \quad Y_k = \tilde{Q}_k.$$

Итак, собирая все вместе, находим, что B_k действует на полиномах Q_j следующим образом:

$$\tilde{Q}_{k\pm 1} = Q_{k\pm 1}, \quad \tilde{Q}_k = (xQ_{k-1}Q_{k+1} + Q'_{k-1}Q_{k+1} - Q_{k-1}Q'_{k+1})/Q_k. \quad (9.2)$$

Полиномиальность гарантирована построением.

Полученная формула гораздо более пригодна для практического вычисления рациональных решений, чем исходная формула (3.13). Приведем полиномы Q_j , получающиеся после нескольких первых шагов (в скобках указаны соответствующие коэффициенты α_j):

$$\begin{aligned} (1, 1, 1) : & \quad Q_0 = 1, \quad Q_1 = 1, \quad Q_2 = 1, \\ (-1, 2, 2) : & \quad Q_0 = x, \quad Q_1 = 1, \quad Q_2 = 1, \\ (1, -2, 4) : & \quad Q_0 = x, \quad Q_1 = x^2 + 1, \quad Q_2 = 1, \\ (5, 2, -4) : & \quad Q_0 = x, \quad Q_1 = x^2 + 1, \quad Q_2 = x^4 + 2x^2 - 1, \\ (-5, 7, 1) : & \quad Q_0 = x^6 + 5x^4 + 5x^2 + 5, \quad Q_1 = x^2 + 1, \quad Q_2 = x^4 + 2x^2 - 1, \\ (2, -7, 8) : & \quad Q_0 = x^6 + 5x^4 + 5x^2 + 5, \quad Q_1 = x^9 + 8x^7 + 14x^5 - 35x, \\ & \quad Q_2 = x^4 + 2x^2 - 1, \\ (10, 1, -8) : & \quad Q_0 = x^6 + 5x^4 + 5x^2 + 5, \quad Q_1 = x^9 + 8x^7 + 14x^5 - 35x, \\ & \quad Q_2 = x^{12} + 14x^{10} + 65x^8 + 140x^6 + 175x^4 + 350x^2 + 175, \\ (-10, 11, 2) : & \quad Q_0 = x^{16} + 20x^{14} + 140x^{12} + 420x^{10} + 350x^8 - \\ & \quad - 980x^6 - 4900x^4 - 4900x^2 + 1225, \quad \dots, \\ (7, 7, -11) : & \quad Q_0 = x^{10} - 5x^8 - 10x^6 + 50x^4 - 75x^2 - 25, \\ & \quad Q_1 = x^{10} + 5x^8 - 10x^6 - 50x^4 - 75x^2 + 25, \\ & \quad Q_2 = x^{16} - 60x^{12} + 550x^8 - 5500x^4 - 1375. \end{aligned}$$

Из приведенной таблицы видно, что, вообще говоря, может быть несколько различных полиномов Q_j одной и той же степени. С другой стороны, из (8.15) следует, что $\deg Q_j \not\equiv 3 \pmod{4}$, то есть в ряду степеней есть пропуски. По индукции легко доказывается, что все полиномы Q_j четны либо нечетны и имеют целые коэффициенты.

Мы видим также, что при некоторых наборах параметров α_j существуют Q_j , не имеющие вещественных корней, так что соответствующие им потенциалы (8.5) регулярны; если же положительными оказываются сразу два полинома Q_{j-1} и Q_{j+1} , то регулярной на вещественной оси будет функция g_j и соответствующее ей решение P_4 . Результаты 4-го раздела позволяют легко выделить эти случаи.

Действительно, применяя преобразования B_j в определенной последовательности, мы, очевидно, можем построить любое из рациональных решений, отвечающих параметрам (9.1), исходя из решения одевающей цепочки $f_j = x/2, b_j = j, j \geq 0$. Согласно замечанию в конце раздела 5, все рассматриваемые потенциалы имеют вид (5.14). Если потенциал u_0 регулярен, то, согласно разделу 5, его спектр имеет вид

$$3t, n_1 + 3t, n_1 + n_2 + 3t, \quad t = 0, 1, 2, \dots$$

Теорема 5.1 накладывает на числа n_1 и n_2 довольно жесткие ограничения. Элементарная проверка показывает, что верна следующая теорема.

Теорема 9.1. *Полином Q_0 , отвечающий параметрам (9.1), не имеет вещественных нулей (и следовательно потенциал (8.5) регулярен) если и только если n_1 и n_2 принимают одно из следующих значений:*

$$\begin{aligned} n_1 = 3s \pm 1, \quad n_2 = \pm 1; \quad n_1 = -3s \pm 1, \quad n_2 = 3s \mp 2; \\ n_1 = \pm 1, \quad n_2 = \mp 3s \pm 1, \end{aligned}$$

где $s \geq 0$ целое число. ■

На рис. 9.1 треугольники, центры которых удовлетворяют условию теоремы, помечены 0. Как видим, все они расположены вдоль 6 лучей, являющихся образами любого из них под действием преобразований B_1 и B_2 . Так как B_1 и B_2 компоненту Q_0 не меняют, то по существу имеется лишь одна серия регулярных потенциалов u_j . Их спектр имеет с точностью до сдвига вид

$$0, 3, 6, \dots, 3s, 3s + 1, 3s + 2, \dots$$

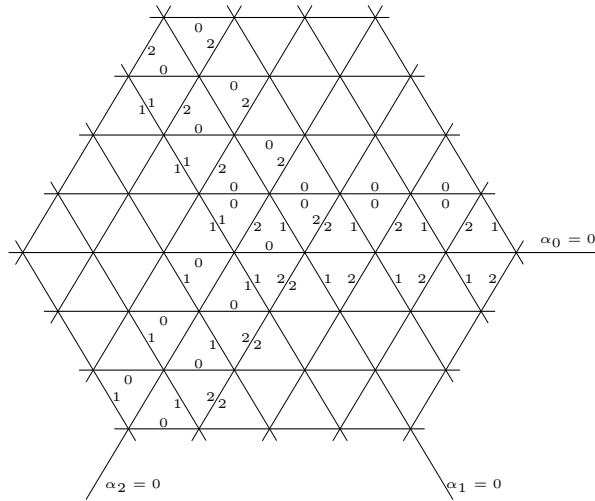


Рис. 9.1: Полином Q_j , соответствующий центру треугольника, содержащего число j , не имеет вещественных нулей.

Применяя преобразование S , находим, при каких значениях параметров не обращаются в ноль полиномы Q_1 и Q_2 (см. рис. 9.1). Это позволяет ответить на вопрос о регулярности g_j .

Теорема 9.2. Компонента g_0 рационального решения, отвечающего параметрам (9.1), регулярна на вещественной оси если и только если

$$n_0 = 1, \quad n_1 = 1 - 3s, \quad n_2 = 1 + 3s$$

либо

$$n_0 = -1, \quad n_1 = 2 - 3s, \quad n_2 = 2 + 3s,$$

где $s \geq 0$ целое число. ■

Иными словами, рациональное решение уравнения P_4 , отвечающее нецелым значениям b , не имеет вещественных полюсов, только если $b = -2/9$, $a \geq 0$.

10 Групповые свойства P_5

Рассмотрим теперь систему (6.2), (6.5) при $N = 4$:

$$\begin{aligned} f'_1 + f'_4 &= f_1^2 - f_4^2 + \alpha_1, & f'_2 + f'_1 &= f_2^2 - f_1^2 + \alpha_2, \\ f'_3 + f'_2 &= f_3^2 - f_2^2 + \alpha_3, & f'_4 + f'_3 &= f_4^2 - f_3^2 + \alpha_4, \end{aligned} \quad (10.1)$$

$$f_1 + f_2 + f_3 + f_4 = \frac{\alpha}{2}x. \quad (10.2)$$

Так как левые части уравнений (10.1) линейно зависимы, то мы не можем привести систему к нормальному виду, но зато получаем дополнительную связь

$$2(f_4^2 - f_3^2 + f_2^2 - f_1^2) = \alpha_1 - \alpha_2 + \alpha_3 - \alpha_4 = A. \quad (10.3)$$

Используя это соотношение и первый интеграл (10.2), можно понизить порядок системы до 2. Обозначим

$$g_2 = f_2 + f_1, \quad g_3 = f_3 + f_2, \quad p = f_2 - f_1,$$

тогда второе и третье уравнения системы запишутся, как

$$g'_2 = g_2 p + \alpha_2, \quad g'_3 = g_3(g_3 - g_2 - p) + \alpha_3,$$

а связь (10.3) примет вид

$$\alpha x p + (2g_2 - \alpha x)(2g_3 - \frac{\alpha}{2}x) = A.$$

Исключение p приводит в терминах переменных g_2 и $h = 2g_3 - \frac{\alpha}{2}x$ к системе

$$\begin{aligned} g'_2 &= \frac{g_2}{\alpha x} (A - h(2g_2 - \alpha x)) + \alpha_2, \\ h' &= \left(h + \frac{\alpha x}{2} \right) \left(\frac{2g_2 h - A}{\alpha x} - \frac{h}{2} + \frac{\alpha x}{4} - g_2 \right) + 2\alpha_3 - \frac{\alpha}{2}. \end{aligned}$$

Замена

$$g_2(x) = \frac{\alpha x}{2(1 - y(x^2))}, \quad xh(x) = z(x^2)$$

приводит ее к виду

$$\begin{aligned} y' &= \frac{\alpha_2 + \alpha_4}{\alpha x} (y - 1) - \frac{zy}{2x} + \frac{\alpha_2}{\alpha x} (y - 1)^2, \\ z' &= \left(\frac{\alpha^2 x}{16} - \frac{z^2}{4x} \right) \frac{y + 1}{y - 1} + \frac{\alpha_2 + \alpha_4}{\alpha x} z + \frac{\alpha_3 - \alpha_1}{2}. \end{aligned}$$

Исключая z , получаем после несложных вычислений, что y удовлетворяет 5-му уравнению Пенлеве

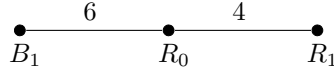
$$y'' = \left(\frac{1}{2y} + \frac{1}{y-1} \right) (y')^2 - \frac{y'}{x} + \frac{(y-1)^2}{x^2} \left(ay + \frac{b}{y} \right) + c \frac{y}{x} + d \frac{y(y+1)}{y-1}$$

коэффициенты которого выражаются через коэффициенты системы (10.1), (10.2) по формулам

$$a = \frac{\alpha_2^2}{2\alpha^2}, \quad b = -\frac{\alpha_4^2}{2\alpha^2}, \quad c = \frac{\alpha_1 - \alpha_3}{4}, \quad d = -\frac{\alpha^2}{32} \quad (10.4)$$

и подчиняются единственному ограничению $d \neq 0$. Оказывается, что случай $d = 0$ связан с преобразованиями Бэклунда для оператора Дирака; он будет рассмотрен отдельно в 22-м разделе.

Перейдем к изучению группы преобразований, действующих на уравнениях P_5 . Действие растяжений (2.5) очевидно, и мы не будем их рассматривать. Дискретная группа G , порожденная преобразованиями (2.1), (2.6), (2.7), является группой Кокстера с тремя образующими B_1, R_0, R_1 и графом



Аналогично случаю P_4 , преобразования B_j порождают бесконечную подгруппу конечного индекса, изоморфную группе Кокстера \tilde{A}_3 . Выгоды от использования системы (10.1) вместо уравнения P_5 в данном случае еще более очевидны. Действительно, можно проверить, например, что преобразования B_1 и R_0 приводят соответственно к уже достаточно громоздким дифференциальным подстановкам

$$\begin{aligned} \tilde{y} &= y + \frac{8\alpha_1 y(y-1)^2}{4\alpha x y' + \alpha^2 x y - 4(y-1)(\alpha_4 + (2\alpha_1 + \alpha_2)y)}, \\ \tilde{y} &= 1 + \frac{2\alpha^2 x y}{4\alpha x y' - \alpha^2 x y - 4(y-1)(\alpha_4 + \alpha_2 y)}. \end{aligned}$$

Преобразования S^2 и R_1 приводят к точечному преобразованию

$$\tilde{y} = \frac{1}{y}.$$

Преобразования Шлезингера для P_5 впервые были найдены в работе [49].

3 Принцип нелинейной суперпозиции как интегрируемое дискретное отображение

В первой главе было показано, что наличие у цепочки нетривиальной дискретной группы симметрий позволяет строить точные решения для нее, а также ассоциированных с ней интегрируемых уравнений в частных производных, то есть инфинитезимальных элементов непрерывной группы симметрий цепочки. В этой главе мы покажем, что, в свою очередь, наличие непрерывной группы приводит к интегрируемости дискретного отображения, возникающего из дискретной группы. Показывается также, что при некоторых дополнительных ограничениях это отображение допускает красивую геометрическую интерпретацию в виде задачи о перекройках многоугольника.

11 Интегрируемость по Лиувиллю

Исследованию динамики дискретных отображений посвящено много работ, см. напр. [7, 29, 31, 32, 43, 44]. Обобщение понятия интегрируемости по Лиувиллю для дискретных отображений было независимо дано в работах [7, 43]. Вслед за этими работами будем называть соответствие (то есть, вообще говоря, многозначное отображение) $\Phi : M \rightarrow M$ симплектическим, если оно сохраняет симплектическую структуру на M . Первым интегралом, или инвариантом, соответствия называется функция на M , сохраняющаяся под действием Φ . Симплектическое соответствие Φ , имеющее $n = \frac{1}{2} \dim M$ функционально независимых интегралов в инволюции, называется интегрируемым. Дискретная версия теоремы Лиувилля утверждает, что если общая поверхность уровня инвариантов интегрируемого соответствия Φ компактна, то она представляет собой несвязное объединение n -мерных торов, а соответствие Φ определяет на них многозначный сдвиг.

В несколько более общей ситуации вместо симплектических соответствий рассматривают соответствия, сохраняющие пуассонову структуру, которая может быть и вырожденной. При этом для интегрируемости требуется наличие достаточного числа интегралов в инволюции, функционально независимых на каждой общей поверхности уровня функций Казимира.

Мы покажем, что формулы нелинейной суперпозиции (2.1), при наложении условия периодичности

$$f_{j+N} = f_j, \quad \beta_{j+N} = \beta_j, \quad j \in \mathbb{Z}$$

доставляют пример интегрируемого соответствия. На каждом шаге мы можем осуществить любое из преобразований B_1, \dots, B_N , поэтому рассматриваемое соответствие B является N -значным. Иначе можно сказать, что преобразования B_j задают некоторое нелинейное представление B группы Вейля \tilde{A}_{N-1} , которая действует в пространстве \mathbb{C}^{2N} переменных $f_1, \dots, f_N, \beta_1, \dots, \beta_N$. Возникает проблема исследования дискретного потока, определяемого этим действием. Сразу заметим, что, поскольку на переменных β_j динамика тривиальна, то удобно от преобразований B_j перейти к их комбинациям, оставляющим все β_j на своих местах. Из Следствия 2.4 легко показать, что подгруппа T , действующая на β_j тождественно, порождена

преобразованиями

$$T_j = (B_{j-N+1} \dots B_{j-1} B_j)^{N-1},$$

которые задают N -значное соответствие, действующее уже на \mathbb{C}^N . Индекс подгруппы T в B конечен, поэтому этот переход не меняет существенно динамики и заключается просто в отделении друг от друга различных ветвей отображения, отвечающих разным перестановкам β_j . Действительно, каждой перестановке β_j соответствует некоторое множество уровня первых интегралов системы

$$f'_{j+1} + f'_j = f_{j+1}^2 - f_j^2 + \beta_{j+1} - \beta_j, \quad j \in \mathbb{Z}_N \quad (11.1)$$

полученной из (1.10) в результате периодического замыкания. Под действием преобразований B_j вектор $\vec{f} = (f_1, \dots, f_N)$ переходит с одного уровня на другой, а при действии T_j остается на том же самом уровне. Можно показать, что подгруппа T коммутативна:

$$T_i T_j = T_j T_i,$$

(то есть $T \simeq \mathbb{Z}^N$) и, как мы увидим дальше, каждое из N преобразований T_j является просто сдвигом за единичное время в силу подходящей линейной комбинации системы (11.1) и ее симметрий. Таким образом, исходное соответствие B представляет собой некоторую комбинацию группы перестановок N элементов и N -значного сдвига.

Как известно [45, 64], система (11.1) определяет n -зонные потенциалы оператора Шредингера, где

$$N = 2n + 1 \quad \text{или} \quad N = 2n + 2.$$

Произведение $\widehat{W}_j = W_{j+N-1} \dots W_j$ матриц (1.12) удовлетворяет уравнению

$$\widehat{W}_{j,x} = [U_j, \widehat{W}_j], \quad (11.2)$$

откуда следует, что $\tau = \text{tr} \widehat{W}_j$ есть производящая функция для первых интегралов системы. Сохраняется также алгебраическая кривая

$$\Gamma : \det(\zeta I - \widehat{W}_j) = 0 \quad (11.3)$$

рода n . Гамильтоновы свойства системы (11.1) слегка различны в зависимости от четности N . При нечетном N эта система бигамильтонова. Первая гамильтонова структура задается скобкой Пуассона

$$\{f_i, f_j\} = (-1)^{i+j+1}, \quad j > i$$

и гамильтонианом

$$H = \sum_1^N \left(\frac{1}{3} f_j^3 + \beta_j f_j \right).$$

Вторую гамильтонову структуру удобнее записать в терминах переменных $g_j = f_j + f_{j-1}$. Она задается скобкой

$$\{g_j, g_{j+1}\}_2 = g_j g_{j+1} + \beta_{j+1}, \quad \{g_i, g_j\}_2 = (-1)^{i+j+1} g_i g_j, \quad j > i + 1$$

и гамильтонианом

$$H_2 = \sum_1^N g_j.$$

Заметим, что обе скобки вырождены, например для первой функция Казимира есть $f_1 + \dots + f_N$.

При четном N известна только одна гамильтонова структура. В терминах переменных g_j скобка Пуассона есть

$$\{g_j, g_{j+1}\} = 1, \quad \{g_i, g_j\} = 0, \quad i \neq j \pm 1,$$

а гамильтониан с точностью до числового множителя равен коэффициенту при λ^{n-1} в разложении τ . Функции Казимира порождены $a_1 = g_1 + g_3 + \dots + g_{N-1}$, $a_2 = g_2 + g_4 + \dots + g_N$, причем система интегрируема на симплектических листах, определяемых связью $a_1 = a_2 = a \neq 0$.

Независимо от четности N в работе [45] показано, что τ доставляет ровно $n+1$ функционально независимых первых интегралов в инволюции относительно указанных скобок, так что система (11.1) интегрируема по Лиувиллю.

Теорема 11.1. *Соответствие T интегрируемо в смысле дискретного варианта теоремы Лиувилля [7, 45].*

Доказательство. В силу определения (2.2) преобразований B_j очевидно, что кривая Γ сохраняется под действием соответствия B , то есть первые интегралы системы (11.1) служат одновременно и инвариантами этого соответствия. Непосредственно проверяется, что преобразования B_j относительно всех указанных скобок являются пуассоновыми отображениями. Тогда каждое из преобразований T_j является пуассоновым отображением системы (11.1) в себя и, следовательно, интегрируемо в указанном смысле. ■

Из вышесказанного следует способ использования преобразований B_j для качественного исследования системы (11.1). Действительно, ее фазовый портрет можно получить, просто итерировав одно из преобразований T_j . Поверхность уровня в компактном случае диффеоморфна n -мерному тору, причем точки заматают его регулярным образом (см. рис. 11.1a,b, где изображены двумерные проекции образов одного и того же начального вектора \vec{f} под действием итераций двух разных T_j). В целом картина напоминает равномерную обмотку на торе и наглядно иллюстрирует интегрируемость по Лиувиллю. Поверхность уровня может оказаться и некомпактной, но регулярный характер отображения прослеживается и в этом случае (см. рис. 11.1c).

Как было показано в главе 2, ослабленное условие периодичности (6.1) приводит к уравнениям Пенлеве. Соответствующее дискретное отображение естественно считать их разностным аналогом (другие подходы к дискретизации уравнений Пенлеве см. напр. в [20, 21]). Оно, разумеется, уже не является интегрируемым по Лиувиллю, но, возможно к нему применим какой-либо разностный вариант метода изомонодромной деформации. На рис. 11.2b изображено поведение соответствия при $N = 3$, то есть разностное P_4 . Для сравнения на рис. 11.2a приведена эволюция тех же начальных данных в интегрируемом случае (параметры α_j уменьшены на их среднее арифметическое).

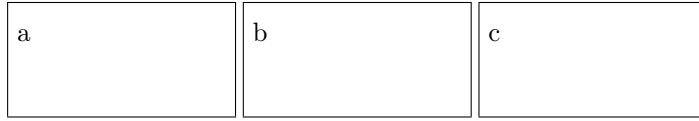


Рис. 11.1: а,в. Лиувиллев тор с двумя разными обмотками
 с. Некомпактная поверхность уровня

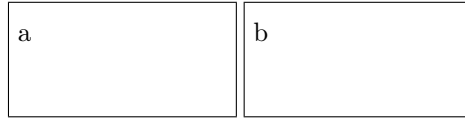


Рис. 11.2: Разностное P_4

12 Преобразование Абеля

Известно, что явная линеаризация системы (11.1) и ее высших симметрий, то есть переход к переменным действие-угол, осуществляется на многообразии Якоби кривой Γ . Из коммутирования преобразований T_j с динамикой по x и всем временам немедленно следует, что на многообразии Якоби им отвечают сдвиги на постоянные векторы, то есть соответствие T также линеаризуется. В этом разделе мы приводим некоторые формулы, позволяющие в принципе вычислять эти сдвиги.

Из формул (1.5) – (1.7) или непосредственно из (11.3) легко получаем, что матрица $\widehat{W}_j = W_{j+N-1} \dots W_j$ имеет следующую структуру:

$$\widehat{W}_j = \begin{pmatrix} \frac{1}{2}(\tau - b'_j) & b_j \\ -\frac{1}{4b_j}(4R^2 + (b'_j)^2) & \frac{1}{2}(\tau + b'_j) \end{pmatrix},$$

где

$$4R^2 = 4\delta - \tau^2, \quad \delta = \det \widehat{W}_j, \quad \tau = \text{tr} \widehat{W}_j$$

есть некоторые постоянные полиномы от λ , а b_j есть полином с переменными коэффициентами, удовлетворяющий уравнению

$$2b_j b'_j - b_j^2 - 4(u_j - \lambda)b_j^2 = 4R^2. \quad (12.1)$$

При этом $\deg R^2 = N$, $\deg b_j = n$ и старшие коэффициенты обоих полиномов единичные. Пусть

$$R^2 = (\lambda - e_1) \dots (\lambda - e_N),$$

$$b_j = \lambda^n + \lambda^{n-1}b_{j,1} + \dots + b_{j,n} = (\lambda - \rho_{j,1}) \dots (\lambda - \rho_{j,n}).$$

Переход к любому из наборов переменных $\rho_{j,1}, \dots, \rho_{j,n}$ есть просто некоторая замена переменных в системе (11.1). Действительно, если даны f_1, \dots, f_N , то, перемножая в нужном порядке матрицы W_j , мы находим \widehat{W}_j и b_j . Наоборот, если дана матрица \widehat{W}_j , то, как в Теореме 1.2, мы последовательно

и однозначно (при фиксированном порядке β_j) находим $f_j, f_{j+1}, \dots, f_{j+n-1}$. В частности, из равенства $(1, -f_j)^\top = \ker \widehat{W}_j(\lambda = \beta_j)$ имеем

$$f_j = \frac{1}{2b_j(\beta_j)}(\tau(\beta_j) - b'_j(\beta_j)). \quad (12.2)$$

Приведем также формулу для восстановления потенциала u , вытекающую из формулы (12.1):

$$u_j = \sum_1^N e_s - 2 \sum_1^n \rho_{j,s}. \quad (12.3)$$

Пусть теперь j фиксировано. Полагая в равенстве (12.1) $\lambda = \rho_{j,s}$, получаем систему уравнений Дубровина [53]

$$\rho'_{j,s} = \frac{2iR(\rho_{j,s})}{\prod_{r \neq s} (\rho_{j,s} - \rho_{j,r})}, \quad s = 1, \dots, n. \quad (12.4)$$

В силу вышесказанного она эквивалентна системе (11.1), хотя и имеет порядок в два раза меньше. Как известно, система (12.4) линеаризуется при помощи отображения Абеля из n -й симметрической степени римановой поверхности кривой Γ в ее многообразии Якоби

$$A : \Gamma^n / S_n \rightarrow \text{Jac}(\Gamma) = \mathbb{C}^n / \Lambda,$$

где Λ — решетка периодов в \mathbb{C}^n . Это отображение есть еще одна замена переменных, сопоставляющая неупорядоченному набору точек $\{\rho_{j,1}, \dots, \rho_{j,n}\}$ на Γ набор фаз $\varphi_j = (\varphi_{j,1}, \dots, \varphi_{j,n})$ по формулам

$$\varphi_{j,m} = \sum_1^n \int_{\rho_0}^{\rho_{j,s}} \frac{\rho^{n-m} d\rho}{R(\rho)}, \quad m = 1, \dots, n, \quad (12.5)$$

где ρ_0 есть некоторая фиксированная точка на Γ . Нахождение обратного отображения составляет проблему обращения Якоби и осуществляется при помощи Θ -функций римановой поверхности Γ . Вычислим динамику в переменных φ . Имеем

$$\begin{aligned} \varphi'_{j,m} &= 2i \sum_1^n \frac{\rho_{j,s}^{n-m}}{\prod_{r \neq s} (\rho_{j,s} - \rho_{j,r})} = 2i \sum_1^n \text{res}_{\rho_{j,s}} \frac{\lambda^{n-m}}{b_j(\lambda)} = \\ &= -2i \text{res}_{\infty} \frac{\lambda^{n-m}}{b_j(\lambda)} = \begin{cases} 2i, & m = 1, \\ 0, & m = 2, \dots, n. \end{cases} \end{aligned}$$

Легко проверить, что векторные поля, соответствующие системам

$$(\rho_{j,s})_{t_l} = \frac{2ib_j^l(\rho_{j,s})R(\rho_{j,s})}{\prod_{r \neq s} (\rho_{j,s} - \rho_{j,r})}, \quad s, l = 1, \dots, n, \quad (12.6)$$

где $b_j^l(\lambda) = \lambda^{l-1} + \lambda^{l-2}b_{j,1} + \dots + b_{j,l-1}$ образуют n -мерную коммутативную алгебру Ли (причем $t_1 = x$, а остальные времена отвечают KdV и его

высшим симметриям). Действительно, замена (12.5) приводит их к виду, в котором это очевидно:

$$(\varphi_{j,m})_{t_l} = -2i \operatorname{res}_{\infty} \frac{b_j^l(\lambda) \lambda^{n-m}}{b_j(\lambda)} = 2i \delta_{m,l}, \quad m, l = 1, \dots, n.$$

Итак, в результате ряда сложных замен переменных мы пришли к набору систем с общим совместным решением

$$\varphi_{j,m} = 2it_m + c_{j,m}, \quad c_{j,m} = \text{const}, \quad m = 1, \dots, n. \quad (12.7)$$

Выясним, теперь, что происходит при преобразовании Дарбу, то есть переходе от переменных с индексом j к переменным с индексом $j+1$. Из формулы $W_j \widehat{W}_j = \widehat{W}_{j+1} W_j$ получаем

$$b_{j+1} = b_j + (b_j f_j + \frac{1}{2} b_j') / (\lambda - \beta_j), \quad (12.8)$$

$$2f_j = (b_{j+1}' + b_j') / (b_{j+1} - b_j). \quad (12.9)$$

Из (12.2) и (12.8) видим, что b_{j+1} , а следовательно и $\rho_{j+1,s}$ выражаются через $\rho_{j,s}$ и β_j . Осуществляя замену (12.5), видим, что фаза $\vec{\varphi}_{j+1}$ есть некоторая функция от $\vec{\varphi}_j$ и β_j . Здесь следует учесть, что преобразование Дарбу согласовано с иерархией КдВ, в силу чего оно оставляет инвариантной не только систему (12.4), но также и системы (12.6). Тогда $\vec{\varphi}_{j+1}$ также имеет вид (12.7) и, следовательно, имеет место формула

$$\vec{\varphi}_{j+1} = \vec{\varphi}_j + \vec{\delta}(\beta_j), \quad (12.10)$$

то есть $c_{j+1,m} - c_{j,m} = \delta_m(\beta_j)$. Очевидно, что при этом выполняется соотношение

$$\vec{\delta}(\beta_1) + \vec{\delta}(\beta_2) + \dots + \vec{\delta}(\beta_N) \equiv 0 \pmod{\Lambda}. \quad (12.11)$$

Итак, при наложении условия периодичности преобразование Дарбу является сдвигом на многообразии Якоби. В работе [39] этот результат был получен для цепочки с нулевыми параметрами β_j .

Теперь мы можем легко понять, что происходит с фазами при преобразовании B_k . Так как из всех b_j при этом преобразовании меняется только b_k , то очевидно, что и среди фаз $\vec{\varphi}_j$ изменится только $\vec{\varphi}_k$. Далее, так как β_k и β_{k-1} меняются местами, то имеет место формула

$$\widetilde{\vec{\varphi}}_k = \vec{\varphi}_{k-1} + \vec{\delta}(\beta_k).$$

Закон для преобразования фаз можно переписать и в таком виде:

$$B_k : \quad \widetilde{\vec{\varphi}}_k = \vec{\varphi}_{k+1} - \vec{\varphi}_k + \vec{\varphi}_{k-1}, \quad \widetilde{\vec{\varphi}}_j = \vec{\varphi}_j, \quad j \neq k.$$

Отсюда легко находим, что действие преобразования T_k задается формулой

$$T_k : \quad \widetilde{\vec{\varphi}}_j = \vec{\varphi}_j + (N+1)\vec{\delta}(\beta_k). \quad (12.12)$$

По заданным начальным условиям f_j мы можем, в принципе, найти соответствующие начальные значения $\rho_{j,s}$ и, пользуясь формулой (12.5), вычислить величины $\vec{\delta}(\beta_k)$. После этого эволюция фаз при соответствии T легко

вычисляется по формуле (12.12). Решая проблему обращения Якоби, находим полиномы b_j и, по формулам (12.2), (12.3) — переменные f_j, u_j . Таким образом, соответствие T можно считать проинтегрированным, хотя явные формулы выписать довольно сложно.

В качестве примера доведем до конца простейший однозонный случай ($n = 1, N = 3$). Здесь

$$b_j = \lambda - \rho_j, \quad u_j = E - 2\rho_j, \quad 2f_j = (\rho'_{j+1} + \rho'_j)/(\rho_{j+1} - \rho_j),$$

где $E = e_1 + e_2 + e_3$, функции ρ_j удовлетворяют уравнению

$$-(\rho')^2 = 4(\rho - e_1)(\rho - e_2)(\rho - e_3) \quad (12.13)$$

и связаны формулами

$$\rho_{j+1} + \rho_j = E - \beta_j - \frac{1}{4} \left(\frac{\rho'_{j+1} + \rho'_j}{\rho_{j+1} - \rho_j} \right)^2. \quad (12.14)$$

Из уравнения (12.13) очевидно, что

$$\rho_j = \frac{1}{3}E - \wp(x + c_j),$$

где \wp есть функция Вейерштрасса. При этом можно считать, что заданные начальные значения $u_j = u_{j,0}$ соответствуют значению $x = 0$, так что

$$2\wp(c_j) = u_{j,0} - \frac{1}{3}E,$$

откуда находим константы c_j . Соотношение (12.14) переходит в известную формулу сложения для \wp -функций, из которой мы получаем уравнение

$$\wp(\delta_j) = \frac{1}{3}E - \beta_j$$

для разности фаз $\delta_j = \delta(\beta_j) = c_{j+1} - c_j$. Окончательный ответ в терминах переменных u_j задается формулой

$$T_1^l T_2^m T_3^n(u_j) = \frac{1}{3}E + 2\wp(c_j + 4l\delta_1 + 4m\delta_2 + 4n\delta_3),$$

где константы c_j и δ_j выражаются через начальные условия и параметры задачи при помощи эллиптических интегралов.

13 Перекройки многоугольника

Пусть на комплексной плоскости заданы $N \geq 3$ точек p_1, \dots, p_N , занумерованных по модулю N . На каждом шаге можно отразить любую из них, например p_k , относительно серединного перпендикуляра к отрезку, соединяющему ее соседей p_{k-1}, p_{k+1} . Наглядно говоря, от многоугольника $p_1 \dots p_N$ отрезается один угол, переворачивается и приклеивается на место. Таким образом, определено некоторое N -значное отображение (соответствие) $R : \mathbb{C}^N \rightarrow \mathbb{C}^N$. Возникает задача исследования динамики вершин под действием таких перекроек. В качестве примера рассмотрим несколько тривиальных случаев, при малых N дающих полное описание динамики.

1) Если длины сторон совпадают, то вершины остаются неподвижными.
 2) Вершины, лежащие на одной окружности или прямой (например, при $N = 3$, остаются лежать на ней. Если перекройки осуществлять циклически, то через $N - 1$ шаг мы приходим к тому же многоугольнику, повернутому на некоторый постоянный угол.

3) Аналогично разбирается случай, когда число вершин четно и четные вершины лежат на одной, а нечетные на другой из двух концентрических окружностей или параллельных прямых (например, $N = 4$).

При $N \geq 5$ динамика приобретает более сложный характер. Вычислительный эксперимент показывает, что под действием группы перекроек вершины заматают 1 или 2 кольца с общим центром в некоторой точке E . Если перекройки осуществляются циклически, заматание происходит регулярным образом, на манер обмотки тора (см. рис. 13.1, где показана эволюция 4, 5 и 6-угольника). В исключительных случаях движение происходит по замкнутым кривым. При $N \approx 100$ в эволюции возмущенного в нескольких вершинах правильного N -угольника можно наблюдать отчетливо выраженные солитонные эффекты, то есть возмущения распространяются и пройдут друг через друга с сохранением формы.

Отражение R_k вершины p_k задается формулой

$$R_k(p_k) = p'_k = p_k + \frac{l_k^2 - l_{k-1}^2}{\bar{p}_{k+1} - \bar{p}_{k-1}}, \quad R_k(p_j) = p_j, \quad j \neq k. \quad (13.1)$$

где $l_j^2 = (p_{j+1} - p_j)(\bar{p}_{j+1} - \bar{p}_j)$ есть квадрат длины стороны $p_{j+1}p_j$.

Назовем инвариантом функцию от вершин p_j , не меняющуюся при перекройках. Ряд инвариантов очевиден. Так как при каждом отражении длины сторон многоугольника переставляются, то произвольная симметрическая функция от l_j^2 является инвариантом. Если N четно, то сохраняется также сумма углов при четных вершинах. Инвариантны также величины

$$\begin{aligned} 4iS &= \sum_1^N (\bar{p}_j p_{j+1} - p_j \bar{p}_{j+1}), \\ 4iSE &= \sum_1^N p_j p_{j+1} (\bar{p}_j - \bar{p}_{j+1}), \\ J &= \sum_1^N (2l_j^2 + \bar{p}_j p_{j+1} + p_j \bar{p}_{j+1})(\bar{p}_j p_{j+1} - p_j \bar{p}_{j+1}). \end{aligned}$$

Инвариант S является площадью многоугольника, а инвариант E допускает следующую геометрическую интерпретацию. Рассмотрим произвольную триангуляцию многоугольника $p_1 \dots p_N$ на $N - 2$ треугольника и поместим в центры описанных около них окружностей массы, равные с учетом знака площадям соответствующих треугольников. Точка E есть центр масс полученной системы. Определение не зависит от триангуляции.

Неожиданным обстоятельством является существование тесной связи между соответствием R и теорией одевающей цепочки в форме (3.2). Сопоставляя формулы (13.1) и (3.4), видим, что они связаны соотношениями

$$v_{2j} = p_{2j}, \quad v_{2j+1} = \bar{p}_{2j+1}, \quad \beta_j = -l_j^2. \quad (13.2)$$

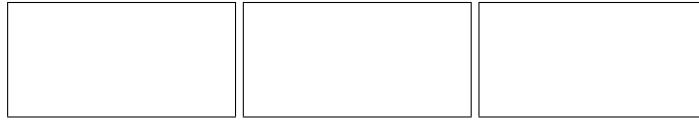


Рис. 13.1:

Заметим, что из-за присутствия в этой формуле комплексного сопряжения в случае нечетного N следует удваивать число переменных v_j , полагая $v_{j+N} = \bar{v}_j$. Таким образом, перекройкам многоугольника соответствуют отображения (3.4) при наложении условия периодичности с четным N и дополнительными условиями $\beta_j = -l_j^2$. Новые инварианты отображения (13.1) получаются при рассмотрении следа матрицы \widehat{W}_N , в которой $f_j = v_{j+1} - v_j$ и β_j заменены согласно формуле (13.2). Следует отметить, что инварианты S, E, J не могут быть получены таким образом. Повидимому, число функционально независимых инвариантов соответствия R равно $2N - 2$.

4 Примеры цепочек и их автопреобразований

В настоящую главу включены по возможности разнообразные примеры интегрируемых цепочек, порожденных преобразованиями Дарбу для различных дифференциальных операторов, как скалярных, так и матричных. Как и для оператора Шредингера, для них выводятся принципы нелинейной суперпозиции, позволяющие строить точные решения ассоциированных уравнений в частных производных и, с другой стороны, дающие новые примеры интегрируемых отображений. Общая схема изложена в разделе 14. В 15-м разделе более подробно разобран важный случай оператора Дирака, с которым связана нелинейная система Шредингера (NLS), а в разделе 16 — его скалярная редукция, вновь приводящая к уравнениям типа KdV. В работах [36, 37] изучались многополевые обобщения NLS, связанные с йордановыми парами, и соответствующие им цепочки преобразований Бэклунда. В разделе 17 показано, что принцип нелинейной суперпозиции также допускает многополевое обобщение. В 18-м разделе рассмотрены примеры цепочек, отвечающих операторам второго порядка типа оператора Дирака. Среди ассоциированных систем — модели магнетика Гейзенберга и Ландау-Лифшица. Результаты этого раздела были получены совместно с Р.И. Ямиловым в [4].

Другое применение аппарата цепочек заключается в построении точных решаемых спектральных задач для исходного дифференциального оператора. Здесь, действуя как в главе 2, мы снова приходим к уравнениям Пенлеве и их высшим аналогам, причем дискретная группа цепочки переходит в дискретную группу уравнения. Так как эти результаты могут иметь для теории уравнений Пенлеве самостоятельный интерес, то они излагаются отдельно в следующей главе.

14 Общая схема

Рассмотрим цепочку, обладающую представлением нулевой кривизны

$$W_{j,x} = U_{j+1}W_j - W_jU_j, \quad j \in \mathbb{Z}. \quad (14.1)$$

Для определенности мы будем считать, что матрицы имеют размер 2×2 , причем $U_j = U(\lambda, u_j, v_j)$, $W_j = W(\lambda, u_j, v_{j+1}, \beta_j)$, где u_j, v_j — полевые переменные, λ — спектральный параметр, β_j — параметры цепочки. Утверждения этого раздела могут быть легко обобщены и для матриц другого вида.

Определим преобразование B_k соотношениями

$$B_k : \quad \widetilde{W}_k \widetilde{W}_{k-1} = W_k W_{k-1}, \quad \widetilde{W}_j = W_j, \quad j \neq k, k-1 \quad (14.2)$$

где $\widetilde{W}_j = W(\lambda, \tilde{u}_j, \tilde{v}_{j+1}, \beta_j)$. Эти соотношения представляют собой систему алгебраических уравнений относительно $\tilde{u}_{k-1}, \tilde{v}_k, \tilde{u}_k, \tilde{v}_{k+1}, \beta_{k-1}, \beta_k$. Как правило, эта система является весьма переопределенной, но она во всяком случае совместна, так как у нее всегда есть тождественное решение. В некоторых случаях это решение единственно, однако класс цепочек, допускающих и другие решения, является достаточно богатым. В дальнейшем под преобразованием (14.2) всегда понимается нетривиальное преобразование. Если оно нашлось, то обосновать его применение к цепочке (14.1) можно при помощи следующей теоремы. Пусть A есть матрица, зависящая от

λ и переменных q_1, \dots, q_n . Через $J(A; q_1, \dots, q_n)$ обозначим матрицу Якоби коэффициентов разложения Лорана по λ ее элементов по отношению к q_1, \dots, q_n .

Теорема 14.1. Пусть матрицы W_j таковы, что

$$\text{rank } J(W_j; u_j, v_{j+1}) = 2, \quad \text{rank } J(W_j W_{j-1}; u_j, v_{j+1}, u_{j-1}, v_j) = 4.$$

Тогда преобразование (14.2) переводит цепочку (14.1) в себя с точностью до изменения параметров.

Доказательство. Из определяющих цепочку формул (14.1) следуют соотношения

$$\begin{aligned} W_{j,x} &= U_{j+1}W_j - W_jU_j, \quad j \neq k, k-1, \\ (W_k W_{k-1})_x &= U_{k+1}W_k W_{k-1} - W_k W_{k-1}U_{k-1}. \end{aligned} \quad (14.3)$$

Из них, в силу условия теоремы, однозначно определяется динамика по x всех u_j, v_j , то есть формулы (14.1) и (14.3) эквивалентны. Преобразование (14.2) состоит в замене всех переменных u_j, v_j, β_j на $\tilde{u}_j, \tilde{v}_j, \beta_j$. Следовательно оно не меняет вид соотношений (14.3), а с ними и цепочку (14.1). ■

В рассматриваемых нами примерах имеем $\text{tr } U_j = 0$, откуда следует, что $\det W_j = \delta(\lambda, \beta_j)$ не зависит от x . Это позволяет получить закон преобразования параметров β_j из равенства $\det W_k W_{k-1} = \det \widetilde{W}_k \widetilde{W}_{k-1}$. В простейшей ситуации преобразование (14.2) приводит к перестановке параметров β_k и β_{k-1} . Это делает естественным выделение следующего условия на матрицы W_j , более жесткого, чем условие Теоремы 14.1.

Условие А. Для любого целого $p \geq 0$: если

$$\widetilde{W}_k \dots \widetilde{W}_{k-p} = W_k \dots W_{k-p} \quad (14.4)$$

то $\beta_k = \beta_{\sigma(k)}, \dots, \beta_{k-p} = \beta_{\sigma(k-p)}$, где σ некоторая перестановка.

Если σ тождественна, то $\widetilde{W}_k = W_k, \dots, \widetilde{W}_{k-p} = W_{k-p}$.

Выполняется следующая теорема.

Теорема 14.2. Пусть цепочка (14.1) удовлетворяет условию А. Тогда

- 1) преобразования (14.2) переводят ее в себя;
- 2) выполняются тождества

$$B_j^2 = (B_j B_{j+1})^3 = (B_i B_j)^2 = 1, \quad i \neq j \pm 1, \quad (14.5)$$

задающие код группы B , порожденной преобразованиями B_j ;

- 3) любое преобразование, определенное соотношением (14.4) (предполагается, что $\widetilde{W}_j = W_j, j \neq k, \dots, k-p$) принадлежит B .

Доказательство. 1) При фиксированных β_k, β_{k-1} уравнение (14.2) разрешимо однозначно, следовательно условия Теоремы 14.1 выполнены.

2) Каждое из преобразований $B_j^2, (B_j B_{j+1})^3, (B_j B_i)^2$, удовлетворяет какому-нибудь из соотношений (14.4) и действует на множестве параметров β_j тождественно. В силу условия А, оно тождественно также на переменных u_j, v_j .

3) Любое преобразование (14.4) задает на множестве параметров β_j некоторую перестановку. Композиция этого преобразования с элементом группы B , приводящая к тождественной перестановке, также удовлетворяет одному из соотношений (14.4) и следовательно тождественна. ■

Замечание. Если матрицы W_j обладают свойством А и допускают нетривиальные преобразования (14.2), то, согласно теореме 14.2, попытка обобщить их путем переразложения большего числа сомножителей не даст ничего нового: все преобразования будут являться их композицией. Тем не менее существуют примеры, когда преобразования (14.2) тождественны, и тогда для получения преобразований B_j приходится переразлагать произведение 3 матриц. Такой пример приведен в следующем разделе.

Пусть цепочка (14.1) допускает симметрию вида

$$W_{j,t} = V_{j+1}W_j - W_jV_j, \quad (14.6)$$

где $V_j = V(\lambda, \beta_j, u_j, v_j, u_{j,x}, v_{j,x}, \dots)$. В этом случае цепочка (14.1) определяет последовательность x -частей преобразования Бэклунда для системы уравнений в частных производных

$$U_t = V_x + [V, U]. \quad (14.7)$$

Если условия Теорем 14.1 или 14.2 выполнены, то преобразования (14.2) действуют также и на цепочке (14.6). Таким образом, размножая при помощи преобразований (14.2) совместные решения (14.1), (14.6), можно одновременно строить решения ассоциированной системы (14.7). То же относится и к ее высшим симметриям.

Как и в случае оператора Шредингера, преобразования (14.2) доставляют примеры интегрируемых соответствий. Наложим условие периодического замыкания

$$u_{j+N} = u_j, \quad v_{j+N} = v_j, \quad \beta_{j+N} = \beta_j, \quad j \in \mathbb{Z} \quad (14.8)$$

и рассмотрим N -значное соответствие B , определяемое преобразованиями B_1, \dots, B_N . Очевидно, что след матрицы $\widehat{W}_j = W_{j+N-1} \dots W_j$, является производящей функцией для инвариантов соответствия B . Кроме того, \widehat{W}_j удовлетворяет уравнениям

$$\widehat{W}_{j,x} = [U_j, \widehat{W}_j], \quad \widehat{W}_{j,t} = [V_j, \widehat{W}_j]$$

из которых вытекает, что $\text{tr } \widehat{W}_j$ есть производящая функция для первых интегралов системы (14.1), (14.8) и ее симметрий. Наличие коммутирующих непрерывных потоков и является механизмом, обеспечивающим интегрируемость соответствия B . В каждом конкретном случае остается установить гамильтонову структуру, показать, что отображения (14.8) являются пуассоновыми, а запас первых интегралов достаточно богат, после чего мы можем воспользоваться дискретной версией теоремы Лиувилля [7, 43].

15 Оператор Дирака

Проиллюстрируем схему из раздела 14 на примере оператора Дирака. Он отвечает матрице

$$U = \begin{pmatrix} -\lambda & -v \\ u & \lambda \end{pmatrix} \quad (15.1)$$

с которой связано целое семейство интегрируемых уравнений, допускающих представление (14.7) — иерархия имени Захарова-Шабата-Абловица-Каупа-Ньюэла-Сигура (см. для ссылок [15]). Уравнения из этой иерархии имеют

вид

$$\begin{pmatrix} u \\ v \end{pmatrix}_{t_n} = \begin{pmatrix} D + 2uD^{-1}v & 2uD^{-1}u \\ -2vD^{-1}v & -D - 2vD^{-1}u \end{pmatrix}^n \begin{pmatrix} u \\ -v \end{pmatrix}. \quad (15.2)$$

В частности, при $t = t_2$ получаем нелинейную систему Шредингера

$$\begin{cases} u_t = u_{xx} + 2u^2v, \\ -v_t = v_{xx} + 2v^2u, \end{cases} \quad (15.3)$$

а при $t = t_3$ систему

$$\begin{cases} u_t = u_{xxx} + 6vuu_x, \\ v_t = v_{xxx} + 6uvv_x, \end{cases} \quad (15.4)$$

В отличие от иерархии KdV эта иерархия допускает преобразования Бэклунда трех различных типов. Первый из них получается при выборе матрицы W вида

$$W_j = \begin{pmatrix} 0 & -\exp(-q_j) \\ \exp(q_j) & 2\lambda - q_{j,x} \end{pmatrix}, \quad (15.5)$$

и приводит к цепочке Тоды

$$q_{j,xx} = \exp(q_{j+1} - q_j) - \exp(q_j - q_{j-1}), \quad (15.6)$$

где $u_j = \exp(q_j)$, $v_{j+1} = \exp(-q_j)$. Второй тип преобразований Бэклунда, соответствующий матрице

$$W_j = \begin{pmatrix} 1 & -v_{j+1} \\ u_j & 2\lambda - \beta_j - u_j v_{j+1} \end{pmatrix}, \quad (15.7)$$

приводит к цепочке

$$\begin{cases} u_{j,x} = u_{j+1} + \beta_j u_j + u_j^2 v_{j+1}, \\ -v_{j,x} = v_{j-1} + \beta_{j-1} v_j + v_j^2 u_{j-1}. \end{cases} \quad (15.8)$$

Третий тип преобразования Бэклунда соответствует матрице

$$W_j = \begin{pmatrix} -2\lambda - \delta_j + R_j & -v_{j+1} - v_j \\ u_{j+1} + u_j & 2\lambda + \delta_j + R_j \end{pmatrix}, \quad (15.9)$$

где $R_j^2 = \gamma_j^2 - (u_{j+1} + u_j)(v_{j+1} + v_j)$, и приводит к цепочке

$$\begin{cases} (u_{j+1} + u_j)_x = (u_{j+1} - u_j)R_j - \delta_j(u_{j+1} + u_j), \\ (v_{j+1} + v_j)_x = (v_{j+1} - v_j)R_j + \delta_j(v_{j+1} + v_j). \end{cases} \quad (15.10)$$

Разберем перечисленные случаи по отдельности.

1) Легко убедиться, что в первом случае система (14.2) имеет лишь тождественное решение и, таким образом, наша схема не приводит к автопреобразованиям для цепочки Тоды. Тем не менее эти преобразования существуют, см. напр. [11].

2) Во втором случае формула (14.2) дает преобразование

$$B_k : \begin{cases} \tilde{u}_k = u_k + (\beta_{k-1} - \beta_k) \frac{u_{k-1}}{1 - u_{k-1}v_{k+1}}, \\ \tilde{v}_k = v_k + (\beta_k - \beta_{k-1}) \frac{v_{k+1}}{1 - u_{k-1}v_{k+1}}, \\ \tilde{\beta}_k = \beta_{k-1}, \quad \tilde{\beta}_{k-1} = \beta_k. \end{cases} \quad (15.11)$$

Теорема 15.1. Преобразования (15.11) действуют на множестве цепочек (15.8) и удовлетворяют тождествам (14.5).

Доказательство. Достаточно проверить выполнение условия А). Первая часть этого условия очевидна, так как $\det W_j = 2\lambda - \beta_j$. При $2\lambda = \beta_{k-p}$ находим, что $\ker W_k \dots W_{k-p}$ натянуто на вектор $(v_{k-p+1}, 1)^\top$, откуда, в силу (14.4), следует $\tilde{v}_{k-p+1} = v_{k-p+1}$. Далее, легко показать, что

$$W_k \dots W_{k-p+1} = \begin{pmatrix} * & * \\ \alpha & (2\lambda)^p + \dots \end{pmatrix},$$

где $\deg \alpha < p$, а звездочка обозначает несущественные для нас элементы. Тогда

$$W_k \dots W_{k-p+1} W_{k-p} = \begin{pmatrix} * & * \\ (2\lambda)^p u_{k-p} + \dots & * \end{pmatrix},$$

откуда следует $\tilde{u}_{k-p} = u_{k-p}$. Итак, $\widetilde{W}_{k-p} = W_{k-p}$, и доказательство сводится к случаю произведения меньшего числа матриц. ■

Рассмотрим соответствие B , порождаемое преобразованиями (15.11) при периодическом замыкании (14.8). Как и в случае преобразований (2.1), удобно от преобразований B_j перейти к их комбинациям

$$T_j = (B_{j-N+1} \dots B_{j-1} B_j)^{N-1},$$

оставляющим β_j на своих местах и порождающим коммутативную подгруппу.

Теорема 15.2. Система (15.8), (14.8) и соответствие, порожденное преобразованиями T_j интегрируемы по Лиувиллю.

Доказательство. При периодическом замыкании цепочка (15.8) является гамильтоновой системой со скобкой Пуассона

$$\{u_i, v_j\} = \delta_{i,j-1}, \quad \{u_i, u_j\} = \{v_i, v_j\} = 0 \quad (15.12)$$

и гамильтонианом $H = \sum_1^N h_j$, где

$$h_j = u_j v_j + \beta_j u_j v_{j+1} + \frac{1}{2} u_j^2 v_{j+1}^2. \quad (15.13)$$

Легко проверить, что $H = \frac{1}{2} I_1^2 - I_2 + \text{const}$, где

$$\text{tr } \widehat{W}_j(\lambda) = (2\lambda)^N + (2\lambda)^{N-1} I_1 + \dots + 2\lambda I_{N-1} + I_N.$$

Инволютивность I_j проще всего доказывается при помощи r -матричного подхода (см. напр. [61]). Непосредственно проверяется, что скобка Пуассона (15.12) задается формулой

$$\{W_i(\lambda) \otimes W_j(\mu)\} = [r, W_i(\lambda) \otimes W_j(\mu)] \delta_{i,j},$$

где

$$r = \frac{1}{2(\lambda - \mu)} \begin{pmatrix} 1 & 0 & 0 & 0 \\ 0 & 0 & 1 & 0 \\ 0 & 1 & 0 & 0 \\ 0 & 0 & 0 & 1 \end{pmatrix}.$$

(Отметим, что эта же r -матрица возникает и в гамильтоновой теории нелинейной системы Шредингера и цепочки Тоды [61].) Отсюда легко вывести формулу

$$\{\widehat{W}_j(\lambda) \otimes \widehat{W}_j(\mu)\} = [r, \widehat{W}_j(\lambda) \otimes \widehat{W}_j(\mu)],$$

из которой следует $\{\text{tr } \widehat{W}_j(\lambda), \text{tr } \widehat{W}_j(\mu)\} = 0$.

Докажем, что I_j функционально независимы. Для этого положим $v_j = -1$ и покажем, что $\det(\partial I_i / \partial u_j) \neq 0$. Действительно, из структуры W_j очевидно, что $I_i = \sigma_i + p_i$, где σ_j элементарные симметрические функции от u_j , а p_j полиномы младшей степени. Тогда $\det(\partial I_i / \partial u_j) = \det(\partial \sigma_i / \partial u_j) + P$, где первое слагаемое имеет большую степень.

Завершает доказательство непосредственная проверка того, что преобразования (15.11), а вместе с ними и T_j являются пуассоновыми отображениями. ■

Вычислительный эксперимент показывает, однако, что поверхность уровня первых интегралов некомпактна. Кроме того, оказывается, что образы вектора (\vec{u}, \vec{v}) при итерациях стремятся к некоторому выделенному направлению. Причину этого легко понять. Кроме первых интегралов, система (15.8), (14.8) допускает еще понижение порядка на 1 за счет введения переменных

$$p_j = u_{j+1}/u_j, \quad q_j = u_j v_{j+1}. \quad (15.14)$$

В новых переменных цепочка имеет вид

$$\begin{cases} p_{j,x} &= p_j(p_{j+1} + q_{j+1} + \beta_{j+1} - p_j - q_j - \beta_j), \\ q_{j,x} &= p_j q_j - p_{j-1} q_{j-1}. \end{cases} \quad (15.15)$$

При нулевых параметрах β_j эта цепочка известна как релятивистская цепочка Тоды и рассматривалась в [6]. Если функции p, q уже найдены, то решение в переменных u, v находится простым интегрированием:

$$u_{j,x}/u_j = p_j + q_j + \beta_j, \quad -v_{j,x}/v_j = q_{j-1} + p_{j-2} q_{j-2} / q_{j-1} + \beta_{j-1}.$$

При $N = 2$ легко убедиться, что p, q есть эллиптические функции, откуда видим, что функции u, v в случае общего положения экспоненциально растут или убывают, что вполне согласуется с численным экспериментом. Оказывается, что система (15.3) и преобразования (15.11) также могут быть переписаны в новых переменных. Фактически замена (15.14) эквивалентна преобразованию Бэклунда

$$uv = pq - q_x, \quad u_x/u = p + q + \beta$$

между системой (15.3) и системой

$$p_t = p_{xx} + (p^2 + 2pq + 2\beta p)_x, \quad q_t = -q_{xx} + (q^2 + 2pq + 2\beta q)_x. \quad (15.16)$$

Эта система рассматривалась в [57]. Она, в отличие от системы Шредингера, явно содержит параметр β_j (ср. с уравнениями (3.6) и (3.8)). Преоб-

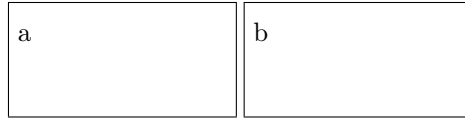


Рис. 15.1: Поверхность уровня первых интегралов в компактном и некомпактном случаях

разования B_k принимают вид

$$\begin{aligned} \tilde{p}_{k-1} &= p_{k-1} \left(1 - \frac{\alpha}{p_{k-1} - q_k} \right), & \tilde{p}_k &= p_k \left(1 + \frac{\alpha}{p_{k-1} - q_k - \alpha} \right), \\ \tilde{q}_{k-1} &= q_{k-1} + \frac{\alpha q_k}{p_{k-1} - q_k}, & \tilde{q}_k &= q_k \left(1 - \frac{\alpha}{p_{k-1} - q_k} \right), \\ \tilde{\beta}_{k-1} &= \beta_k, & \tilde{\beta}_k &= \beta_{k-1}, \end{aligned} \quad (15.17)$$

где $\alpha = \beta_k - \beta_{k-1}$. Рассмотрим порождаемое ими дискретное соответствие.

Перепишывая скобку (15.12) в переменных (15.14), убеждаемся, что периодически замкнутая цепочка (15.15) есть гамильтонова система, со скобкой Пуассона

$$\{p_j, q_j\} = -p_j, \quad \{p_j, q_{j+1}\} = p_j$$

(остальные скобки равны 0) и гамильтонианом

$$H = \sum_1^N \left(\frac{1}{2} q_j^2 + \beta_j q_j + p_j q_j \right).$$

Отметим, что новая пуассонова структура вырождена, с функцией Казимира $J = p_1 \dots p_N$. Можно показать, что $\text{tr } \widehat{W}_j$ также может быть переписан в терминах p, q . Отсюда следует, что рассматриваемая система интегрируема по Лиувиллю. Преобразования B_j (15.17) являются пуассоновыми и сохраняют J , поэтому Теорема 15.2 верна и для них.

На приведенных графиках изображены проекции образов вектора $(p_1, q_1, \dots, p_N, q_N)$ при $N = 3$ под действием итераций преобразования T_j на плоскость (p_1, q_1) . Поверхность уровня и теперь может оказаться некомпактной, но асимптотического стремления к бесконечности уже нет (см. рис. 15.1b). В компактном случае поверхность уровня диффеоморфна $N - 1$ -мерному тору, причем точки заматают его регулярным образом (рис. 15.1a).

Отметим, что кроме приведенных выше представлений нулевой кривизны в терминах переменных u и v , цепочка (15.15) и система (15.16) допускают также самостоятельные представления, которые задаются матрицами

$$\begin{aligned} U &= \begin{pmatrix} s - \lambda & -q \\ p & \lambda - s \end{pmatrix}, & V &= 2(\lambda + s)U + \begin{pmatrix} (p - q)/2 & q \\ p & (q - p)/2 \end{pmatrix}_x, \\ W_j &= p_j^{-\frac{1}{2}} \begin{pmatrix} p_j & -q_{j+1} \\ p_j & 2\lambda - \beta_{j+1} - q_{j+1} \end{pmatrix}, \end{aligned}$$

где $2s = p + q + \beta$. Легко убедиться, что уравнение (14.2) с такими матрицами W_j имеет лишь тождественное решение и не приводит к какому-либо преобразованию. Оказывается, чтобы получить формулы (15.17), мы должны

переразложить произведение трех матриц: преобразование B_k определяется формулой

$$B: \quad \widetilde{W}_k \widetilde{W}_{k-1} \widetilde{W}_{k-2} = W_k W_{k-1} W_{k-2}, \quad \widetilde{W}_j = W_j, \quad j \neq k, k-1, k-2.$$

Таким образом, иногда общая схема из раздела 2 нуждается в модификациях.

3) Перейдем к цепочке (15.10). Определитель соответствующей матрицы W_j (15.9) имеет два корня:

$$\det W_j = -(2\lambda + \delta_j + \gamma_j)(2\lambda + \delta_j - \gamma_j).$$

Это приводит к тому, что дискретная группа этой цепочки гораздо богаче, чем во всех рассмотренных ранее примерах. Нетрудно убедиться, что переразложение (14.2) приводит к преобразованию вида

$$\left\{ \begin{array}{l} \tilde{u}_k = u_k + \frac{1}{\Delta} \left((\tilde{\delta}_k - \tilde{\delta}_{k-1})(\tilde{\delta}_k - \delta_k)(u_{k+1} + 2u_k + u_{k-1}) + \right. \\ \quad \left. + (\tilde{\gamma}_k^2 - \tilde{\gamma}_{k-1}^2 - \gamma_k^2 + \gamma_{k-1}^2)(u_{k+1} - u_{k-1})/2 - \right. \\ \quad \left. - 2(\tilde{\delta}_k - \delta_k)(R_k(u_k + u_{k-1}) + R_{k-1}(u_{k+1} + u_k)) \right), \\ \tilde{v}_k = v_k + \frac{1}{\Delta} \left((\tilde{\delta}_k - \tilde{\delta}_{k-1})(\tilde{\delta}_k - \delta_k)(v_{k+1} + 2v_k + v_{k-1}) + \right. \\ \quad \left. + (\tilde{\gamma}_k^2 - \tilde{\gamma}_{k-1}^2 - \gamma_k^2 + \gamma_{k-1}^2)(v_{k+1} - v_{k-1})/2 + \right. \\ \quad \left. + 2(\tilde{\delta}_k - \delta_k)(R_k(v_k + v_{k-1}) + R_{k-1}(v_{k+1} + v_k)) \right), \end{array} \right. \quad (15.18)$$

где

$$\Delta = (R_k + R_{k-1})^2 + (u_{k+1} - u_{k-1})(v_{k+1} - v_{k-1}) - (\tilde{\delta}_k - \tilde{\delta}_{k-1})^2$$

(остальные u_j, v_j не меняются). При этом каждая из 24 перестановок сомножителей в произведении

$$\begin{aligned} \det \widetilde{W}_k \widetilde{W}_{k-1} &= \det W_k W_{k-1} = \\ &= (2\lambda + \delta_k + \gamma_k)(2\lambda + \delta_k - \gamma_k)(2\lambda + \delta_{k-1} + \gamma_{k-1})(2\lambda + \delta_{k-1} - \gamma_{k-1}) \end{aligned}$$

приводит к новому набору параметров цепочки $\tilde{\gamma}_k, \tilde{\gamma}_{k-1}, \tilde{\delta}_k, \tilde{\delta}_{k-1}$. Однако вследствие инвариантности формулы (15.18) и цепочки (15.10) относительно перемены знаков γ_j из этих 24 преобразований лишь 6 существенно различны. Одно из них тождественно, четыре других получаются, когда $\det W_k$ и $\det W_{k-1}$ обмениваются одной парой корней:

$$\begin{aligned} \tilde{\delta}_k + \varepsilon \tilde{\gamma}_k &= \delta_{k-1} + \sigma \gamma_{k-1}, & \tilde{\delta}_{k-1} + \sigma \tilde{\gamma}_{k-1} &= \delta_k + \varepsilon \gamma_k, \\ \tilde{\delta}_k - \varepsilon \tilde{\gamma}_k &= \delta_k - \varepsilon \gamma_k, & \tilde{\delta}_{k-1} - \sigma \tilde{\gamma}_{k-1} &= \delta_{k-1} - \sigma \gamma_{k-1}, \end{aligned}$$

где $\varepsilon, \sigma = \pm$, то есть

$$\begin{aligned} \tilde{\delta}_k &= (\delta_k + \delta_{k-1} - \varepsilon \gamma_k + \sigma \gamma_{k-1})/2, & \tilde{\delta}_{k-1} &= (\delta_k + \delta_{k-1} + \varepsilon \gamma_k - \sigma \gamma_{k-1})/2, \\ \tilde{\gamma}_k &= \varepsilon(\delta_{k-1} - \delta_k + \varepsilon \gamma_k + \sigma \gamma_{k-1})/2, \\ \text{tig}_{k-1} &= \sigma(\delta_k - \delta_{k-1} + \varepsilon \gamma_k + \sigma \gamma_{k-1})/2. \end{aligned}$$

Если же $\det W_k$ и $\det W_{k-1}$ полностью меняются местами, то закон преобразования коэффициентов имеет вид

$$\tilde{\delta}_k = \delta_{k-1}, \quad \tilde{\delta}_{k-1} = \delta_k, \quad \tilde{\gamma}_k = \gamma_{k-1}, \quad \tilde{\gamma}_{k-1} = \gamma_k.$$

Остальные преобразования не дают ничего нового. Например, в последней формуле можно положить также $\tilde{\gamma}_k = -\gamma_{k-1}$, $\tilde{\gamma}_{k-1} = -\gamma_k$, но это не приводит к новому преобразованию, поскольку как формула (15.18), так и сама цепочка (15.10) не меняются при перемене знаков γ_j .

Доказательство для преобразований (15.18) аналогов теорем 15.1 и 15.2 и анализ дискретной группы цепочки (15.10) не представляет принципиальных трудностей.

В заключение отметим, что, как и в случае иерархии KdV, замены в цепочках (15.6), (15.8), (15.10) порождают преобразования, связывающие уравнения иерархии (15.2) с другими интегрируемыми уравнениями (например, замена (15.14), приводящая к системе (15.16)). Полный их обзор занял бы слишком много места, и мы ограничимся рассмотрением системы (15.4), цепочки (15.10) и преобразований (15.18), на которые наложена одна из скалярных редукций

$$\delta = 0, \quad v = -1 \quad \text{или} \quad \delta = 0, \quad v = -u.$$

В первом случае система (15.4) переходит в уравнение KdV и мы получаем семейство уравнений и цепочек из раздела 3. Вторая редукция рассматривается в следующем разделе.

16 Преобразования Бэклунда для уравнений типа KdV. II

Положим

$$u = -v = f, \quad \gamma^2 = 4\alpha,$$

тогда система (15.4) перейдет в уравнение mKdV

$$f_t = f_{xxx} - 6f^2 f_x, \tag{16.1}$$

цепочка (15.10) в цепочку

$$(f_{j+1} + f_j)_x = (f_{j+1} - f_j) \sqrt{(f_{j+1} + f_j)^2 + 4\alpha_j} \tag{16.2}$$

и преобразования (15.18) в преобразования

$$B_k : \begin{cases} \tilde{f}_k = f_k - \frac{4}{\Delta} (\alpha_k - \alpha_{k-1})(f_{k+1} - f_{k-1}), & \tilde{f}_j = f_j, \quad j \neq k, \\ \tilde{\alpha}_k = \alpha_{k-1}, \quad \tilde{\alpha}_{k-1} = \alpha_k, \quad \tilde{\alpha}_j = \alpha_j, & j \neq k, k-1, \end{cases} \tag{16.3}$$

где

$$\Delta = \left(\sqrt{(f_{k+1} + f_k)^2 + 4\alpha_k} + \sqrt{(f_k + f_{k-1})^2 + 4\alpha_{k-1}} \right)^2 - (f_{k+1} - f_{k-1})^2.$$

Таким образом, мы видим, что уравнение mKdV допускает два различных преобразования Бэклунда — цепочки (16.2) и (1.10). (То, что уравнение

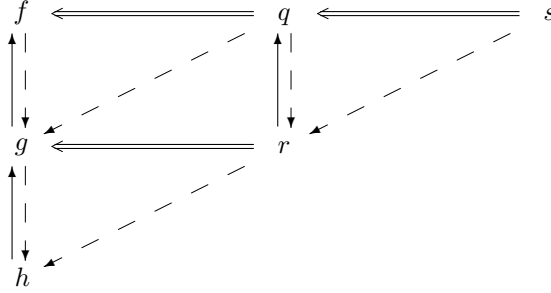


Рис. 16.1: Уравнения, связанные с mKdV

mKdV (3.6), в отличие от (16.1), содержит параметр β , не существенно, так как он убирается преобразованием Галилея.) Как и цепочка (1.10), цепочка (16.2) допускает ряд замен, приводящих к дифференциальным подстановкам из (16.1) в другие интегрируемые уравнения. Они схематически изображены на рис. 16.1. Обозначения — как в разделе 3.

Первая строка на этой диаграмме состоит из двух потенцирований

$$f = q', \quad e^{2q} = s'.$$

Уравнение (16.3), цепочка (16.2) и преобразование B_k (16.3), переписанные в переменных q_j принимают соответственно вид

$$q_t = q_{xxx} - 2q_x^3, \quad (16.4)$$

$$q'_{j+1} + q'_j = \exp(q_{j+1} - q_j) - \alpha_j \exp(q_j - q_{j+1}), \quad (16.5)$$

$$\tilde{q}_k = q_k + \ln \left(\frac{e^{q_{k+1} - q_{k-1}} + \alpha_k}{e^{q_{k+1} - q_{k-1}} + \alpha_{k-1}} \right); \quad (16.6)$$

в переменных s_j — вид

$$s_t = s_{xxx} - \frac{3s_{xx}^2}{2s_x},$$

$$s'_{j+1} s'_j = (s_{j+1} - \alpha_j s_j)^2,$$

$$\tilde{s}_k = \frac{s_{k+1} s_k + (\alpha_k - \alpha_{k-1}) s_{k+1} s_{k-1} - \alpha_k^2 s_k s_{k-1}}{s_{k+1} - (\alpha_k - \alpha_{k-1}) s_k - \alpha_{k-1}^2 s_{k-1}}.$$

(При этом параметры цепочек α_j меняются, как в формуле (16.3). Для краткости мы не выписываем те переменные, на которые B_k действует тождественно.)

Отметим, что если $\alpha_j \neq 0$, то цепочка (16.5), приведенная сдвигом $q_j \rightarrow q_j + c_j$ к виду

$$q'_{j+1} + q'_j = \gamma_j \operatorname{sh}(q_{j+1} - q_j),$$

задает преобразование Бэклунда для уравнения sh-Gordon [24]

$$q_{xy} = \operatorname{sh} 2q,$$

которое, как известно, является симметрией (16.4). (В качестве второй половины преобразования Бэклунда обычно принимают цепочку $(q_{j+1} - q_j)_y =$

$2 \operatorname{sh}(q_{j+1} + q_j)/\gamma_j$.) При этом формула (16.6) после несложных преобразований приводит к известному принципу нелинейной суперпозиции [24]

$$\operatorname{th} \frac{1}{2}(q_{k+1} - q_{k-1}) = \frac{\gamma_k + \gamma_{k-1}}{\gamma_k - \gamma_{k-1}} \operatorname{th} \frac{1}{2}(q_k - \tilde{q}_k).$$

Замены $s \rightarrow r$, $q \rightarrow r$, $r \rightarrow q$ задаются соответственно формулами

$$2r_j = \ln(s_{j+1} - \alpha_j s_j), \quad 2r_j = q_{j+1} + q_j, \quad 2q = 2r - \ln(r' + \sqrt{r'^2 + \alpha}).$$

При этом на переменные r_j получаем

$$\begin{aligned} r_t &= r_{xxx} - \frac{3r_x r_{xx}^2}{2(r_x^2 + \alpha)} - 2r_x^3, \\ \left(r'_{j+1} + \sqrt{r_{j+1}'^2 + \alpha_{j+1}} \right) \left(r'_j + \sqrt{r_j'^2 + \alpha_j} \right) &= \exp(2r_{j+1} - 2r_j), \\ \tilde{r}_k &= r_k + L, \quad \tilde{r}_{k-1} = r_{k-1} + L, \quad 2L = \ln \left(\frac{e^{r_k - r_{k-1}} + \alpha_k}{e^{r_k - r_{k-1}} + \alpha_{k-1}} \right). \end{aligned}$$

Замены $r \rightarrow g$, $q \rightarrow g$, $f \rightarrow g$, $g \rightarrow f$ задаются формулами

$$\begin{aligned} g - \alpha/g &= 2r', \quad g_j = \exp(q_{j+1} - q_j), \\ g - \alpha/g &= f_{j+1} + f_j, \quad 2f = g - (g' + \alpha)/g. \end{aligned}$$

На переменные g_j получаем

$$g_t = g_{xxx} - 3 \frac{g_x g_{xx}}{g} + \frac{3g_x^3}{2g^2} - \frac{3}{2} \left(g - \frac{\alpha}{g} \right)^2 g_x, \quad (16.7)$$

$$(g_{j+1} g_j)' = g_{j+1} g_j (g_{j+1} - g_j) - \alpha_{j+1} g_j + \alpha_j g_{j+1}, \quad (16.8)$$

$$\tilde{g}_k = g_k G, \quad \tilde{g}_{k-1} = g_{k-1}/G, \quad G = \frac{g_k g_{k-1} + \alpha_{k-1}}{g_k g_{k-1} + \alpha_k}.$$

Наконец, замены $r \rightarrow h$, $g \rightarrow h$, $h \rightarrow g$ имеют вид

$$h_{j+1} = \exp(2(r_{j+1} - r_j)), \quad h_{j+1} = g_{j+1} g_j, \quad 2g = (R + h')/(h + \alpha_{-1})$$

и на переменные h_j получаем

$$h_t = h_{xxx} - \frac{3h_x (h_{xx} + 2\dot{P})^2}{2(h_x^2 + 4P)} + 6(2h + \alpha + \alpha_{-1})h_x, \quad (16.9)$$

$$(R_{j+1} + h'_{j+1})(R_j + h'_j) = 4h_{j+1}(h_{j+1} + \alpha_j)(h_j + \alpha_{j-1}), \quad (16.10)$$

$$\tilde{h}_{k\pm 1} = h_{k\pm 1} \left(\frac{h_k + \alpha_k}{h_k + \alpha_{k-1}} \right)^{\pm 1},$$

где

$$R_j^2 = h_j'^2 + 4P_j(h_j), \quad P_j(h_j) = h_j(h_j + \alpha_j)(h_j + \alpha_{j-1}).$$

Отметим, что уравнение (16.7) совпадает, с точностью до преобразования Галилея, с уравнением (3.11), а соответствующие цепочки отличаются только знаком при одном из линейных членов. Если рассмотреть только одну пару соседних членов в этих цепочках, то легко убедиться, что фактически это одно и то же преобразование Бэклунда. Тем не менее, структура

этих двух цепочек совершенно различна, что видно уже из сравнения формул нелинейной суперпозиции. То же самое можно сказать про уравнения (16.9) и (3.14). Таким образом, экспоненциальное и эллиптическое уравнения Калоджеро имеют по две похожие цепочки, одна из которых унаследована от KdV, а другая от mKdV.

Оказывается, что, кроме того, уравнение (16.7) имеет и свое собственное преобразование Бэклунда. Соответствующая цепочка в переменных $\varphi = \ln g$ приводилась в [65]. Ее, и ее автопреобразования можно вывести по схеме из раздела 14, приняв за основу представление нулевой кривизны (14.7) для уравнения (16.7), где

$$U = \frac{1}{2} \begin{pmatrix} 0 & g - \frac{\alpha\lambda}{g} \\ g - \frac{\alpha}{\lambda g} & 0 \end{pmatrix},$$

$$V = U_{xx} - \left(\frac{3g_x^2}{2g^2} + \frac{1}{2} \left(g - \frac{\alpha}{g} \right)^2 + \frac{\alpha}{\lambda} (\lambda - 1)^2 \right) U - \alpha \left(\lambda - \frac{1}{\lambda} \right) \frac{g_x}{2g} \begin{pmatrix} 1 & 0 \\ 0 & -1 \end{pmatrix}.$$

Вид матрицы W_j легко находится непосредственно из (14.1):

$$W_j = (g_{j+1}g_j)^{-1/2} \begin{pmatrix} Y_j & g_{j+1}g_j - \alpha\lambda \\ g_{j+1}g_j - \frac{\alpha}{\lambda} & Y_j \end{pmatrix},$$

$$Y_j = \sqrt{g_{j+1}^2g_j^2 + 2\varepsilon_j g_{j+1}g_j + \alpha^2}.$$

При этом мы получаем цепочку

$$(g_{j+1}g_j)' = Y_j(g_{j+1} - g_j). \quad (16.11)$$

Подчеркнем, что здесь, в отличие от цепочки (16.8), параметр α фиксирован, но зато появился новый параметр ε_j . Формула (14.2) в данном случае приводит к преобразованию

$$B_k : \begin{cases} \tilde{g}_k = g_k - \frac{2(\varepsilon_k - \varepsilon_{k-1})g_k^2(g_{k+1} - g_{k-1})}{(Y_k + Y_{k-1})^2 - g_k^2(g_{k+1} - g_{k-1})^2}, & \tilde{g}_j = g_j, \quad j \neq k, \\ \tilde{\varepsilon}_k = \varepsilon_{k-1}, \quad \tilde{\varepsilon}_{k-1} = \varepsilon_k, \quad \tilde{\varepsilon}_j = \varepsilon_j, \quad j \neq k, k-1 \end{cases} \quad (16.12)$$

(ср. с (3.9) и (16.3)). Как и ранее, формулы (16.7), (16.11), (16.12) удается переписать еще в нескольких переменных. Так мы приходим к диаграмме, изображенной на рис. 16.2. Горизонтальная стрелка соответствует потенцированию $g = p'$, переводящему уравнение (16.7) в уравнение

$$p_t = p_{xxx} - \frac{3(p_{xx}^2 - \alpha^2)}{2p_x} - \frac{1}{2}p_x^3 + 3\alpha p_x,$$

цепочку (16.8) в цепочку

$$2p'_{j+1}p'_j = \exp(p_{j+1} - p_j) + (\varepsilon_j^2 - \alpha^2) \exp(p_j - p_{j+1}) - 2\varepsilon_j$$

и преобразование (16.11) в преобразование

$$\tilde{p}_k = p_k + \ln \left(\frac{e^{p_{k+1}} + (\alpha^2 - \varepsilon_k^2)e^{p_{k-1}} + (\varepsilon_k - \varepsilon_{k-1})e^{p_{k+1} - p_k + p_{k-1}}}{e^{p_{k+1}} + (\alpha^2 - \varepsilon_{k-1}^2)e^{p_{k-1}} - (\varepsilon_k - \varepsilon_{k-1})e^{p_k}} \right).$$

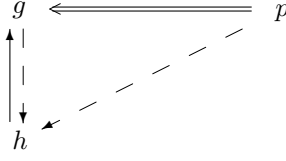


Рис. 16.2: Уравнения, связанные с экспоненциальным уравнением Калоджеро

Замены $p \rightarrow h, g \rightarrow h, h \rightarrow g$ имеют соответственно вид

$$g_{j+1}g_j = h_j + (\varepsilon_j^2 - \alpha^2)/(4h_j) - \varepsilon_j, \quad 2g = (R - h_x)/h$$

и на переменную h мы получаем

$$h_t = h_{xxx} - \frac{3h_x(h_{xx} + 2\dot{P})^2}{2(h_x^2 + 4P)} + 3(4h + \alpha - \varepsilon)h_x, \quad (16.13)$$

$$(R_{j+1} + h'_{j+1})(R_j + h'_j) = h_j(2h_{j+1} - \varepsilon_{j+1} - \alpha)(2h_j - \varepsilon_{j+1} + \alpha), \quad (16.14)$$

$$\tilde{h}_k = h_k H, \quad \tilde{h}_{k-1} = h_{k-1}/H,$$

где

$$R_j^2 = h_j'^2 + 4P_j(h_j), \quad P_j(h_j) = h_j(h_j - \frac{1}{2}(\varepsilon_j + \alpha))(h_j - \frac{1}{2}(\varepsilon_j - \alpha)),$$

$$H = \frac{4h_k h_{k-1} - 2(\varepsilon_k - \varepsilon_{k-1})h_{k-1} - \varepsilon_{k-1}^2 + \alpha^2}{4h_k h_{k-1} + 2(\varepsilon_k - \varepsilon_{k-1})h_k - \varepsilon_k^2 + \alpha^2}.$$

Как и в случае цепочек (3.12), (16.8), сравнение цепочек (3.15), (16.10) и (16.14) показывает, что они эквивалентны последовательностям из фактически одних и тех же преобразований Бэклунда для уравнения (16.13), только по разному сцепленных.

17 О многополевых нелинейных системах Шредингера

Известно, что система (15.2) допускает целый ряд интегрируемых многополевых обобщений вида

$$u_t = u_{xx} + 2\{uvu\}, \quad -v_t = v_{xx} + 2\{vuv\}, \quad (17.1)$$

где u, v векторы, возможно разной размерности, а $\{ \}$ обозначает некоторое трилинейное произведение, то есть

$$\{uvu\}^i = \sum_{j,k,l} a_{jkl}^i u^j v^k u^l, \quad \{vuv\}^i = \sum_{j,k,l} b_{jkl}^i v^j u^k v^l.$$

Первый пример появился в работе [56], а в [19] была установлена связь интегрируемых систем этого типа с эрмитовыми симметрическими пространствами. В работе [36] для систем вида (17.1) был найден чисто алгебраический критерий интегрируемости. Оказалось, что если система (17.1) неприводима (то есть не может быть приведена к блочно-треугольному виду линейной заменой переменных), то необходимым и достаточным для существования высших симметрий и законов сохранения является следующее

условие: операция $\{ \}$ удовлетворяет тождествам, определяющим некоторую алгебраическую структуру, называемую йордановой парой (см. определение ниже). Оказалось также, что это же условие необходимо и достаточно для наличия цепочки преобразований Бэклунда вида

$$\begin{cases} u_{j,x} &= u_{j+1} + \beta_j u_j + \{u_j v_{j+1} u_j\}, \\ -v_{j,x} &= v_{j-1} + \beta_{j-1} v_j + \{v_j u_{j-1} v_j\} \end{cases} \quad (17.2)$$

обобщающей цепочку (15.8) (см. [37], где рассматривалась цепочка (17.2) с нулевыми параметрами β_j). В этом разделе нас интересует вопрос о существовании аналогов преобразований (15.11) для этих цепочек. Рассмотрим сначала два характерных примера, для которых мы можем предъявить представление нулевой кривизны и построить автопреобразования согласно общей схеме.

1) Пусть u и v обозначают матрицы размера $m \times n$, а операция $\{ \}$ задается формулой

$$\{uvp\} = (uv^\top p + pv^\top u)/2.$$

Тогда система (17.1) принимает вид

$$u_t = u_{xx} + 2uv^\top u, \quad -v_t = v_{xx} + 2vu^\top v$$

и имеет представление нулевой кривизны (14.7) с матрицами размера $(m+n) \times (m+n)$

$$U = \begin{pmatrix} -m\lambda I_n & -v^\top \\ u & n\lambda I_m \end{pmatrix}, \quad V = (m+n)\lambda U + \begin{pmatrix} -v^\top u & v_x^\top \\ u_x & uv^\top \end{pmatrix},$$

где I_n есть n -мерная единичная матрица. В частности, при $n = 1$, $m = 2$ получаем систему Манакова [56]

$$u_t = u_{xx} + 2\langle u, v \rangle u, \quad -v_t = v_{xx} + 2\langle u, v \rangle v$$

где $\langle \cdot, \cdot \rangle$ обозначает стандартное скалярное произведение. Цепочка преобразований Бэклунда задается матрицей

$$W_j = \begin{pmatrix} I_n & -v_{j+1}^\top \\ u_j & (m+n)\lambda I_m - \beta_j I_m - u_j v_{j+1}^\top \end{pmatrix}.$$

Сами цепочки в этом разделе мы не будем выписывать, так как все они имеют вид (17.2) и легко восстанавливаются по исходной системе. Формула (14.2) приводит к преобразованию

$$B_k : \begin{cases} \tilde{u}_k = u_k + (\beta_{k-1} - \beta_k) u_{k-1} (I_n - v_{k+1}^\top u_{k-1})^{-1}, \\ \tilde{v}_k = v_k + (\beta_k - \beta_{k-1}) v_{k+1} (I_n - u_{k-1}^\top v_{k+1})^{-1}, \\ \tilde{\beta}_{k-1} = \beta_k, \quad \tilde{\beta}_k = \beta_{k-1}. \end{cases}$$

В частности, для системы Манакова имеем

$$\tilde{u}_k = u_k + \frac{\beta_{k-1} - \beta_k}{1 - \langle u_{k-1}, v_{k+1} \rangle} u_{k-1}, \quad \tilde{v}_k = v_k + \frac{\beta_k - \beta_{k-1}}{1 - \langle u_{k-1}, v_{k+1} \rangle} v_{k+1}.$$

При $m = n = 1$ все формулы переходят в соответствующие формулы для нелинейной системы Шредингера.

2) Пусть теперь u и v обозначают n -мерные векторы-столбцы,

$$\{uvp\} = \langle u, v \rangle p + \langle v, p \rangle u - \langle p, u \rangle v.$$

Соответствующая система (17.1) принимает вид

$$u_t = u_{xx} + 4\langle u, v \rangle u - 2\langle u, u \rangle v, \quad -v_t = v_{xx} + 4\langle u, v \rangle v - 2\langle v, v \rangle u.$$

Она рассматривалась в работе [59] и имеет представление (14.7) с матрицами размера $(n+2) \times (n+2)$

$$U = \begin{pmatrix} -\lambda & -2v^\top & 0 \\ u & 0 & 2v \\ 0 & -u^\top & \lambda \end{pmatrix}, \quad V = \lambda U + \begin{pmatrix} -2v^\top u & 2v_x^\top & 0 \\ u_x & 2uv^\top - 2vu^\top & -2v_x \\ 0 & -u_x^\top & 2u^\top v \end{pmatrix}.$$

Цепочка (17.2) задается матрицей

$$W_j = \begin{pmatrix} 1 & -2v_{j+1}^\top & -2v_{j+1}^\top v_{j+1} \\ u_j & (\lambda - \beta_j)I_n - 2u_j v_{j+1}^\top & 2(\lambda - \beta_j - u_j v_{j+1}^\top) v_{j+1} \\ -\frac{1}{2}u_j^\top u_j & u_j^\top (u_j v_{j+1}^\top - \lambda + \beta_j) & (\lambda - \beta_j)^2 - 2(\lambda - \beta_j)u_j^\top v_{j+1} + u_j^\top u_j v_{j+1}^\top v_{j+1} \end{pmatrix},$$

а преобразования (14.2) имеют вид

$$B_k : \begin{cases} \tilde{u}_k = u_k + \frac{(\beta_{k-1} - \beta_k)(u_{k-1} - \langle u_{k-1}, u_{k-1} \rangle v_{k+1})}{1 - 2\langle v_{k+1}, u_{k-1} \rangle + \langle v_{k+1}, v_{k+1} \rangle \langle u_{k-1}, u_{k-1} \rangle}, \\ \tilde{u}_k = v_k + \frac{(\beta_k - \beta_{k-1})(v_{k+1} - \langle v_{k+1}, v_{k+1} \rangle u_{k-1})}{1 - 2\langle v_{k+1}, u_{k-1} \rangle + \langle v_{k+1}, v_{k+1} \rangle \langle u_{k-1}, u_{k-1} \rangle}, \\ \tilde{\beta}_{k-1} = \beta_k, \quad \tilde{\beta}_k = \beta_{k-1}. \end{cases}$$

При $n = 1$ все формулы также переходят в соответствующие формулы для нелинейной системы Шредингера.

* * *

Приведем теперь некоторые сведения о йордановых парах (см. также [27, 36]). Йордановой парой называется прямая сумма $J = J^+ \oplus J^-$ векторных пространств над некоторым полем \mathbb{F} (в нашем случае \mathbb{R} или \mathbb{C}), наделенная трилинейной операцией

$$\{\} : J^\pm \times J^\mp \times J^\pm \rightarrow J^\pm$$

удовлетворяющей тождествам

$$\{abc\} = \{cba\}, \quad (17.3)$$

$$\{ab\{cde\}\} - \{cd\{abe\}\} = \{\{abc\}de\} - \{c\{bad\}e\}. \quad (17.4)$$

Для удобства мы до конца этого раздела примем, что $u, p \in J^+$, а $v, q \in J^-$. Для любых p, q рассмотрим оператор

$$L(p, q) : J \rightarrow J, \quad L(p, q)(u + v) = \{pqu\} - \{qpv\}, \quad (17.5)$$

а также операторы $L^\pm(p, q) = \pm L(p, q)|_{J^\pm}$,

$$L^\pm(p, q) : J^\pm \rightarrow J^\pm, \quad L^+(p, q)(u) = \{pqu\}, \quad L^-(p, q)(v) = \{qpv\}.$$

Тождество (17.4) означает, что $L(u, v) \in \text{Der}(J)$ и, кроме того, эквивалентно следующему коммутационному правилу:

$$[L(u, v), L(p, q)] = L(\{uvp\}, q) - L(p, \{vuiq\}). \quad (17.6)$$

Дифференцирование (17.5) называется внутренним, и из (17.6) мы видим, что все внутренние дифференцирования образуют некоторую подалгебру Ли $\text{Inder}(J) \subseteq \text{Der}(J)$. Примером внешнего дифференцирования служит отображение

$$\sigma : J \rightarrow J, \quad \sigma(u + v) = u - v.$$

Далее нам понадобятся некоторые свойства решения линейной алгебраической системы

$$u + \{pvp\} = \alpha p, \quad v + \{quq\} = -\alpha q, \quad (17.7)$$

где u, v неизвестные, а p, q и $\alpha \in \mathbb{F}$ заданы. Подставляя одно уравнение системы в другое, получаем уравнение

$$(1 - S(p, q))(u + v) = \alpha(\sigma + L(p, q))(p + q),$$

где оператор $S(p, q)$ определен формулой

$$S(p, q)(u + v) = \{p\{quq\}p\} + \{q\{pvp\}q\}.$$

При помощи тождества (17.5) легко показать, что

$$S(p, q) = 2L^2(p, q) - L(\{pqr\}, q)\sigma.$$

Лемма 17.1. Пусть операторы

$$1 - S(p, q), \quad \sigma - L(p, q), \quad 1 - 2L(p, q)\sigma + S(p, q) \quad (17.8)$$

невырождены. Тогда система (17.7) имеет единственное решение u, v , которое задается формулой

$$u = \alpha(1 - L^+(p, q))^{-1}(p), \quad v = -\alpha(1 - L^-(p, q))^{-1}(q) \quad (17.9)$$

и для которого оператор

$$M = L(u, q) + L(p, v) \quad (17.10)$$

равен нулю.

Доказательство. Существование и единственность решения следуют из обратимости первого из операторов (17.8). Положим $\bar{u} = M(p)$, $\bar{v} = -M(q)$. Имеем

$$\begin{aligned} \bar{u} &= \{uqr\} + \{pvp\} = \{(\alpha p - \{pvp\})qr\} - \{p(\alpha q + \{quq\})p\} = \\ &= -\{p(\{vpq\} + \{quq\})p\} = -\{p\bar{v}p\}, \end{aligned}$$

и аналогично $\bar{v} = -\{q\bar{u}q\}$. Таким образом, \bar{u}, \bar{v} служат решениями однородной системы (17.7) и, следовательно равны нулю, то есть

$$\{uqr\} + \{pvp\} = 0, \quad \{quq\} + \{vpq\} = 0. \quad (17.11)$$

В силу этих соотношений система (17.7) переписывается в виде

$$u - \{pqu\} = \alpha p, \quad v - \{qpv\} = -\alpha q,$$

что эквивалентно одному уравнению $(\sigma - L(p, q))(u + v) = \alpha(p + q)$. В силу невырожденности второго из операторов (17.8) решение этой системы существует, единственно и задается формулой (17.9).

Докажем, что оператор M нулевой. Пусть $\bar{u} = M(y)$, $y \in J^+$. Имеем

$$\begin{aligned} S(p, q)(\bar{u}) &= \{p\{q\{uqy\}q\}p\} + \{p\{q\{pvy\}q\}p\} = \\ &= \{p\{\{qyq\}yq\}p\} + \{p\{2\{qy\{qpv\}\} - \{vp\{qyq\}\}\}p\} = \\ &= 2\{p\{qy(v + \alpha q)\}p\} - \{p\{(v + \alpha q)yq\}p\} + \{(u - \alpha p)\{qyq\}p\} = \\ &= \{p\{qyv\}p\} + \{p\{qyq\}u\} = \\ &= 2\{pv\{pqu\}\} - \{\{pvp\}qy\} - \{yq\{pqu\}\} + \\ &\quad + \{pq\{yqu\}\} + \{\{yqp\}qy\}. \end{aligned}$$

В силу (17.11) второй и третий члены в последнем выражении сокращаются. Продолжая цепочку равенств, имеем

$$\begin{aligned} S(p, q)(\bar{u}) &= 2\{\{pvp\}qy\} - 2\{p\{vpq\}y\} + 2\{pq\{pvy\}\} + \\ &\quad + 2\{pq\{yqu\}\} - \{p\{quq\}y\} + \{\{pqu\}qy\} = \\ &= 2L(p, q)(\bar{u}) + \{(\alpha p - u)qy\} - \{p\{v + \alpha q\}y\} = \\ &= 2L(p, q)(u) - \bar{u}. \end{aligned}$$

Аналогично, можно показать, что

$$(S(p, q) + 2L(p, q) + 1)M(z) = 0, \quad z \in J^-.$$

Используя невырожденность третьего из операторов (17.8), получаем отсюда требуемое утверждение. \blacksquare

* * *

Вернемся теперь к системе (17.1), в предположении, что $\{\}$ есть умножение в йордановой паре. Уравнение (17.1) допускает представление нулевой кривизны в терминах структурной алгебры Ли йордановой пары J , то есть прямой суммы

$$\text{strl}(J) = J \oplus \text{Der}(J)$$

с коммутатором

$$[u + v + d, p + q + \delta] = (d(p) - \delta(u)) + (d(q) - \delta(v)) + L(u, q) - L(p, v) + [d, \delta].$$

Действительно, легко проверяется, что соотношение (14.7) в котором

$$U = u - 2v + \lambda\sigma, \quad V = u_x + 2v_x + 2L(u, v) + \lambda U$$

эквивалентно уравнению (17.1). В противоположность этому, для цепочки (17.2) такое инвариантное представление автору неизвестно, хотя, как мы видели в приведенных примерах, для конкретных йордановых пар удается найти матричные представления вида (14.1). По этой причине применить схему из раздела 14 в общем случае не удастся. Тем не менее, автопреобразование цепочки (17.2) удастся найти, просто сделав предположение, что оно имеет ту же структуру, что и в скалярном случае. Разумеется, для разобранных примеров новое преобразование совпадает с ранее найденными.

Теорема 17.2. Цепочка (17.2) со скобкой, удовлетворяющей тождествам (17.3), (17.4), допускает следующее автопреобразование:

$$\begin{cases} \tilde{u}_k = u_k + (\beta_{k-1} - \beta_k)(1 - L^+(u_{k-1}, v_{k+1}))^{-1}u_{k-1}, \\ \tilde{v}_k = v_k + (\beta_k - \beta_{k-1})(1 - L^-(u_{k-1}, v_{k+1}))^{-1}v_{k+1}, \\ \tilde{u}_j = u_j, \quad \tilde{v}_j = v_j, \quad j \neq k, \\ \tilde{\beta}_{k-1} = \beta_k, \quad \tilde{\beta}_k = \beta_{k-1}, \quad \tilde{\beta}_j = \beta_j, \quad j \neq k-1, k. \end{cases} \quad (17.12)$$

Доказательство. Будем искать преобразование цепочки той же структуры, что и (15.11), то есть не меняющее u_j, v_j при $j \neq k$ и переставляющие местами параметры β_k и β_{k-1} . Для такого преобразования должны выполняться соотношения

$$\begin{aligned} u_{k-1,x} &= u_k + \beta_{k-1}u_{k-1} + \{u_{k-1}v_k u_{k-1}\} = \tilde{u}_k + \beta_k u_{k-1} + \{u_{k-1}\tilde{v}_k u_{k-1}\}, \\ -v_{k+1,x} &= v_k + \beta_k v_{k+1} + \{v_{k+1}u_k v_{k+1}\} = \tilde{v}_k + \beta_{k-1}v_{k+1} + \{v_{k+1}\tilde{u}_k v_{k+1}\}, \end{aligned}$$

из которых получаем для нахождения \tilde{u}_k, \tilde{v}_k систему

$$\begin{cases} \tilde{u}_k - u_k + \{u_{k-1}(\tilde{v}_k - v_k)u_{k-1}\} = (\beta_{k-1} - \beta_k)u_{k-1}, \\ \tilde{v}_k - v_k + \{v_{k+1}(\tilde{u}_k - u_k)v_{k+1}\} = (\beta_k - \beta_{k-1})v_{k+1}, \end{cases} \quad (17.13)$$

Это система вида (17.7), где $p = u_{k-1}$, $q = v_{k+1}$ и т.д.. Согласно Лемме 17.1 ее решение задается формулой (17.12). При этом предположение относительно обратимости операторов (17.8) справедливо, по крайней мере когда u_{k-1}, v_{k+1} лежат в окрестности нуля. Для завершения доказательства осталось проверить, что соотношения (17.13) совместны с остальными уравнениями цепочки (17.2). Дифференцируя, например, первое из уравнений (17.13) в силу цепочки, получаем после сокращений соотношение

$$\{(\tilde{u}_k - u_k)v_{k+1}(\tilde{u}_k + u_k)\} + \{u_{k-1}(\tilde{v}_k - v_k)(\tilde{u}_k + u_k)\} = 0,$$

которое верно, так как в силу Леммы 17.1 оператор $L(\tilde{u}_k - u_k, v_{k+1}) + L(u_{k-1}, \tilde{v}_k - v_k)$ нулевой. \blacksquare

18 Модель Ландау-Лифшица и другие примеры

Результаты, полученные для цепочки (15.6), могут быть перенесены и на цепочки, рассматриваемые в этом разделе. Все они имеют гамильтонову структуру

$$\begin{pmatrix} u_j \\ v_{j+1} \end{pmatrix}_x = \Delta_j \begin{pmatrix} 0 & 1 \\ -1 & 0 \end{pmatrix} \begin{pmatrix} \delta h_j / \delta u_j \\ \delta h_j / \delta v_{j+1} \end{pmatrix} \quad (18.1)$$

где $\delta h_j / \delta u_j = \sum_k \partial h_k / \partial u_j$, $\delta h_j / \delta v_{j+1} = \sum_k \partial h_k / \partial v_{j+1}$. Заметим, что структурную функцию $\Delta_j = \Delta(u_j, v_{j+1})$ точечной заменой всегда можно превратить в 1, но это может привести к усложнению вида рассматриваемых цепочек. Для цепочки (15.6) $\Delta_j = 1$, h_j имеет вид (11).

Для каждой цепочки приводится ассоциированная система в частных производных и преобразования (14.2). Приводятся также матрицы, задающие представления (14.1) и (14.7).

Пример 1. Система

$$u_t = u_{xx} + (2uv + \beta)u_x, \quad v_t = -v_{xx} + (2uv + \beta)v_x,$$

при $\beta = 0$ рассматривалась в работе [10]. Представление нулевой кривизны (14.7) задается матрицами

$$U = \begin{pmatrix} r & \lambda u \\ \lambda v & -r \end{pmatrix}, \quad V = (2r + \beta)U + \begin{pmatrix} (vu_x - uv_x)/2 & \lambda u_x \\ -\lambda v_x & (uv_x - vu_x)/2 \end{pmatrix},$$

где $r = (uv - \lambda^2)/2$, а матрица W равна

$$W_j = (u_j v_{j+1} + \beta_j)^{-1/2} \begin{pmatrix} u_j v_{j+1} + \beta_j - \lambda^2 & \lambda u_j \\ \lambda v_{j+1} & \beta_j \end{pmatrix}.$$

Цепочка (14.1) имеет вид

$$u_{j,x} = (u_j v_{j+1} + \beta_j)(u_{j+1} - u_j), \quad v_{j,x} = (v_j u_{j-1} + \beta_{j-1})(v_j - v_{j-1}),$$

и может быть записана в гамильтоновом виде (18.1), где

$$\Delta_j = u_j v_{j+1} + \beta_j, \quad h_j = (u_{j+1} - u_j)v_{j+1}.$$

Преобразования (14.2) имеют вид

$$B_k : \begin{cases} \tilde{u}_k = u_k + (\beta_k - \beta_{k-1}) \frac{u_{k-1} - u_k}{\beta_k + u_{k-1}v_{k+1}}, \\ \tilde{v}_k = v_k + (\beta_{k-1} - \beta_k) \frac{v_{k+1} - v_k}{\beta_{k-1} + u_{k-1}v_{k+1}}, \\ \tilde{\beta}_{k-1} = \beta_k, \quad \tilde{\beta}_k = \beta_{k-1}. \end{cases}$$

Пример 2. Система

$$u_t = u_{xx} + 2(u+v)u_x, \quad v_t = -v_{xx} + 2(u+v)v_x$$

эквивалентна системе Каупа [23]. Матрицы U, V и W есть

$$U = \begin{pmatrix} (u-v)/2 & (u+\lambda)(v+\lambda) \\ 1 & (v-u)/2 \end{pmatrix},$$

$$V = (u+v-2\lambda)U + \begin{pmatrix} (u_x+v_x)/2 & \lambda(u_x-v_x) + vu_x - uv_x \\ 0 & -(u_x+v_x)/2 \end{pmatrix},$$

$$W_j = (u_j + v_{j+1})^{-1/2} \begin{pmatrix} u_j - \lambda & u_j v_{j+1} + (\lambda - \beta_j)(u_j + v_{j+1}) + \lambda^2 \\ 1 & v_{j+1} - \lambda \end{pmatrix}.$$

Цепочка (14.1) имеет вид

$$u_{j,x} = (u_j + v_{j+1})(u_{j+1} - u_j + \beta_j), \quad v_{j,x} = (v_j + u_{j-1})(v_j - v_{j-1} - \beta_{j-1}),$$

а ее гамильтонова структура (18.1) определяется функциями

$$\Delta_j = u_j + v_{j+1}, \quad h_j = (u_{j+1} - u_j)v_{j+1} + \beta_j(u_j + v_{j+1}).$$

Преобразования цепочки задаются формулой

$$B_k : \begin{cases} \tilde{u}_k = u_k + (\beta_{k-1} - \beta_k) \frac{u_k + v_{k+1}}{u_{k-1} + v_{k+1} - \beta_{k-1}}, \\ \tilde{v}_k = v_k + (\beta_k - \beta_{k-1}) \frac{v_k + u_{k-1}}{u_{k-1} + v_{k+1} - \beta_k}, \\ \tilde{\beta}_{k-1} = \beta_k, \quad \tilde{\beta}_k = \beta_{k-1}. \end{cases}$$

Оставшиеся примеры посвящены системам вида

$$\begin{cases} u_t = u_{xx} - \frac{2}{u+v}(u_x^2 + P(u)) + \frac{1}{2}P'(u), \\ -v_t = v_{xx} - \frac{2}{u+v}(v_x^2 + P(-v)) - \frac{1}{2}P'(-v) \end{cases} \quad (18.2)$$

где P полином не выше 4 степени. Хорошо известно (см. например [57]), что модель Ландау-Лифшица

$$S_\tau = S \times S_{xx} + S \times JS, \quad S \in \mathbb{R}^3, \quad \langle S, S \rangle = 1, \quad J = \text{diag}(J_1, J_2, J_3),$$

приводится к этому виду при помощи стереографической проекции

$$S_1 = \frac{1+uv}{u+v}, \quad S_2 = -i \frac{1-uv}{u+v}, \quad S_3 = \frac{u-v}{u+v}$$

и замены $t = i\tau$, причем $P(u) = \varepsilon u^4 + \delta u^2 + \varepsilon$, $2\delta = J_1 + J_2 - 2J_3$, $4\varepsilon = J_2 - J_1$. При $P = 0$ получаем случай магнетика Гейзенберга, при $\varepsilon = 0$ или $\delta = \pm 2\varepsilon$ легкоосное вырождение модели Ландау-Лифшица.

При дробно-линейных заменах

$$\tilde{u} = \frac{au+b}{cu+d}, \quad \tilde{v} = \frac{-av+b}{cv-d}$$

вид системы (18.2) не меняется, а полином P меняется также, как в уравнении $u_x^2 = P(u)$. Легко убедиться, что это позволяет свести изучение системы к рассмотрению 3 случаев: $P(u) = \varepsilon$, $P(u) = \delta u^2$, $P(u) = u^3 + au + b$, причем в последнем случае корни $P(u)$ могут быть и кратными.

Система (18.2) допускает цепочку преобразований Бэклунда, которая может быть записана в гамильтоновом виде (18.1), где

$$\Delta_j = r_j, \quad h_j = \ln(u_j + v_j) - \frac{1}{2} \ln r_j.$$

Функция r_j будет ниже уточняться для каждого случая. Коэффициенты $\varepsilon, \delta, a, b$ многочлена $P(u)$ не зависят от номера j .

Пример 3. Рассмотрим сначала случай $P(u) = \varepsilon$. Представления (14.1), (14.7) задаются матрицами

$$U = \frac{\lambda}{u+v} \begin{pmatrix} (u-v)/2 & uv - \varepsilon \lambda^{-2} \\ 1 & (v-u)/2 \end{pmatrix},$$

$$V = -\lambda U + \frac{\lambda}{(u+v)^2} \begin{pmatrix} (uv)_x & v^2 u_x - u^2 v_x + \frac{\varepsilon}{\lambda^2} (u_x - v_x) - \frac{2\varepsilon}{\lambda} (u+v) \\ v_x - u_x & -(uv)_x \end{pmatrix},$$

$$W_j = r_j^{-1/2} \begin{pmatrix} \lambda v_{j+1} - \beta_j (u_j + v_{j+1}) & -\lambda u_j v_{j+1} + \varepsilon/\lambda - \varepsilon/\beta_j \\ -\lambda & \lambda u_j - \beta_j (u_j + v_{j+1}) \end{pmatrix},$$

где $r_j = -\beta_j (u_j + v_{j+1})^2 - \varepsilon/\beta_j$. Преобразования (14.2) определяются формулой

$$B_k : \begin{cases} \tilde{u}_k = u_k + (\beta_k - \beta_{k-1}) \frac{(u_k + v_{k+1})(u_{k-1} - u_k) - \varepsilon/\beta_k \beta_{k-1}}{\beta_k (u_k + v_{k+1}) + \beta_{k-1} (u_{k-1} - u_k)}, \\ \tilde{v}_k = v_k + (\beta_{k-1} - \beta_k) \frac{(v_k + u_{k-1})(v_{k+1} - v_k) - \varepsilon/\beta_k \beta_{k-1}}{\beta_{k-1} (v_k + u_{k-1}) + \beta_k (v_{k+1} - v_k)}, \\ \tilde{\beta}_{k-1} = \beta_k, \quad \tilde{\beta}_k = \beta_{k-1}. \end{cases}$$

При $\varepsilon = 0$ все формулы сохраняют смысл и соответствуют модели магнетика Гейзенберга.

Пример 4. Системе (18.2) при $P(u) = \delta u^2$ соответствует легкоосное вырождение модели Ландау-Лифшица. Представления нулевой кривизны задаются матрицами

$$U = \frac{1}{u+v} \begin{pmatrix} \lambda(u-v)/2 & uv \\ \lambda^2 + \delta & \lambda(v-u)/2 \end{pmatrix},$$

$$V = -\lambda U + \frac{1}{(u+v)^2} \begin{pmatrix} \lambda(uv)_x + \frac{\delta}{2}(v^2 - u^2) & v^2 u_x - u^2 v_x \\ (\lambda^2 + \delta)(v_x - u_x) & -\lambda(uv)_x - \frac{\delta}{2}(v^2 - u^2) \end{pmatrix},$$

$$W_j = r_j^{-1/2} \begin{pmatrix} (\lambda - \beta_j)v_{j+1} + \gamma_j u_j & -u_j v_{j+1} \\ -\lambda^2 - \delta & \lambda u_j - \beta_j u_j + \gamma_j v_{j+1} \end{pmatrix},$$

где $r_j = \gamma_j u_j^2 - 2\beta_j u_j v_{j+1} + \gamma_j v_{j+1}^2$, $\gamma_j^2 - \beta_j^2 = \delta$. Преобразования цепочки имеют вид

$$B_k : \begin{cases} \tilde{u}_k = \frac{(\beta_{k-1} - \beta_k)u_{k-1}v_{k+1} + u_k(\gamma_k u_{k-1} + \gamma_{k-1}v_{k+1})}{(\beta_{k-1} - \beta_k)u_k + \gamma_{k-1}u_{k-1} + \gamma_k v_{k+1}}, \\ \tilde{v}_k = \frac{(\beta_k - \beta_{k-1})u_{k-1}v_{k+1} + v_k(\gamma_k u_{k-1} + \gamma_{k-1}v_{k+1})}{(\beta_k - \beta_{k-1})v_k + \gamma_{k-1}u_{k-1} + \gamma_k v_{k+1}}, \\ \tilde{\beta}_{k-1} = \beta_k, \quad \tilde{\beta}_k = \beta_{k-1}, \quad \tilde{\gamma}_{k-1} = \gamma_k, \quad \tilde{\gamma}_k = \gamma_{k-1}. \end{cases}$$

При $\delta = 0$ и выборе $\gamma_j = -\beta_j$ мы вновь получаем случай магнетика Гейзенберга.

Пример 5. В случае общего положения полином P дробно-линейными преобразованиями приводится к виду $P(u) = u^3 + au + b$. Матрицы, задающие представление (14.7) для системы (18.2) в этом случае имеют вид

$$U = \frac{1}{u+v} \begin{pmatrix} \mu & uv - \lambda(u-v)/2 - \lambda^2 - a \\ (u-v)/2 - \lambda & -\mu \end{pmatrix},$$

$$V = \frac{1}{(u+v)^2} \begin{pmatrix} h & e \\ f & -h \end{pmatrix},$$

где

$$e = (v^2 - \lambda v + \lambda^2 + a)u_x - (u^2 + \lambda u + \lambda^2 + a)v_x + \mu(u+v)(u-v+\lambda),$$

$$f = (v+\lambda)u_x + (u-\lambda)v_x + \mu(u+v),$$

$$h = \mu(v_x - u_x) + (u+v)(uv + \lambda(u-v) + 2\lambda^2 + a)/2.$$

Матрица W_j имеет вид

$$W_j = r_j^{-1/2} \begin{pmatrix} A & B \\ C & D \end{pmatrix},$$

где

$$\begin{aligned}
A &= (\mu + \beta_j)s_j + (\lambda - \gamma_j)(\lambda + \gamma_j - v_{j+1}), \\
B &= (\mu + \beta_j)(\lambda + u_j - v_{j+1}) - (\lambda - \gamma_j)(\lambda + 2\gamma_j)s_j - 2\beta_j(\lambda - \gamma_j), \\
C &= \mu + \beta_j - (\lambda - \gamma_j)s_j, \\
D &= -(\mu + \beta_j)s_j - (\lambda - \gamma_j)(\lambda + \gamma_j + u_j), \\
r_j &= 2\beta_j(s_j^2 + u_j - v_{j+1} + \gamma_j), \\
s_j &= (u_j v_{j+1} + \gamma_j(u_j - v_{j+1}) + a + 2\gamma_j^2)/2\beta_j,
\end{aligned}$$

параметры μ и λ, β_j и γ_j связаны соотношениями

$$\mu^2 + P(\lambda) = 0, \quad \beta_j^2 + P(\gamma_j) = 0.$$

Преобразование B_k задается формулой

$$\tilde{u}_k = \frac{Ku_k - L}{Mu_k + N}, \quad \tilde{v}_k = \frac{Kv_k + L}{-Mv_k + N},$$

где

$$\begin{aligned}
K - N &= 2c_2 u_{k-1} v_{k+1} - (ac_1 + c_3)(u_{k-1} - v_{k+1}) - 2ac_2 - 4bc_1, \\
K + N &= (u_{k-1} + v_{k+1})[\gamma_k \gamma_{k-1}(ac_0 + 3c_2) + 4bc_1 + 3ac_2 + c_4]/(\gamma_{k-1} - \gamma_k), \\
L &= c_3 u_{k-1} v_{k+1} + (ac_2 + 2bc_1)(u_{k-1} - v_{k+1}) + 4bc_2 - a^2 c_1, \\
M &= c_1 u_{k-1} v_{k+1} + c_2(u_{k-1} - v_{k+1}) - c_3,
\end{aligned}$$

и через c_s обозначены величины $c_s = \beta_k \gamma_{k-1}^{s-1} + \beta_{k-1} \gamma_k^{s-1}$.

5 Трансформационные свойства уравнений Пенлеве

Во второй главе было показано, что 4-е и 5-е уравнения Пенлеве обладают представлениями в виде периодически замкнутой цепочки преобразований Дарбу для оператора Шредингера. Здесь приводятся аналогичные представления для уравнений P_2 , P_3 , P_6 и вырожденного случая P_5 , пропущенного ранее. Уравнение P_2 представлено при помощи преобразования Дарбу для скалярного дифференциального оператора 3-го порядка, а остальные — при помощи различных преобразований Дарбу для оператора Дирака. Использование принципа нелинейной суперпозиции позволяет вывести преобразования Шлезингера для уравнений Пенлеве и исследовать их групповые свойства.

19 Калибровочные преобразования

Целью данной главы является представление уравнений Пенлеве при помощи цепочек преобразований Дарбу для какой-либо вспомогательной линейной задачи

$$\Psi' = U\Psi, \quad (19.1)$$

подобно тому, как это было сделано ранее для уравнения Шредингера. Напомним, что уравнения P_4 и P_5 возникали при наложении на одевающую цепочку (1.10) условия инвариантности относительно преобразования $S^N K_\alpha$ из ее дискретной группы. Здесь S есть циклическая перестановка, а K_α — калибровочное преобразование, сдвигающее спектральный параметр в уравнении Шредингера:

$$\tilde{u} = u - \alpha, \quad \tilde{\lambda} = \lambda - \alpha.$$

Этот прием приводит к успеху и в случае других цепочек, но общая схема несколько усложняется из-за того, что, вообще говоря, калибровочное преобразование может иметь более сложный вид. В общем случае оно задается формулой

$$\tilde{U} = A'A^{-1} + AU A^{-1}, \quad (19.2)$$

и если для оператора Шредингера матрица A единичная, так что калибровочное преобразование сводится к простому переобозначению, то, например, в случае оператора Дирака, соответствующего матрице (15.1), она имеет вид

$$A = \text{diag}(e^{\alpha x}, e^{-\alpha x}),$$

и приводит к преобразованию

$$\tilde{u} = ue^{-2\alpha x}, \quad \tilde{v} = ve^{2\alpha x}, \quad \tilde{\lambda} = \lambda - \alpha.$$

Поэтому приходится рассматривать комбинацию преобразования Дарбу и калибровочного. Рассмотрим уравнение

$$\Psi_{j+1}(x, \lambda - \alpha_{j+1}) = A_{j+1}(x)W_j(x, \lambda)\Psi_j(x, \lambda),$$

где α_j некоторые параметры, тогда условие совместности с (19.1) есть

$$(A_{j+1}W_j)' = U_{j+1}(\lambda - \alpha_{j+1})A_{j+1}W_j - A_{j+1}W_jU_j(\lambda). \quad (19.3)$$

После наложения периодического условия система (19.3) становится конечномерной, как и в отсутствие калибровочных преобразований, но при $\alpha = \alpha_1 + \dots + \alpha_N \neq 0$ она определяет некоторый новый класс потенциалов. Матрица

$$\widehat{W}_j(\lambda) = A_{j+N}W_{j+N-1}(\lambda - \alpha_{j+N-1} - \dots - \alpha_{j+1}) \dots A_{j+1}W_j(\lambda)$$

удовлетворяет соотношению

$$\widehat{W}'_j(\lambda) = U_j(\lambda - \alpha)\widehat{W}_j(\lambda) - \widehat{W}_j(\lambda)U_j(\lambda)$$

которое можно рассматривать, как матричную версию (6.4) и дискретный аналог уравнения метода изомодромной деформации

$$V' = U_\lambda + [U, V].$$

(Мы не будем рассматривать здесь связей с этим методом, а также гамильтонову теорию уравнений Пенлеве. Несомненно, она может быть развита на основе гамильтоновых структур соответствующих цепочек, см. [45].)

Определение принципа нелинейной суперпозиции по существу не меняется. Преобразование B_k задается формулой

$$\begin{aligned} A_{k+1}W_k(\lambda - \beta_k)A_kW_{k-1}(\lambda - \beta_{k-1})A_{k-1} &= \\ &= \widetilde{A}_{k+1}\widetilde{W}_k(\lambda - \beta_k)\widetilde{A}_k\widetilde{W}_{k-1}(\lambda - \beta_{k-1})\widetilde{A}_{k-1} \end{aligned} \quad (19.4)$$

где $\beta_k - \beta_{k-1} = \alpha_k$.

20 Второе уравнение Пенлеве

Рассмотрим линейное уравнение $L\Psi = \lambda\Psi$ где $L = D^3 - uD - v$. По аналогии с преобразованием Дарбу (4.4) для оператора Шредингера определим преобразование

$$L_j = (D^2 - f_jD - g_j)(D + f_j), \quad L_{j+1} = (D + f_j)(D^2 - f_jD - g_j) - \alpha_{j+1}.$$

Исключение u_j и v_j приводит к цепочке преобразований Бэклунда

$$\begin{cases} 2f'_{j+1} + f'_j = f_{j+1}^2 - f_j^2 + g_{j+1} - g_j \\ f''_{j+1} - f'_{j+1}f_{j+1} + g'_j = f_{j+1}g_{j+1} - f_jg_j - \alpha_{j+1}. \end{cases} \quad (20.1)$$

Она имеет представление (19.3) с матрицами $A_j = 1$,

$$U_j = \begin{pmatrix} 0 & 1 & 0 \\ 0 & 0 & 1 \\ \lambda + v_j & u_j & 0 \end{pmatrix}, \quad W_j = \begin{pmatrix} f_j & 1 & 0 \\ f'_j & f_j & 1 \\ \lambda + f_jf'_j + f_jg_j & f_j^2 + g_j & f_j \end{pmatrix}.$$

Переразложение (19.4) дает формулу нелинейной суперпозиции

$$B_k : \begin{cases} \widetilde{f}_k = f_k + Q, & \widetilde{f}_{k-1} = f_{k-1} - Q \\ \widetilde{g}_k = g_k - (f_k + f_{k-1})Q, \\ \widetilde{g}_{k-1} = g_{k-1} - Q' + (f_k + f_{k-1})Q, \\ \widetilde{\alpha}_k = -\alpha_k, & \widetilde{\alpha}_{k\pm 1} = \alpha_{k\pm 1} + \alpha_k, \end{cases} \quad (20.2)$$

где обозначено $Q = \alpha_k / (f_{k-1}f_k + f_k^2 - g_{k-1} - f'_k)$.

Рассмотрим цепочку (20.1), замкнутую с периодом 2. Мы имеем переопределенную систему

$$\begin{cases} f'_1 = -f'_2 = f_1^2 - f_2^2 + g_1 - g_2 \\ f''_1 - f_1f'_1 + g'_2 = f_1g_1 - f_2g_2 - \alpha_1, \\ f''_2 - f_2f'_2 + g'_1 = f_2g_2 - f_1g_1 - \alpha_2, \end{cases} \quad (20.3)$$

обладающую двумя первыми интегралами

$$f_1 + f_2 = C_1, \quad (f_1^2 + f_2^2)/2 - g_1 - g_2 = (\alpha_1 + \alpha_2)x + C_2.$$

Для удобства положим $f_2 = -f_1$. (Как можно проверить, общий случай сводится к этому.) Тогда система (20.3) упрощается до системы

$$f'_1 = g_1 - g_2, \quad g'_1 = 2f_1g_1 - \alpha_1, \quad g'_2 = -2f_1g_2 - \alpha_2.$$

Линейное преобразование переменных приводит последнюю к виду

$$\begin{cases} 2f' = g_+ - g_-, \\ g'_+ = 2fg_+ + \alpha_+, \\ g'_- = -2fg_- + \alpha_-, \end{cases} \quad (20.4)$$

с нормировкой

$$g_+ + g_- - 2f^2 = x, \quad \alpha_+ + \alpha_- = 1. \quad (20.5)$$

Система (20.4), (20.5) и задает искомое представление P_2 . Действительно, $f'' = f(g_+ + g_-) + (\alpha_+ - \alpha_-)/2$ и в силу (20.5) получаем, что f удовлетворяет P_2 :

$$f'' = 2f^3 + xf + a, \quad a = (\alpha_+ - \alpha_-)/2. \quad (20.6)$$

Заметим, что переменные g_+, g_- удовлетворяют уравнению P -типа

$$g''_{\pm} = \frac{(g'_{\pm})^2}{2g_{\pm}} + 2g_{\pm}^2 - xg_{\pm} - \frac{\alpha_{\pm}^2}{2g_{\pm}}$$

(уравнение XXXIV в списке Айнса [42]). Система (20.4), (20.5) дает известные дифференциальные подстановки, связывающие его с P_2 :

$$\pm f = \frac{g'_{\pm} - \alpha_{\pm}}{2g_{\pm}}, \quad g_{\pm} = f^2 \pm f' + x/2.$$

Формула нелинейной суперпозиции (20.2) для $k = 1, 2$, переписанная в терминах системы (20.4), (20.5), принимает вид

$$B_{\pm} : \begin{cases} \tilde{f} = f \pm \frac{\alpha_{\pm}}{g_{\pm}}, \quad \tilde{g}_{\pm} = g_{\pm}, \quad \tilde{g}_{\mp} = g_{\mp} \pm \frac{4\alpha_{\pm}f}{g_{\pm}} + \frac{2\alpha_{\pm}^2}{g_{\pm}^2}, \\ \tilde{\alpha}_{\pm} = -\alpha_{\pm}, \quad \alpha_{\mp} = \alpha_{\mp} + 2\alpha_{\pm}. \end{cases} \quad (20.7)$$

Отметим изменение в формуле для α_j , появляющееся при замыкании с периодом 2. Новая формула следует из того же правила перестановки корней $\beta_k = \beta_{k-1}$, $\beta_{k-1} = \beta_k$ в произведении детерминантов $\det W_j$.

В терминах уравнения (20.6) преобразования B_{\pm} имеют вид

$$\tilde{f} = f \pm \frac{2a \pm 1}{2f' \pm 2f^2 \pm x}, \quad \tilde{a} = \pm 1 - a.$$

Эта формула впервые была установлена в работе [55]. Преобразования B_{\pm} порождают группу, изоморфную аффинной группе Вейля \tilde{A}_1 . Кроме того, система (20.4), (20.5) допускает также преобразования

$$\begin{aligned} R: \quad \tilde{f}(x) &= \varepsilon f(\varepsilon x), \quad \tilde{g}_{\pm}(x) = \varepsilon^2 g_{\pm}(\varepsilon x), \quad \tilde{\alpha}_{\pm} = \alpha_{\pm}, \quad \varepsilon^3 = 1, \\ S: \quad \tilde{f} &= -f, \quad \tilde{g}_{\pm} = g_{\mp}, \quad \tilde{\alpha}_{\pm} = \alpha_{\mp}. \end{aligned}$$

Очевидны тождества

$$R^3 = S^2 = B_{\pm}^2 = 1, \quad B_+ = SB_-S, \quad RS = SR, \quad RB_{\pm} = B_{\pm}R.$$

Следует признать, что цепочка (20.1) дает достаточно неуклюжее представление для P_2 . Возможно, существуют и более простые цепочки, приводящие к той же цели. Заметим, что одно и то же уравнение Пенлеве может возникнуть из разных цепочек. Например, если мы возьмем вместо $L = D^3 - uD - v$ оператор 4-го порядка, то при замыкании с периодом 2 мы снова получим P_2 . Аналогично, уравнение P_4 , полученное ранее из цепочки для оператора Шредингера, возникает также и при рассмотрении цепочки (20.1); в обоих случаях период равен 3.

21 Вырождение третьего уравнения Пенлеве

Обратимся теперь к изучению оператора Дирака

$$U_j = \begin{pmatrix} -\lambda & -v_j \\ u_j & \lambda \end{pmatrix} \quad (21.1)$$

Как мы видели в главе 4, для этого оператора существуют три существенно различных преобразования Бэклунда, в зависимости от степени по λ полинома $\det W_j$. Оставшаяся часть этой главы посвящена изучению этих трех случаев. Матрица калибровочного преобразования во всех случаях равна

$$A_j = \begin{pmatrix} \varepsilon_j & 0 \\ 0 & \varepsilon_j^{-1} \end{pmatrix},$$

где $\varepsilon_j' = \alpha_j \varepsilon_j$. Рассмотрим сначала случай $\det W_j = \text{const}$. Матрица W_j есть

$$W_j = \begin{pmatrix} 0 & -\exp(-q_j) \\ \exp(q_j) & 2\lambda - q_j' \end{pmatrix}, \quad (21.2)$$

где $u_j = \exp(q_j)$, $v_j = \varepsilon_j^2 \exp(-q_{j-1})$. Уравнение (19.3) приводит к следующему обобщению цепочки Тоды:

$$q_j'' = \varepsilon_{j+1}^2 \exp(q_{j+1} - q_j) - \varepsilon_j^2 \exp(q_j - q_{j-1}). \quad (21.3)$$

После периодического замыкания $A_{j+2} = A_j$, $W_{j+2} = W_j$ функция $f = q_2 - q_1$ удовлетворяет уравнению

$$f'' = 2\varepsilon_1^2 \exp(-f) - 2\varepsilon_2^2 \exp(f).$$

Пусть $\alpha_1 + \alpha_2 = \alpha \neq 0$. Подстановка

$$y(\varepsilon_1 \varepsilon_2) = \varepsilon_2 \varepsilon_1^{-1} \exp(f(x))$$

приводит к уравнению

$$y'' = \frac{(y')^2}{y} - \frac{y'}{x} - \frac{2}{\alpha^2 x}(y^2 - 1),$$

являющемся частным случаем P_3 .

Переразложение (19.4) для данных матриц A_j, W_j приводит лишь к тождественному преобразованию. Таким образом, в данном случае наш метод не позволяет найти преобразование Шлезингера.

22 Третье и вырожденное пятое уравнения Пенлеве

Второму типу преобразования Бэклунда для оператора Дирака отвечает матрица

$$W_j = \begin{pmatrix} 1 & -g_{j+1} \\ f_j & 2\lambda - f_j g_{j+1} \end{pmatrix}, \quad (22.1)$$

где $f_j = u_j, v_j = \varepsilon_j^2 g_j$. В этом случае уравнение (19.3) приводит к цепочке

$$\begin{cases} f'_j &= \varepsilon_{j+1}^2 f_{j+1} + f_j^2 g_{j+1}, \\ -g'_j &= \varepsilon_{j-1}^2 g_{j-1} + g_j^2 f_{j-1}, \\ \varepsilon'_j &= \alpha_j \varepsilon_j \end{cases} \quad (22.2)$$

а формула (19.4) к преобразованию

$$B_k : \begin{cases} \tilde{f}_k = \varepsilon_k^2 (f_k - 2\alpha_k f_{k-1}/H), & \tilde{f}_{k-1} = \varepsilon_k^{-2} f_{k-1}, \\ \tilde{g}_k = \varepsilon_k^2 (g_k + 2\alpha_k g_{k+1}/H), & \tilde{g}_{k+1} = \varepsilon_k^{-2} g_{k+1}, \\ \tilde{\alpha}_k = -\alpha_k, & \tilde{\alpha}_{k\pm 1} = \alpha_{k\pm 1} + \alpha_k, \\ \tilde{\varepsilon}_k = \varepsilon_k^{-1}, & \tilde{\varepsilon}_{k\pm 1} = \varepsilon_{k\pm 1} \varepsilon_k, \end{cases} \quad (22.3)$$

где $H = \varepsilon_k^2 - f_{k-1} g_{k+1}$.

Рассмотрим цепочку (22.2), замкнутую с периодом 2, и нормированную условием $\alpha_1 + \alpha_2 = 1$. Полученная система ОДУ

$$\begin{aligned} f'_1 &= \varepsilon_2^2 f_2 + f_1^2 g_2, & -g'_1 &= \varepsilon_2^2 g_2 + g_1^2 f_2, \\ f'_2 &= \varepsilon_1^2 f_1 + f_2^2 g_1, & -g'_2 &= \varepsilon_1^2 g_1 + g_2^2 f_1, \end{aligned} \quad (22.4)$$

допускает понижение порядка двумя различными способами. Обозначим

$$s = f_1 g_2 + f_2 g_1, \quad r = f_1 g_2 - f_2 g_1, \quad Y = -\varepsilon_2^{-2} f_1 g_1, \quad Z = \varepsilon_1 f_1 / \varepsilon_2 f_2. \quad (22.5)$$

Тогда s есть первый интеграл системы (22.4), а Y, r и Z, r удовлетворяют соответственно системам

$$Y' = r(Y + 1) - 2\alpha_2 Y, \quad r' = 2\varepsilon_1^2 \varepsilon_2^2 Y + (r^2 - s^2)/2Y$$

и

$$Z' = \varepsilon_1 \varepsilon_2 (1 - Z^2) + (\alpha_1 - \alpha_2 + r)Z, \quad r' = \varepsilon_1 \varepsilon_2 ((r - s)Z + (r + s)/Z).$$

Замены

$$\begin{aligned} Y(x) &= 1/(y(\varepsilon_1^2 \varepsilon_2^2) - 1), & r(x) &= \varphi(\varepsilon_1^2 \varepsilon_2^2), \\ Z(x) &= z(\varepsilon_1 \varepsilon_2), & r(x) &= \psi(\varepsilon_1 \varepsilon_2), \end{aligned} \quad (22.6)$$

переводят эти системы в

$$y' = \frac{y-1}{2x}(2\alpha_2 - y\varphi), \quad \varphi' = \frac{1}{y-1} + \frac{y-1}{4x}(\varphi^2 - s^2),$$

и

$$z' = 1 - z^2 + \frac{z}{x}(\alpha_1 - \alpha_2 + \psi), \quad \psi' = (\psi - s)z + \frac{1}{z}(\psi + s)$$

соответственно.

Исключение φ из первой системы приводит к вырожденному случаю P_5

$$y'' = \left(\frac{1}{2y} + \frac{1}{y+1} \right) (y')^2 - \frac{y'}{x} + \frac{(y-1)^2}{x^2} \left(ay + \frac{b}{y} \right) - \frac{y}{2x} \quad (22.7)$$

где

$$a = s^2/8, \quad b = -\alpha_2^2/2,$$

а исключение ψ из второй системы приводит к P_3

$$z'' = \frac{(z')^2}{z} - \frac{z'}{x} + \frac{1}{x}(Az^2 + B) + z^3 - \frac{1}{z} \quad (22.8)$$

где

$$A = -s - 2\alpha_1, \quad B = s + 2\alpha_2.$$

Заметим, что при помощи растяжения можно заменить коэффициенты при последнем члене уравнения (22.7) и двух последних членах в уравнении (22.8) на произвольные ненулевые константы.

Итак, мы показали, что цепочка (22.2) дает представление сразу для двух уравнений Пенлеве. Это приводит к существованию скрытой связи между этими двумя уравнениями. Используя формулы (22.5), (22.6), можно легко получить дифференциальную подстановку из P_3 в P_5

$$y(x^2) = 1 + \frac{2x}{x(z'(x) - 1 + z^2(x)) + (\alpha_2 - \alpha_1 - s)z(x)}$$

и наоборот из P_5 в P_3

$$z(x) = \frac{2xy(x^2)}{(2\alpha_2 - sy(x^2))(y(x^2) - 1) - 2x^2y'(x^2)}.$$

Впервые эта связь между P_3 и P_5 была обнаружена Громаком в [47]. Он нашел также и преобразования Шлезингера для этих уравнений. Перейдем к их выводу из дискретных симметрий системы (22.4).

Для полноты заметим, что система (22.4) допускает группу, порожденную непрерывными преобразованиями

$$P_{\mu, \nu} : \begin{cases} \tilde{f}_1 = \mu f_1, & \tilde{f}_2 = \nu f_2, & \tilde{g}_1 = g_1/\nu, & \tilde{g}_2 = g_2/\mu, \\ \tilde{\alpha}_j = \alpha_j, & \tilde{\varepsilon}_1 = \sqrt{\nu/\mu}\varepsilon_1, & \tilde{\varepsilon}_2 = \sqrt{\mu/\nu}\varepsilon_2, \end{cases}$$

$$Q_{x_0} : \begin{cases} \tilde{f}_j(x) = f_j(x + x_0), & \tilde{g}_j(x) = g_j(x + x_0), \\ \tilde{\alpha}_j = \alpha_j, & \tilde{\varepsilon}_j = \exp(\alpha_j x_0)\varepsilon_j. \end{cases}$$

Дискретная же группа порождена преобразованиями (22.3), которые после наложения условия периодичности принимают вид

$$B_k : \begin{cases} \tilde{f}_k = \varepsilon_k^2(f_k - 2\alpha_k f_{k+1}/H), & \tilde{f}_{k+1} = \varepsilon_k^{-2} f_{k+1}, \\ \tilde{g}_k = \varepsilon_k^2(g_k + 2\alpha_k g_{k+1}/H), & \tilde{g}_{k+1} = \varepsilon_k^{-2} g_{k+1}, \\ \tilde{\alpha}_k = -\alpha_k, & \tilde{\alpha}_{k+1} = \alpha_{k+1} + 2\alpha_k, & \tilde{\varepsilon}_k = \varepsilon_k^{-1}, & \tilde{\varepsilon}_{k+1} = \varepsilon_{k+1}\varepsilon_k^2, \end{cases}$$

где $H = \varepsilon_k^2 - f_{k+1}g_{k+1}$, $k = 1, 2$, а также преобразованиями

$$R_k : \begin{cases} \tilde{f}_k = -g_k, & \tilde{f}_{k+1} = g_{k+1}, & \tilde{g}_k = -f_k, & \tilde{g}_{k+1} = f_{k+1}, \\ & \tilde{\alpha}_j = \alpha_j, & \tilde{\varepsilon}_j = \varepsilon_j, & \end{cases}$$

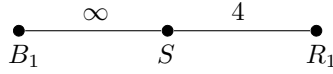
$$S : \quad \tilde{f}_j = f_{j+1}, \quad \tilde{g}_j = g_{j+1}, \quad \tilde{\alpha}_j = \alpha_{j+1}, \quad \tilde{\varepsilon}_j = \varepsilon_{j+1},$$

Эти преобразования удовлетворяют соотношениям

$$B_j^2 = R_j^2 = S^2 = 1, \quad B_1 S = S B_2, \quad R_1 S = S R_2,$$

$$B_i R_j = R_j B_i, \quad R_1 R_2 = R_2 R_1$$

и порождают группу Кокстера с графом



Рассмотрим действие этих преобразований на уравнениях (22.8). Легко проверяется, что оба преобразования R_1 и R_2 приводят к одной и той же дифференциальной подстановке

$$\tilde{z} = z + \frac{(2 + A - B)z^2}{x(z' - 1 + z^2) + (B - 1)z}, \quad \tilde{A} = B - 2, \quad \tilde{B} = A + 2.$$

Преобразования B_1 и B_2 приводят к аналогичным подстановкам

$$B_1 : \quad \tilde{z} = z + \frac{(2 - A - B)z^2}{x(z' - 1 - z^2) + (B - 1)z}, \quad \tilde{A} = 2 - B, \quad \tilde{B} = 2 - A,$$

$$B_2 : \quad \tilde{z} = z + \frac{(2 + A + B)z^2}{x(z' + 1 + z^2) - (B + 1)z}, \quad \tilde{A} = -2 - B, \quad \tilde{B} = -2 - A.$$

Наконец, преобразование S порождает точечную замену

$$\tilde{z} = 1/z, \quad \tilde{A} = -B, \quad \tilde{B} = -A.$$

На уравнении (22.7) преобразования R_1, R_2, B_2 действуют тождественно, а преобразования S и B_1 приводят соответственно к преобразованиям Шлезингера

$$\tilde{y} = 1 + \frac{xy^2(y-1)}{2ay^2(y-1)^2 - (\alpha_2(y-1) - xy')^2}, \quad \tilde{a} = a, \quad \tilde{b} = -\alpha_1^2/2$$

и

$$\tilde{y} = 1 + \frac{(y-1)h^2}{h^2 - 2\alpha_1(y-1)\varphi h + \alpha_1^2(\varphi^2 - 8a)(y-1)^2}, \quad \tilde{a} = a, \quad \tilde{b} = -(1 + \alpha_1)^2/2,$$

где

$$\alpha_2 = \sqrt{-2b}, \quad \alpha_1 = 1 - \alpha_2, \quad h = x - (y-1)(\varphi^2/4 - 2a), \quad \varphi = \frac{2}{y} \left(\alpha_2 - \frac{xy'}{y-1} \right).$$

23 Шестое уравнение Пенлеве

Рассмотрим случай $\det W_j = 4\lambda^2 - \gamma_j^2$. Матрица W_j имеет вид

$$W_j = \begin{pmatrix} -2\lambda + r_j & -g_j \\ f_j & 2\lambda + r_j \end{pmatrix}$$

где $r_j^2 = \gamma_j^2 - f_j g_j$. Уравнение (19.3) эквивалентно следующим соотношениям:

$$\begin{aligned} f_j &= \varepsilon_{j+1}^2 u_{j+1} + u_j, & g_j &= \varepsilon_{j+1}^{-2} v_{j+1} + v_j, \\ f'_j &= r_j(\varepsilon_{j+1}^2 u_{j+1} - u_j), & g'_j &= r_j(\varepsilon_{j+1}^{-2} v_{j+1} - v_j), & \varepsilon'_j &= \alpha_j \varepsilon_j. \end{aligned} \quad (23.1)$$

После замыкания с периодом 2 и исключения переменных u_j, v_j получаем систему четвертого порядка

$$\begin{aligned} f'_1 &= \frac{r_1}{1-E}(2\varepsilon_2^2 f_2 - (1+E)f_1), & g'_1 &= \frac{r_1}{1-E}((1+E)g_1 - 2\varepsilon_1^2 g_2), \\ f'_2 &= \frac{r_2}{1-E}(2\varepsilon_1^2 f_1 - (1+E)f_2), & g'_2 &= \frac{r_2}{1-E}((1+E)g_2 - 2\varepsilon_2^2 g_1), \end{aligned} \quad (23.2)$$

где $E = \varepsilon_1^2 \varepsilon_2^2$, причем мы не теряя общности можем положить

$$\alpha_1 + \alpha_2 = 1/2, \quad E' = E.$$

Эта система и задает искомое представление P_6 . Чтобы убедиться в этом, заметим, что она обладает первым интегралом

$$r_1 + r_2 = s = \text{const}$$

и допускает понижение порядка за счет введения переменной

$$F = \frac{f_2}{\varepsilon_1^2 f_1}.$$

Переменные F и r_1 удовлетворяют системе

$$\begin{cases} F' = -2\alpha_1 F + \frac{1}{1-E}(2(s-r_1) + (1+E)(2r_1-s)F - 2Er_1 F^2), \\ r'_1 = \frac{1}{1-E}(E(r_1^2 - \gamma_1^2)F - ((r_1-s)^2 - \gamma_2^2)F^{-1}). \end{cases}$$

Подстановка

$$y(E^{-1}) = F(x), \quad \varphi(E^{-1}) = r_1(x) \quad (23.3)$$

приводит ее к виду

$$\begin{cases} y' = 2\varphi \frac{(y-x)(y-1)}{x(x-1)} - \frac{2s}{x-1} + 2\alpha_1 \frac{y}{x} + s \frac{x+1}{x(x-1)} y, \\ \varphi' = \frac{1}{x(x-1)} \left(\left(\frac{x}{y} - y \right) \varphi^2 - 2s \frac{x\varphi}{y} + (s^2 - \gamma_2^2) \frac{x}{y} + \gamma_1^2 y \right). \end{cases}$$

Из первого уравнения имеем

$$\varphi = \frac{x(x-1)}{2(y-x)(y-1)} \left(y' - 2\alpha_1 \frac{y}{x} + \frac{2s}{x-1} - s \frac{x+1}{x(x-1)} y \right) \quad (23.4)$$

и после исключения φ получаем P_6 :

$$y'' = \frac{1}{2} \left(\frac{1}{y} + \frac{1}{y-1} + \frac{1}{y-x} \right) (y')^2 - \left(\frac{1}{x} + \frac{1}{x-1} + \frac{1}{y-x} \right) y' + \frac{y(y-1)(y-x)}{x^2(x-1)^2} \left(a + b \frac{x}{y^2} + c \frac{x-1}{(y-1)^2} + d \frac{x(x-1)}{(y-x)^2} \right) \quad (23.5)$$

где

$$a = 2\gamma_1^2, \quad b = -2\gamma_2^2, \quad 2c = (2\alpha_1 - s)^2, \quad 2d = 1 - (2\alpha_2 - s)^2.$$

Найдем преобразования Шлезингера для уравнения (23.5). В принципе их можно получить из формул (15.18), но проще провести некоторые вычисления заново. Перемножая матрицы, находим, что величины

$$\begin{aligned} s_k &= r_k + r_{k-1}, \\ I_k &= (2\beta_{k-1} + r_{k-1} - (2\beta_k - r_k)F_k)/(1 - F_k), \\ J_k &= (2\beta_k + r_k)(2\beta_{k-1} + r_{k-1}) + F_k(r_k^2 - \gamma_k^2), \end{aligned}$$

где $F_k = f_{k-1}/\varepsilon_k^2 f_k$, не меняются при преобразовании (19.4):

$$\tilde{s}_k = s_k, \quad \tilde{I}_k = I_k, \quad \tilde{J}_k = J_k.$$

Исключение \tilde{r}_k и \tilde{r}_{k-1} из этих трех равенств приводит к формуле

$$\tilde{F}_k = F_k \frac{((2\alpha_k - s_k)/(F_k - 1) - r_k)^2 - \gamma_k^2}{((2\alpha_k - s_k)/(F_k - 1) - r_k + 2\beta_k - 2\tilde{\beta}_k)^2 - \tilde{\gamma}_k^2}, \quad (23.6)$$

Здесь новые значения γ_k и β_k можно получить, рассмотрев действие преобразования B_k на детерминанты матриц W_k, W_{k-1} , причем, как уже отмечалось в примере 3) раздела 15, преобразование (23.6) оказывается многозначным. Кроме того, следует помнить, что при замыкании с периодом 2 формулы для пересчета коэффициентов α_j должны быть слегка модифицированы (ср. с разделом 20). Например, если B_k переставляет 1-й и 3-й множители в произведении

$$\dots (2\lambda - 2\beta_k + \gamma_k)(2\lambda - 2\beta_k - \gamma_k)(2\lambda - 2\beta_{k-1} + \gamma_{k-1})(2\lambda - 2\beta_{k-1} - \gamma_{k-1}) \dots$$

то

$$\begin{aligned} \tilde{\beta}_k &= \frac{1}{2}(\beta_k + \beta_{k-1}) + \frac{1}{4}(\gamma_k - \gamma_{k-1}), & \tilde{\beta}_{k-1} &= \frac{1}{2}(\beta_k + \beta_{k-1}) - \frac{1}{4}(\gamma_k - \gamma_{k-1}), \\ \tilde{\gamma}_k &= \beta_k - \beta_{k-1} + \frac{1}{2}(\gamma_k + \gamma_{k-1}), & \tilde{\gamma}_{k-1} &= \beta_{k-1} - \beta_k + \frac{1}{2}(\gamma_k + \gamma_{k-1}), \end{aligned}$$

причем при замыкании с периодом 2 имеем

$$\tilde{\alpha}_1 = \frac{1}{2}(\gamma_1 - \gamma_2), \quad \tilde{\alpha}_2 = 1 - \frac{1}{2}(\gamma_1 - \gamma_2).$$

При $k = 1$ получаем из (23.6), в силу (23.3), искомое преобразование Шлезингера для P_6

$$B_1 : \quad \tilde{y} = y \frac{((2\alpha_1 - s)/(y-1) - \varphi)^2 - \gamma_1^2}{((2\alpha_1 - s)/(y-1) - \varphi + 2\beta_1 - 2\tilde{\beta}_1)^2 - \tilde{\gamma}_1^2},$$

где φ задается формулой (23.4). Аналогичная подстановка B_2 получается из (23.6) при $k = 2$. Она сопряжена с B_1 циклическим сдвигом

$$S: \quad \tilde{f}_j = f_{j+1}, \quad \tilde{g}_j = g_{j+1}, \quad \tilde{\alpha}_j = \alpha_{j+1}, \quad \tilde{\gamma}_j = \gamma_{j+1},$$

который в терминах P_6 приводит к точечной замене

$$\tilde{y} = x/y, \quad \tilde{a} = -b, \quad \tilde{b} = -a, \quad \tilde{c} = \frac{1}{2} - d, \quad \tilde{d} = \frac{1}{2} - c.$$

Система (23.2) инвариантна также относительно преобразований

$$\begin{aligned} R: \quad & \tilde{f}_j(x) = f_j(-x), \quad \tilde{g}_j(x) = g_j(-x), \quad \tilde{\alpha}_j = \alpha_{j+1}, \quad \tilde{\gamma}_j = \gamma_j, \\ T: \quad & \tilde{f}_j = g_j, \quad \tilde{g}_j = f_j, \quad \tilde{r}_j = -r + j, \quad \tilde{\alpha}_j = \alpha_{j+1}, \quad \tilde{\gamma}_j = \gamma_j, \quad \tilde{s} = -s. \end{aligned}$$

Первое из них порождает точечное преобразование P_6

$$\tilde{y}(x) = xy(1/x), \quad \tilde{a} = a, \quad \tilde{b} = b, \quad \tilde{c} = \frac{1}{2} - d, \quad \tilde{d} = \frac{1}{2} - c,$$

а второе приводит к дифференциальной подстановке

$$\begin{aligned} \tilde{y} &= \frac{x(\varphi - s)^2 - \gamma_2^2}{y(\varphi^2 - \gamma_1^2)}, \\ \tilde{a} &= a, \quad \tilde{b} = b, \quad 2\tilde{c} = (1 - \sqrt{2c})^2, \quad 2\tilde{d} = 1 - (1 - \sqrt{1 - 2d})^2 \end{aligned}$$

где φ задано формулой (23.4) и $s = 1 - \sqrt{2c} - \sqrt{1 - 2d}$. Заметим, что знаки корней можно выбирать произвольно, так что последняя формула определяет фактически 4 разных преобразования.

С другой стороны, известное преобразование P_6

$$Q: \quad \tilde{y}(x) = 1 - y(1 - x), \quad \tilde{a} = a, \quad \tilde{b} = -c, \quad \tilde{c} = -b, \quad \tilde{d} = d$$

не выводится из дискретных симметрий системы (23.2). В этом случае редуцированная система приобретает по сравнению с исходной дополнительную симметрию.

Выполняются следующие тождества

$$\begin{aligned} B_j^2 = Q^2 = R^2 = S^2 = T^2 = (RS)^2 = (ST)^2 = (TR)^2 = (QR)^3 = (QS)^4 = 1, \\ B_{j+1} = SB_jS = RB_jR = TB_jT, \end{aligned}$$

где для простоты рассматривается только одна ветвь многозначных преобразований B_j, T . Преобразования Шлезингера для P_6 впервые были найдены в [18], см. также [51].

Список литературы

- [1] Ablowitz M J and Fokas A S, On a unified approach to transformations and elementary solutions of Painlevé equations, *J. Math. Phys.* **23:11** (1982) 2033–2042 5
- [2] Adler M and Moser J, On a class of polynomials connected with the Korteweg–de Vries equation, *Commun. Math. Phys.* **61** (1978) 1–30 21
- [3] Adler V E, Nonlinear chains and Painlevé equations, *Physica D* **73** (1994) 335–351 5, 14
- [4] Adler V E and Yamilov R I, Explicit auto-transformations of integrable chains, *J. Physics A* **27** (1994) 477–492 6, 50
- [5] Airault H, Rational solutions of Painlevé equations, *Stud. Appl. Math.* **61:1** (1979) 33–54 5, 33
- [6] Bruschi M and Ragnisco O, Lax representation and complete integrability for the periodic relativistic Toda lattice, *Phys. Lett. A* **134** (1989) 365–370 55
- [7] Bruschi M, Ragnisco O, Santini P M and Tu Gui Zhang, Integrable symplectic maps, *Physica D* **49** (1991) 273–294 4, 6, 41, 43, 52
- [8] Calogero F and Degasperis A, Reduction technique for matrix nonlinear evolution equations solvable by the spectral transform, *preprint Istituto di Fisica G. Markoni – Univ. di Roma* **151** (1979) 1–37 17
- [9] Calogero F and Degasperis A, Spectral transforms and solitons, Amsterdam: North-Holland, 1982 (перевод: Калоджеро Ф., Дегасперис А. Спектральные преобразования и солитоны, М.: Мир, 1985) 14, 17
- [10] Chen H H, Lee Y C and Liu C S, Integrability of nonlinear Hamiltonian systems by inverse scattering method, *Physica Scr.* **20** (1979) 490–492 68
- [11] Chen H H and Liu C S, Bäcklund transformation solutions of the Toda lattice equation, *J. Math. Phys.* **16:7** (1975) 1428–1430 53
- [12] Crum M M, Associated Sturm-Liouville systems, *Quart. J. Math. Oxford (2)* **6** (1955) 121–127 4, 6, 22, 23, 25, 28
- [13] Darboux G, , *C.R. Acad. Sci. Paris* **94** (1882) 1456 4
- [14] Deift P A, Applications of a commutation formula, *Duke Math. Journ.* **45** (1978) 267 22
- [15] Dodd R K, Eilbeck J C, Gibbon J D and Morris H C, Solitons and nonlinear wave equations, London: Academic Press, 1982 (перевод: Додд Р., Эйлбек Дж., Гиббон Дж., Моррис Х. Солитоны и нелинейные волновые уравнения, М.: Мир, 1988) 14, 52
- [16] Flaschka H, Newell A, Monodromy and spectrum preserving deformations, *Comm. Math. Phys.* **76** (1980) 67–116 29
- [17] Fokas A S and Mügan U, Schlesinger transformations of Painleve II-V, *J. Math. Phys.* **33:6** (1992) 2031–2045 5
- [18] Fokas A S and Yortsos Y C, The transformation properties of the sixth Painlevé equation and one-parameter families of solutions, *Lett. Nuovo Cim.* **30:17** (1981) 539–544 5, 81

- [19] Fordy A P and Kulish P P, Nonlinear Schrödinger equations and simple Lie algebras, *Commun. Math. Phys.* **89:3** (1983) 427–443 6, 62
- [20] Grammaticos B, Hietarinta J and Ramani A, Discrete versions of the Painlevé equations, *Phys. Rev. Lett.* **67:14** (1991) 1829–1832 5, 43
- [21] Grammaticos B, Nijhoff F W, Papageorgiou V G and Ramani A, Isomonodromic deformation problem for discrete analogues of Painlevé equations, *INS preprint no.* **178** (1991) 5, 43
- [22] Infeld L and Hull T E, The factorization method, *Rev. Modern Phys.* **23:1** (1951) 21–68 4
- [23] Kaup D J, Finding eigenvalue problems for solving nonlinear evolution equations, *Progr. of Theor. Phys.* **54:1** (1975) 72–78 68
- [24] Lamb G L, jr., Analytical descriptions of ultrashort optical pulse propagation in a resonant medium, *Rev. Mod. Phys.* **43:2** (1971) 99–1244, 59, 60
- [25] Lamb G L, jr., Bäcklund transformations for certain nonlinear evolution equations, *J. Math. Phys.* **15:12** (1974) 2157–2165 4, 14
- [26] Levi D, Nonlinear differential difference equations as Bäcklund transformations, *Journal of Physics A* **14** (1981) 1083–1098
- [27] Loos O, Jordan pairs, *Lecture Notes in Math.* **480** (1975) 64
- [28] Miura R M, ed., Bäcklund transformations, *Lect. Notes in Math.* **515** (1976) 4, 14
- [29] Moser J and Veselov A P, Discrete versions of some classical integrable systems and factorization of matrix polynomials, *Commun. Math. Phys.* **139** (1991) 217–243 4, 41
- [30] Okamoto K, *Math. Ann.* **275** (1986) 221 5
- [31] Papageorgiou V G, Nijhoff F W and Capel H W, Integrable mappings and nonlinear integrable lattice equations, *Phys. Lett. A* **147:2,3** (1990) 106–114 4, 41
- [32] Quispel G R W, Roberts J A G and Thompson C J, Integrable mappings and soliton equations, *Phys. Lett. A* **126** (1988) 419–421 4, 41
- [33] Rogers C and Shadwick W F, Bäcklund transformations and their applications, New York: Academic Press, 1982 4, 14
- [34] Shabat A B, The infinite-dimensional dressing dynamical system, *Inverse problems* **8** (1992) 303 14
- [35] Shabat A B and Yamilov R I, Lattice representations of integrable systems, *Phys. Lett. A* **130:4,5** (1988) 271–275
- [36] Svinolupov S I, Generalized Schrödinger equations and Jordan pairs, *Commun. Math. Phys.* **143** (1992) 559–575 6, 50, 62, 64
- [37] Svinolupov S I and Yamilov R I, The multi-field Schrödinger lattices, *Phys. Lett. A* **160** **1991** (548–552) 6, 50, 63
- [38] Wahlquist H D and Estabrook F B, Bäcklund transformations for solutions of the Korteweg - de Vries equation, *Phys. Rev. Lett.* **31** (1973) 1386–1390 4, 14

- [39] Weiss J, Periodic fixed points of Bäcklund transformations and the Korteweg - de Vries equation, *J. Math. Phys.* **27:11** (1986) 2647–2656 4, 14, 46
- [40] Yamilov R I, On the construction of Miura type transformations by others of this kind, *Phys. Lett. A* **173:1** (1993) 53–57 15
- [41] Адлер В.Э., Перекройка многоугольников, *Функц. анализ и прилож.* **27:2** (1993) 79–82 4, 5, 6, 14, 29
- [42] Айнс Е.Л., Обыкновенные дифференциальные уравнения, Харьков: ДНТВУ, 1939 74
- [43] Веселов А.П., Интегрируемые отображения, *Успехи мат. наук* **46:5** (1991) 3–45 4, 6, 41, 52
- [44] Веселов А.П., Интегрируемые лагранжевы соответствия и факторизация матричных многочленов, *Функц. анализ и прилож.* **25:2** (1991) 38–49 4, 41
- [45] Веселов А.П., Шабат А.Б., Одевающая цепочка и спектральная теория оператора Шредингера, *Функц. анализ и прилож.* **27:2** (1993) 1–21 4, 5, 6, 14, 29, 42, 43, 73
- [46] Воробьев А.П., О рациональных решениях второго уравнения Пенлеве, *Дифф. ур.* **1:1** (1965) 79–81
- [47] Громак В.И., О решениях третьего уравнения Пенлеве, *Дифф. ур.* **9:11** (1973) 2082–2083 5, 77
- [48] Громак В.И., *Дифф. ур.* **11:3** (1975) 373–376 5
- [49] Громак В.И., О решениях пятого уравнения Пенлеве, *Дифф. ур.* **12:4** (1976) 740–742 5, 40
- [50] Громак В.И., Лукашевич Н.А., Специальные классы решений уравнений Пенлеве, *Дифф. ур.* **18:3** **1982** (419–429) 5, 33
- [51] Громак В.И., Лукашевич Н.А., Аналитические свойства решений уравнений Пенлеве, Минск: Университетское, 1992 5, 6, 31, 33, 81
- [52] Дубов С.Ю., Елеонский В.М., Кулагин Н.Е., Об эквидистантных спектрах ангармонических осцилляторов, *ЖЭТФ* **102:3:9** (1992) 814–826 28
- [53] Дубровин Б.А., Тэта-функции и нелинейные уравнения, *Успехи мат. наук* **36:2** (1981) 11–80 4, 45
- [54] Лукашевич Н.А., К теории четвертого уравнения Пенлеве, *Дифф. ур.* **3:5** (1967) 771–780 5, 31, 33
- [55] Лукашевич Н.А., К теории второго уравнения Пенлеве, *Дифф. ур.* **7:6** (1971) 1124–1125 5, 75
- [56] Манаков С.В., К теории двумерной стационарной самофокусировки электромагнитных волн, *ЖЭТФ* **65:2** (1973) 505–516 6, 62, 63
- [57] Михайлов А.В., Шабат А.Б., Ямилов Р.И., Симметричный подход к классификации нелинейных уравнений, *Успехи мат. наук* **42:4** (1987) 3–53 55, 69

- [58] Новиков С.П., Периодическая задача Кортевега–де Фриза, *Функц. анализ и прилож.* **8** (1974) 54–66 4
- [59] Свинолулов С.И., Соколов В.В., Векторно-матричные обобщения классических интегрируемых уравнений, *ТМФ* (1993) 64
- [60] Свинолулов С.И., Соколов В.В., Ямилов Р.И., О преобразованиях Бэклунда для интегрируемых эволюционных уравнений, *ДАН СССР* **271:4** (1983) 802–805 17
- [61] Тахтаджян Л.А., Фаддеев Л.Д., Гамильтонов подход в теории солитонов, М.:Наука, 1986 54, 55
- [62] Флюгге З., Задачи по квантовой механике, т.1, М.:Мир, 1974 27
- [63] Шабат А.Б., О потенциалах с нулевым коэффициентом отражения, *Динамика сплошной среды* **5** (1970) 130–145 17
- [64] Шабат А.Б., Ямилов Р.И., Симметрии нелинейных цепочек, *Алгебра и анализ* **2:2** (1990) 183 4, 42
- [65] Ямилов Р.И., Обратимые замены переменных, порожденные преобразованиями Бэклунда, *ТМФ* **85:3** (1990) 368–375 6, 15, 61